

مقالاتی پژوهشی	
ارایه‌ی یک روش جدید و کارآمد در تشخیص اتوماتیک سلول‌های لوسمی حاد لنفوئیدی (ALL) با استفاده از تلفیق شاخص‌های آشوب‌گونه، هندسی و آماری ۶۴۳	محمد رضا عباسی، سعید کرمائی، اردشیر طالبی
بررسی تأثیر پرهاستیو بلوک دو طرفه عصب اینفرا اریتال با استفاده از اینفیلتراسیون مارکانین و پتیدین یا مارکانین و کتابین بر تسکین درده بعد از عمل جراحی شکاف لب شیرخواران تحت بیهوشی عمومی و مقایسه‌ی آن با گروه شاهد ۶۴۸	حمد حاجی غلام سریزدی، امیر شفا، فرزانه ناخدا
ارزیابی درون تن اینمنی فیوژن پروتئین DT386-BR2 به عنوان یک کاندیدای دارویی ضد سرطان در مدل موشی ۶۵۵	فاطمه شفیعی، راضیه انتشاری، محمد ریانی، علی جهانیان نجف‌آبادی
مقایسه‌ی دو روش جراحی پلاک لاکتیک ولار و پین گذاری از راه پوست بدون استفاده از اکسترنال فیکساتور در درمان شکستگی خارج مفصلی و ناپایدار دیستال رادیوس (UDRF): مطالعه‌ی بالینی تصادفی و کنترل شده یک سوکور ۶۶۲	محمد علی تحریریان، سید حمید مousavi، علی دهقان، سجاد بدیعی، علی عبدالی
شناسایی وضعیت مبنای برای مطالعات سونوگرافیک فاشیای توراکولمبار زنان ۶۷۱	امیرحسین برانی، صدرالدین شجاع الدین، مهدی کرمی، محمدحسین پورغrib شاهی، مینا حقیقی

Original Articles

A Novel and More Efficient Approach for Automatic Diagnosis of Acute Lymphoblastic Leukemic Cells based on Combining Geometrical and Statistical Features of Blood Cells 647	Mohamad Reza Abbasi, Saeed Kermani, Ardesir Talebi
Comparison between the Effect of Bupivacaine-Pethidine and Bupivacaine-Ketamine as Preemptive in Bilateral Infraorbital Nerve Block on Postoperative Pain Relief in Infants Undergoing Clef Lip Repair, a Controlled Study 654	Hamid Hajigholam-Saryazdi, Amir Shafa, Farzaneh Nakhodaie
In-vivo Evaluation of DT386-BR2, A Promising Anticancer Fusion Protein, in Mice Model 661	Fatemeh Shafiee, Razieh Enteshari, Mohammad Rabbani, Ali Jahanian-Najafabadi
Comparison of Locked Volar Plating and Percutaneous Pinning without External Fixation in the Treatment of Unstable Extra-articular Distal Radius Fractures: A Single-Blind Randomized Controlled Trial 670	Mohammad Ali Tahirrian, Seyed Hamid Mousavi, Ali Dehghan, Sajad Badiei, Ali Andalib
Identifying Base Position for Women's Thoracolumbar Fascia Ultrasound 676	Amir Hussein Barati, Sadr Aldin Shoja'Aldin, Mahdi Karami, Mohammad Hussein Pourghrib-Shahi, Mina Haghghi



محله دانشکده پزشکی اصفهان

سال سی و پنجم، شماره (۴۳۳)، هفته اول مردادماه ۱۳۹۶

صاحب امتیاز:

دانشگاه علوم پزشکی و خدمات بهداشتی-درمانی استان اصفهان

مدیر مسؤول: دکتر منصور شعلهور
سردبیر افتخاری: دکتر رویا کلیشادی
سردبیر: دکتر مجید برکتین

معاون سردبیر: دکتر مریم راد احمدی

امور نشر:

(ویراستاری، صفحه‌آرایی، بازبینی، طراحی، چاپ و
پشتیبانی آنلاین)

انتشارات فروزانگان راداندیش

Email: farapublications@gmail.com
http://farapub.com
تلفن: ۰۳۱-۳۲۲۲۴۳۵
دورنگار: ۰۳۱-۳۲۲۲۴۳۸۲
تیراژ: ۵۰۰ نسخه

ناشر:

انتشارات دانشگاه علوم پزشکی اصفهان

نشانی: اصفهان، خیابان هزار جریب، دانشگاه علوم پزشکی اصفهان

Email: publications@mui.ac.ir

دفتر مجله: دانشکده پزشکی
صندوق پستی: ۸۱۷۴۴/۱۷۶

مدیر اجرایی: علی مرادی
تلفن: ۰۳۱-۳۷۹۲۲۲۹۱

Email: jims@med.mui.ac.ir

وب سایت مجله: <http://jims.mui.ac.ir>

این مجله در نمایه‌های بین‌المللی زیر در دسترس قرار دارد.

- Scopus
- Chemical Abstracts
- Islamic World Science Citation Center (ISC)
- Academic Search Complete EBSCO Publishing databases
- WHO/EMRO/Index Medicus
- Google Scholar
- Index Copernicus
- Directory of Open Access Journal (DOAJ)
- Index Academicus
- Scientific Information Database (www.sid.ir)
- www.iranmedex.com

کمی رایت: چاپ مطالب مندرج در این مجله به شرط ذکر منع مجله بلامانع است.

تصاویر رنگی مقالات و کلیپهای ویدئویی بر روی وب سایت مجله قابل دسترسی می‌باشند

اعضای شورای نویسندگان مجله دانشکده پزشکی اصفهان (به ترتیب حروف الفبا)

نام و نام خانوادگی	مرتبه علمی
۱- دکتر محمد رضا اخلاقی	دانشیار، متخصص چشم، فلوشیپ ویتره و رتین، دانشگاه علوم پزشکی اصفهان، اصفهان، ایران
۲- دکتر علی اخوان	استادیار، متخصص رادیوتراپی، دانشگاه علوم پزشکی اصفهان، اصفهان، ایران
۳- دکتر ابراهیم اسفندیاری	استاد، دکترای تخصصی علوم تشریحی، دانشگاه علوم پزشکی اصفهان، اصفهان، ایران
۴- دکتر فرامرز اسماعیل بیگی	استاد، فوق تخصص غدد، دانشکده پزشکی، کالیفرنیا، آمریکا
۵- دکتر احمد اسماعیل زاده	استاد، دکترای تخصصی تغذیه، دانشگاه علوم پزشکی تهران، تهران، ایران
۶- دکتر افسون امامی	دانشیار، فوق تخصص نفرولوژی، دانشگاه علوم پزشکی اصفهان، اصفهان، ایران
۷- دکتر شاهین امامی	گروه بیوشیمی، بیمارستان سن آنتونیو، پاریس، فرانسه
۸- دکتر بابک امرا	استاد، فوق تخصص رید، دانشگاه علوم پزشکی اصفهان، اصفهان، ایران
۹- دکتر رضا امین	استاد، متخصص بیماری‌های کودکان، فوق تخصص بیماری‌های ایمونولوژی و آرژی کودکان، دانشگاه علوم پزشکی شیراز، شیراز، ایران
۱۰- دکتر فربیا ایرجی	استاد، متخصص بیماری‌های پوست، مرکز تحقیقات پوست و لیشمایبیز، کانادا
۱۱- دکتر کن باست	دانشیار، دکترای تخصصی روانشناسی، دانشگاه علوم پزشکی اصفهان، اصفهان، ایران
۱۲- دکتر رضا باقریان سراوردی	استاد، متخصص روانپزشکی، فلوشیپ نوروسایکیاتری، دانشگاه علوم پزشکی اصفهان، اصفهان، ایران
۱۳- دکتر مجید برکتین	دکترای تخصصی زیست شناسی سلولی و ژنتیک، دانشگاه اراسموس، روتردام، هلند
۱۴- دکتر فرزین پور فرزاد	استاد، متخصص قلب و عروق، دانشگاه علوم پزشکی اصفهان، اصفهان، ایران
۱۵- دکتر مسعود پورمقدس	استاد، متخصص مغز و اعصاب، فلوشیپ بیماری‌های حرکتی، دانشگاه علوم پزشکی اصفهان، اصفهان، ایران
۱۶- دکتر احمد چتساز	استاد، متخصص رادیولوژی، فلوشیپ رادیولوژی مغز و اعصاب و کودکان، دانشگاه علوم پزشکی اصفهان، اصفهان، ایران
۱۷- دکتر علی حکمت نیا	دانشیار، دکترای تخصصی ژنتیک و بیولوژی مولکولی، دانشگاه علوم پزشکی اصفهان، اصفهان، ایران
۱۸- دکتر سید مرتضی حیدری	دانشیار، متخصص زنان و زایمان، دانشگاه علوم پزشکی اصفهان، اصفهان، ایران
۱۹- دکتر مجید خیرالله‌ی	دانشیار، دکترای تخصصی فیزیولوژی، دانشگاه علوم پزشکی اصفهان، اصفهان، ایران
۲۰- دکتر بهناز خانی	استاد، متخصص چشم، فلوشیپ ویتره و رتین، دانشگاه علوم پزشکی اصفهان، اصفهان، ایران
۲۱- دکتر مریم راداحمدی	استادیار، دکترای اجتماعی، دانشگاه علوم پزشکی اصفهان، اصفهان، ایران
۲۲- دکتر حسن رزمجو	استاد، متخصص چشم، فلوشیپ ویتره و رتین، دانشگاه علوم پزشکی شهدی بهشتی، تهران، ایران
۲۳- دکتر رضا روزبهانی	دانشیار، دکترای تخصصی فیزیولوژی، دانشگاه علوم پزشکی اصفهان، اصفهان، ایران
۲۴- دکتر مسعود سهیلیان	استاد، متخصص قلب و عروق، دانشگاه علوم پزشکی اصفهان، اصفهان، ایران
۲۵- دکتر محمد رضا شریفی	استادیار، دکترای تخصصی ژنتیک اجتماعی، دانشگاه علوم پزشکی اصفهان، اصفهان، ایران
۲۶- دکتر منصور شعلهور	دانشیار، دکترای تخصصی ژنتیک، دانشگاه علوم پزشکی اصفهان، اصفهان، ایران
۲۷- دکتر رسول صالحی	استاد، متخصص چرامی مغز و اعصاب، دانشگاه علوم پزشکی اصفهان، اصفهان، ایران
۲۸- دکتر مسیح صبوری	دانشیار، متخصص بیوهوشی، دانشگاه علوم پزشکی اصفهان، اصفهان، ایران
۲۹- دکتر محمد رضا صفوفی	استاد، متخصص بیوشمی بالینی، دانشگاه تورنتو، تورنتو، کانادا
۳۰- دکتر خسرو عادلی	دانشیار، متخصص پاتولوژی، دانشگاه لویس ویل، آمریکا
۳۱- دکتر سعید عندیلیب جرتانی	استاد، متخصص پزشکی اجتماعی، دانشگاه علوم پزشکی اصفهان، اصفهان، ایران
۳۲- دکتر زیبا فرجزادگان	استاد، متخصص بیماری‌های کودکان، دانشگاه علوم پزشکی اصفهان، اصفهان، ایران
۳۳- دکتر رویا کلیشادی	دانشیار، متخصص قلب و عروق، دانشگاه علوم پزشکی اصفهان، اصفهان، ایران
۳۴- دکتر جعفر گلشاهی	استاد، متخصص بیماری‌های پوست، مرکز تحقیقات پوست و لیشمایبیز، کانادا
۳۵- دکتر عزیر گهری	دانشیار، آسیب شناسی پزشکی، دانشگاه علوم پزشکی اصفهان، اصفهان، ایران
۳۶- دکتر پروین محزونی	استاد، متخصص آسیب شناسی پزشکی تهران، تهران، ایران
۳۷- دکتر سید مهدی مدرس	استاد، متخصص چشم، دانشگاه علوم پزشکی اصفهان، اصفهان، ایران
۳۸- دکتر محمد مردانی	دانشیار، دکترای تخصصی علوم تشریحی، دانشگاه علوم پزشکی اصفهان، اصفهان، ایران
۳۹- دکتر اتیه مغیثی	استاد، فوق تخصص غدد داخلي، مرکز تحقیقات غدد و متابولیسم، امریکا
۴۰- دکتر مرjan منصوریان	دانشیار، دکترای تخصصی اپدیمیولوژی و آمار زیستی، دانشگاه علوم پزشکی اصفهان، اصفهان، ایران
۴۱- دکتر محمد رضا نوربخش	دانشیار، متخصص فیزیوتراپی، جرجیا، آمریکا
۴۲- دکتر مصطفی هاشمی	دانشیار، متخصص گوش و حلق و بینی، دانشگاه علوم پزشکی تهران، تهران، ایران



راهنمای نگارش و ارسال مقاله علمی - پژوهشی

مجله علمی - پژوهشی دانشکده پزشکی اصفهان، در Scopus نمایه شده و به صورت هفت‌نامه، تحت حمایت دانشگاه علوم پزشکی اصفهان منتشر می‌گردد. این مجله اقدام به انتشار مقالات علمی در زمینه پژوهش‌های علوم پزشکی (پایه و بالینی) و رشته‌های وابسته به آن می‌نماید. مقالاتی در این مجله پذیرفته می‌شوند که علمی - پژوهشی بوده و پیش از این در جای دیگری منتشر نشده و یا حتی به طور هم‌مان به مجلات دیگر ارسال نگردیده باشند. این مجله مقالات به زبان فارسی شامل انواع پژوهشی اصیل، مروری، گزارش موردي، مقالات کوتاه، مقالات دارای امتیاز بازآموزی و نامه به سردبیر را منتشر می‌نماید و بر روی وب سایت مجله به آدرس <http://jims.mui.ac.ir> قرار می‌دهد. مقالات ارسالی باید در فرم پیشنهادی مجله ارسال گردند و به دست نوشه‌هایی که در خارج از فرم ذکر شده در راهنمای نویسنده‌گان ارسال گردند ترتیب اثر داده نخواهد شد.

هیأت تحریریه پس از دریافت مقالات اقدام به بررسی مقاله از لحاظ ساختاری و موضوعی می‌نماید و چنانچه مقاله در بررسی اولیه مورد تأیید باشد، برای داوری ارسال می‌شود. زمان فرایند داوری (از دریافت تا پذیرش نهایی آن) ۳ ماه و در صورت تقاضا جهت بررسی سریع تر با شرایط ذکر شده در راهنمای نویسنده‌گان ۲۰-۲۵ روز می‌باشد. لازم به ذکر است داوری و انتشار مقاله در این هفته نامه مستلزم پرداخت هزینه است. لذا پس از انجام مراحل داوری و پذیرش مقاله و قبل از صدور نامه پذیرش، لازم است نویسنده‌گان محترم فرایند مالی را تکمیل نمایند.

نحوه ارسال دست نوشه‌ها در سامانه

نویسنده‌گان محترم پس از آماده سازی دست نوشه مطابق راهنمای نویسنده‌گان، از طریق ثبت نام (Registration) در سامانه الکترونیک مجله دانشکده پزشکی نویسنده‌گان می‌توانند وارد صفحه شخصی خود شده و تمامی بخش‌ها را تکمیل و دست نوشه را ارسال نمایند.

توجه به نکات زیر در ارسال مقاله ضروری است:

- ارسال مقاله منحصر از طریق ثبت نام در سامانه الکترونیک مجله دانشکده پزشکی انجام می‌شود. لازم است فقط نویسنده مسؤول اقدام به سائبیت مقاله نماید و مقالاتی که توسط سایر نویسنده‌گان یا اشخاص دیگر سائبیت شوند مورد بررسی قرار نخواهد گرفت.

- نویسنده‌ای که برای بار دوم اقدام به ارسال مقاله اصلاح شده خود می‌نماید، حتماً باید از طریق صفحه شخصی قبلی خود اقدام نموده و به هیچ عنوان دوباره به عنوان کاربر جدید و با ایمیل جدید در سامانه ثبت نام نکند.

- وارد کردن اسمی تمامی نویسنده‌گان در سامانه و در محل مربوط به وارد کردن اسمی نویسنده‌گان مقاله، الزامي است.

- پس از ارسال مقاله، تغییر اسمی نویسنده‌گان امکان‌پذیر نمی‌باشد.

- فایل‌هایی که نویسنده در مرحله اولیه ارسال می‌کند شامل: (۱) فایل Word صفحه عنوان (۲) فایل Word دست نوشه، (۳) فرم تعهدنامه، (۴) فرم مشخصات کامل نویسنده‌گان (Cover letter) است که به ترتیب بایستی آپلود گردند.

- نویسنده‌گان در قسمت ارسال فایل‌ها، با ارسال یک فایل تعهد نامه که به امضای همه نویسنده‌گان رسیده است، حق انتشار مقاله را به مجله دانشکده پزشکی اصفهان واگذار می‌نمایند. در غیر این صورت مقاله در روند داوری قرار نخواهد گرفت.

- مقالات ارسالی باید دارای فایل مجزا (Cover letter) شامل یک نامه خطاب به سردبیر حاوی عنوان مقاله، اسم، آدرس و ایمیل نویسنده مسؤول، اسمی و ایمیل سایر نویسنده‌گان باشد. در این نامه بایستی به صراحة اعلام گردد که دست نوشه در مجلات دیگر چاپ نشده است یا هم‌مان در حال بررسی نمی‌باشد.

- در مرحله دوم بعد از این که دست نوشه از نظر هماستایی و فرمت مجله مورد ارزیابی اولیه قرار گرفت و تائیدیه دفتر مجله درخصوص قابل ارجاع بودن آن دست نوشه برای شروع فرایند داوری ارسال گردید، ضروری است ۵۰ درصد کل هزینه به منظور شروع فرآیند داوری به عنوان (Processing fee) بر اساس موارد ذکر شده در بخش هزینه انتشار راهنمای نویسنده‌گان پرداخت گردد. این هزینه غیر قابل برگشت می‌باشد. سپس فایل مربوط به تصویر اسکن شده فیش پرداختی فقط با نام نویسنده مسؤول از طریق سایت به دفتر مجله ارسال گردد. لازم به ذکر است تنظیم دست نوشه بر اساس فرمت مجله، و پرداخت وجه اولیه فقط جهت ارسال به داوران بوده و دال بر پذیرش آن نمی‌باشد.

نحوه ارایه مقاله

- از مؤلفان گرامی تقاضا می شود، در ارسال مقالات به نکات زیر توجه فرمایند:
- ارسال مقاله فقط از طریق سایت پذیرفته می شود.
 - زبان رسمی مجله، فارسی است و مقالات فقط به زبان فارسی همراه با چکیده انگلیسی قابل پذیرش هستند.
 - دست نوشته های به زبان های غیر از فارسی و ترجمه شده در این مجله منتشر نمی شود.
 - مقالات باید پژوهشی و حاصل تحقیق نویسنده یا نویسنده گران در زمینه علوم پزشکی (پایه و بالینی) و رشته های مرتبط بوده که پیش از این به انگلیسی یا فارسی در سایر مجلات منتشر نشده باشد و یا به طور همزمان به مجلات دیگر نیز ارسال نگردیده باشد.
 - این مجله مقالات شامل انواع اصلی و پژوهشی، مروری، مقالات دارای امتیاز بازآموزی و نامه به سردبیر را در منتشر می نماید.
 - فیلم های آموزشی تهیه شده توسط محققین نیز توسط این مجله انتشار می یابد.
 - مقالات قابل انتشار در مجله علمی - پژوهشی داشکده پزشکی اصفهان شامل موارد زیر می باشند.
 - الف- مقالات علمی- پژوهشی با حداکثر حجم ۲۵۰۰ کلمه؛ سقف مجموع جداول و تصاویر ۴، سقف منابع و مأخذ ۳۰ عدد می باشد.
 - ب- مقالات کوتاه پژوهشی: مقالات علمی کوتاه پژوهشی با حداکثر ۱۰۰۰ کلمه؛ سقف مجموع جداول و تصاویر ۲، سقف منابع و مأخذ ۱۵ عدد می باشد.
 - ج- مقالات مروری - مقالات مروری (Review Article) از نویسنده گران مجرب و صاحب مقالات پژوهشی در زمینه مورد بحث پذیرفته خواهد شد. اصول کلی نگارش مشابه سایر مقاله های پژوهشی است. این نوع مقالات با حداکثر ۷۰۰۰ کلمه می باشند. در فهرست منابع حداقل ۶ مرجع مورد استفاده می باشند متعلق به نویسنده باشد (با حداقل چهار مقاله از شش مقاله به عنوان نویسنده اول و یا نویسنده مسؤول). برای ارسال مقالات مروری ضروری است که حتما از قبل با سردبیر مجله هماهنگی لازم صورت گرفته و سپس اقدام به ارسال دست نوشته نمایند در غیر اینصورت مجله از بررسی آن معذور است.
 - د- نامه به سردبیر - نامه به سردبیر می تواند به صورت ارایه مشاهدات علمی یا نقد یکی از مقالات چاپ شده در این مجله باشد و با بحثی کوتاه، همراه با درج فهرست منابع نگاشته شود. نامه به سردبیر با حداکثر ۱۰۰۰ کلمه؛ سقف مجموع جداول و تصاویر ۲، سقف منابع و مأخذ ۵ عدد می باشد. نقد مقاله برای نویسنده مسئول مقاله مورد نقده ارسال خواهد شد و همراه با پاسخ وی، در صورت تصویب شورای نویسنده گران به چاپ خواهد رسید.
 - ه- تحقیقات کیفی- تحقیقات کیفی با حداکثر ۳۰۰۰ کلمه؛ سقف مجموع جداول و تصاویر ۴، سقف منابع و مأخذ ۳۰ عدد می باشد.
 - ز- گزارش مورد- گزارش های موردي شامل گزارش موارد نادر یا جالب است و باید شامل چکیده، مقدمه، گزارش مورد، بحث، نتیجه گیری، سپاس گزاری و منابع باشد. گزارش مورد با حداکثر ۱۰۰۰ کلمه؛ سقف مجموع جداول و تصاویر ۵، سقف منابع و مأخذ ۱۵ عدد می باشد.
 - تبصره ۱- مقالات ترجمه پذیرفته نمی شود.
 - تبصره ۲- ارسال دست نوشته یا مدارک با فرمت PDF به هیچ عنوان پذیرفته نیست.
 - تبصره ۳- مقاله های کارآزمایی بالینی پیش از ارسال برای انتشار، بایستی در یکی از مراکز ثبت کارآزمایی های بالینی مانند مرکز ثبت کارآزمایی بالینی ایران IRCT به آدرس زیر ثبت شده و کد ثبت آنها به همراه مقاله ارسال شود: <http://www.irct.ir>
 - مقالات ارسالی باید دارای بخش های ذیل باشند و به دست نوشته هایی که خارج از فرمت ذکر شده ارسال گردد ترتیب اثر داده نخواهد شد.
 - دست نوشته باید توسط نرم افزار Word MS در سایز A4 و فاقد هرگونه صفحه آرایی، فاصله خطوط ۱ برابر (Single) با حاشیه های ۲/۵ سانتی متری، به صورت یک ستونی، قلم Zar B و سایز ۱۱، قلم عنوان Zar B سایز ۱۱ Bold تهیه شوند. برای تایپ متن خلاصه انگلیسی و رفرانس ها از قلم Time New Roman سایز ۱۰ و جهت قلم عنوان لاتین نیز از قلم Time New Roman Bold سایز ۱۰ استفاده شود.
 - معادلات باید به صورت خوانا با حروف و علائم مناسب با استفاده از Microsoft Word Equation تهیه شوند. واحد ها بر حسب واحد بین المللی (SI) و معادلات به ترتیب شماره گذاری شوند.
 - دست نوشته باید شامل دو فایل: (۱) فایل Word صفحه عنوان (۲) فایل Word دست نوشته (به ترتیب دارای چکیده، مقدمه، روش ها، یافته ها، بحث، تقدیر و تشرک و منابع) باشد. تأکید می گردد از ارسال فایل های متعدد حاوی جداول، تصاویر و غیره خودداری شود.
 - صفحه عنوان: این صفحه باید شامل عنوان کامل، عنوان مکرری، اسمی نویسنده یا نویسنده گران با بالاترین مدرک تحصیلی، گروه یا بخش یا مؤسسه محل فعالیت ایشان و همچنین آدرس، تلفن، فاکس و پست الکترونیکی نویسنده مسئول و تقدیر و تشکر (شامل تشرک از افراد، شماره طرح پژوهشی و یا پیان نامه، ذکر منابع مالی و اعتباری طرح پژوهشی) باشد. ضروری است که علاوه بر ذکر تقدیر و تشکر در صفحه عنوان، در پایان دست نوشته نیز بخش تقدیر و تشکر مجدد تکرار گردد.
 - ذکر اسامی نویسنده یا نویسنده گران با بالاترین مدرک تحصیلی، گروه یا بخش یا مؤسسه محل فعالیت ایشان به انگلیسی نیز در صفحه عنوان الزامی است.
 - تبصره ۱- عنوان مقاله معرف محتوای مقاله باشد و از ۲۰ واژه تجاوز نکند.
 - تبصره ۲- با توجه به سیستم الکترونیک مجله، مقاله مستقیما برای داور ارسال می گردد، لذا توجه شود که در فایل ورد پس از صفحه عنوان، مقاله فاقد اسامی نویسنده گان باشد. در غیر این صورت تا اصلاح شدن فایل، ارسال مقاله برای داور متوقف می شود.
 - چکیده: تمام مقالات اصلی باید دارای چکیده مقاله به دو زبان فارسی و انگلیسی با حداکثر ۲۵۰ کلمه باشد. چکیده باید شامل بخش های مقدمه، روش ها، یافته ها، بحث و واژگان کلیدی باشد. در پایان چکیده مقاله سه الی پنج کلمه کلیدی قرار می گیرد که بایستی تنها با استفاده از راهنمای MeSH از آدرس (<http://nlm.nih.gov/mesh/MBrowser.html>) استخراج گردد. چکیده انگلیسی بایستی دقیقاً معادل چکیده فارسی باشد و شامل بخش های Keywords, Conclusion, Findings, Methods, Background باشد.

- مقدمه و معرفی: در این بخش اهداف و علل انجام مطالعه آورده می‌شود؛ بنابراین نیازی به ارائه گستردگی مطالب موجود در متون علمی نیست. در این بخش باید از ارائه اطلاعات، یافته‌های و نتایج مطالعه خودداری گردد.

- روش‌ها: این بخش شامل ارائه دقیق مشاهدات، مداخلات و روش‌های مورد استفاده در مطالعه است. اگر روش مورد استفاده شناخته شده است فقط منبع آن ذکر گردد اما اگر روشی نوین است، باید به صورتی توضیح داده شود که برای سایر محققان قابل درک و به طور عینی قابل انجام و تکرار باشد. در صورت استفاده از دستگاه و تجهیزات خاص باید نام، نام کارخانه سازنده و آدرس آن در پرانتز ذکر گردد. اگر از دارو در مطالعه استفاده شده است باید نام ژنریک، دوز و روش مصرف آن آورده شود. در مورد افراد و بیماران تحت مطالعه باید جنس و سن (همراه انحراف معیار) آورده شود. در مورد نرم‌افزارها و سیستم‌های کامپیوترا باید سال و ویرایش آن در پرانتز و پس از نام آن ذکر گردد.

در صورتی که مطالعه دارای پرسشنامه یا چک لیست است، ضمیمه کردن آن لازم است؛ شیوه تأمین روایی مشخص شود و توصیف دقیق فرآیند اجرایی برای رواسازی آن توضیح داده شود. چگونگی تعیین روش‌های مورد استفاده برای تأمین پایابی پرسشنامه و گزارش نتایج آزمون‌های آماری به کار گرفته شده جهت تأمین پایابی توضیح داده شود. در مورد پرسشنامه‌های استاندارد ذکر نام و مرجع آن کافی است.

- یافته‌ها: این بخش به صورت متن همراه با جدول‌ها، شکل‌ها و نمودارها ارائه می‌گردد. در این بخش فقط یافته‌ها ارائه می‌شود و باید از ذکر دلایل و استدلال‌های مرتبط با آن خودداری گردد. محتوای جداول باید به صورت کامل در متن ارائه شوند، بلکه کافی است با ذکر شماره جدول، شکل و یا نمودار به آنها در میان متن اشاره شود. جدول‌ها، نمودارها و شکل‌ها هر کدام باید در یک صفحه جداگانه و پس از منابع، در پایان دست‌نوشته به ترتیب آورده شوند. همچنین باید جداول و نمودارها در فایل اصلی دست نوشته، علاوه بر ارجاع در متن، محل قرارگیری آن‌ها نیز جانمایی شده باشند.

- بحث: در این بخش در ابتدا به یافته‌های مهم اساسی مطالعه و سپس تشابه و تفاوت‌های آن با یافته‌های سایر پژوهشگران در مطالعات مشابه اشاره می‌گردد. ذکر جزئیات کامل یافته‌ها در این بخش لازم نیست. تأکید بر یافته‌های جدید و با اهمیت مطالعه حاضر و دستاوردهای آن در این قسمت ضروری است. ذکر این که فرضیه ارائه شده در مطالعه صحیح یا نادرست بوده، یا این که دلایل کافی برای رد یا قبول آن به دست نیامده است، ضروری می‌باشد. هدف این بخش، ذکر دلیل اصلی انجام تحقیق، تحلیل و تفسیر یافته‌ها و همچنین نتیجه‌گیری کلی (Conclusion) است.

- جدول‌ها: جداول بدون حاشیه خارجی ارسال گردد. تعداد محدود جدول با توجه به حجم مطالعه و مقاوله، همراه با ذکر عنوان آن در بالای جدول مورد قبول خواهد بود. ارسال جداول فقط تحت نرم‌افزار MSWord مورد قبول است. توضیحات اضافی در خصوص محتوای جداول باید به صورت پی‌نوشته و در پایین جدول باشد. جدول‌ها باید در صفحات جداگانه و در پایان دست نوشته (پس از منابع) قرار داده شوند. جدول‌ها باید دارای زمینه سفید و بدون سایه و تراو باشد. جداول باید توسط نرم‌افزار MS Word و قادر هرگونه صفحه آرایی، فاصله خطوط ۱ برابر (Single)، قلم Zar B و سایز ۱۰ و قلم متغیرهای هر سنتون Bold و سایز ۱۰ تهیه شوند. برای تایپ کلمات لاتین در جدول از قلم Time New Roman سایز ۹ استفاده شود.

- تصویر و نمودار: تصویر یا نمودار همراه ذکر عنوان آن در زیر و با فرمت JPEG قابل قبول است. لازم است هر تصویر با کیفیت ۲۰۰ نقطه در اینچ و محدودیت حجم حدکثر ۵۰۰ کیلو بایت در نظر گرفته شود.

- تبصره ۱- اگر شکل یا جدولی از مرجع دیگری اخذ شده است، شماره مرجع در آخر عنوان جدول یا شکل نوشته شود و مشخصات مأخذ در بخش مراجع درج شود. - تقدیر و تشکر: در این بخش تمام افرادی که به نحوی در انجام مطالعه نقش داشته ولي جزء نویسنده‌گان نبوده‌اند مورد تقدیر قرار گیرند؛ از جمله کسانی که کمک‌های فنی، نوشتاری و مالی داده و همچنین سرپرستان و مدیران بخش‌های محل انجام مطالعه که در امر پژوهشیانی‌های عمومی در اجرای تحقیق فعالیت داشته‌اند. همچنین ذکر نام سازمان‌های حمایت‌کننده یا تأمین‌کننده مالی پژوهش در این بخش ضروری است.

- در صورتی که دست نوشته حاصل از پایان‌نامه دانشجویی باشد حتماً بایستی در قسمت تقدیر و تشکر شماره پایان‌نامه مصوب دانشگاه و نیز نام دانشگاه ذکر گردد.

- تبصره ۱- ضروری است که علاوه بر ذکر تقدیر و تشکر در صفحه عنوان، در پایان دست نوشته نیز بخش تقدیر و تشکر مجدد تکرار گردد.

- منابع: نویسنده باید از صحت اشاره منابع ذکر شده به مطالب مورد استناد مطمئن باشد. ساختار منابع در این مجله بر اساس معاهده ونکوور (Vancouver) می‌باشد. تمامی منابع باید به زبان انگلیسی باشد، ترجمه متن منابع فارسی به عهده نویسنده است و در پایان آن عبارت [In Persian] خواهد آمد. موارد ذیل برای نمونه ذکر می‌گردد:

- اگر منبع مورد نظر مقاله است:

نام خانوادگی (فاسله) حرف اول نام کوچک نویسنده (.) عنوان مقاله (.) مخفف نام مجله (بر اساس Medline) سال انتشار (.) شماره‌ی انتشار (شماره‌ی مجله) (:) شماره‌ی صفحات. مثال:

نمونه انگلیسی:

Inser N. Treatment of calcific aortic stenosis. Am J Cordial 1987; 59(6): 314-7

نمونه فارسی:

Zini F, Basiri Jahromi Sh. Study of fungal infections in patients with leukemia. Iran J Public Health 1994; 23(1-4): 89-103. [In Persian].

(نام نویسنده‌گان با علامت کاما از هم جدا شود. ذکر اسمی نویسنده‌گان تا نفر ششم الزامی است. اگر تعداد نویسنده‌گان بیش از شش نفر باشد، پس از نام نفر ششم، از عبارت "et al." استفاده شود.)

- اگر منبع مورد نظر کتاب است:

نام خانوادگی (فاسله) حرف اول نام کوچک نویسنده (.) عنوان کتاب (.) نوبت چاپ (.) محل نشر (:) ناشر (:) سال انتشار (.) شماره صفحات (.) مثال:

نمونه انگلیسی:

Romenes GJ. Cunningham's manual. 15th ed. New York, NY: Oxford Univ Press; 1987.

نمونه فارسی:

Azizi F, Janghorbani M, Hatami H. Epidemiology and control of common disorders in Iran. 2nd ed. Tehran, Iran: Eshtiagh Publication; 2000. p. 558. [In Persian].

- اگر منبع مورد نظر فصلی از کتاب است:

نام خانوادگی (فاسله) حرف اول نام کوچک نویسنده آن فصل. عنوان فصل مورد نظر. در: نام خانوادگی (فاسله) حرف اول نام کوچک تدوین کننده‌ی کتاب. عنوان کتاب. نوبت چاپ. محل نشر: نام ناشر؛ سال انتشار. پ. صفحات. مثال:

Bodly L, Bailey Jr. Urinary tract infection. In: Tailor R, editor .Family medicine. 6th ed. New York, NY: Springer; 2003. p. 807-13.

- منابع به صورت پایاننامه

نام خانوادگی نویسنده (فاسله) حرف اول نام کوچک نویسنده (.) عنوان پایاننامه (فاسله) [مقطع پایاننامه] (.) نام شهر، کشور (:) نام دانشگاه (:) سال انتشار

- منابع به صورت الکترونیکی- مجله الکترونیکی روی اینترنت

نام خانوادگی (فاسله) حرف اول نام کوچک نویسنده (.) عنوان مقاله (.) نام اختصاری مجله الکترونیکی (فاسله) [online] (سال نشر و ماه نشر در صورت لزوم) (:) شماره صفحات یا قابها (.) [روز، ماه و سال دسترسی [cited] (:) آدرس اینترنتی دسترسی مثال: (:) دوره (شماره) (:) آدرس اینترنتی دسترسی

Mosharraf R, Hajian F. Occlusal morphology of the mandibular first and second premolars in Iranian adolescents. Inter J Dental Anthropol [Online] 2004; 5: [3 Screens] [cited 2006 Nov 13]; Available from: <http://www.jida.syllabapress.com/abstractsijda5.shtml>

منابع به صورت صفحه وب

نام خانوادگی (فاسله) حرف اول نام کوچک نویسنده [یا شرح پدیدآور] (.) عنوان (.) سال نشر در صورت دسترسی (:) [شماره صفحات یا قابها] [روز، ماه و سال دسترسی [cited] (:) آدرس اینترنتی دسترسی مثال:

Dentsply Co. BioPure (MTAD) Cleanser. [2 screens] [cited 2006 Nov 26]. Available from: www.store.tulsadental.com/catalog/biopure.html

- نمونه خوانی (**Proofreading**): یک نسخه از مقاله پیش از چاپ جهت انجام اصلاحات ضروری و بر طرف کردن اشکالات احتمالی برای نویسنده مسؤول ارسال می‌گردد که لازم است در کوتاه‌ترین زمان تغییرات مورد نظر مجله انجام داده، از طریق وب‌سایت مجله ارسال نماید.
- اختصارات و نشانه‌ها: تنها از اختصارات و نشانه‌های استاندارد استفاده شود و از ذکر عبارت‌های مخفف در عنوان و خلاصه مقاله خودداری گردد.
- توضیح کامل در مورد هر کدام از عبارت‌های اختصاری برای اولین بار در متن آورده شود، مگر این که مربوط به مقیاس‌ها و مقادیر استاندارد شناخته شده باشد.
- پس از انتشار، نسخه‌ای برای نویسنده مسؤول ارسال نخواهد شد و شماره‌های مجله از طریق سایت برای نویسنده‌گان و خوانندگان قابل دسترسی می‌باشد.

- ملاحظات اخلاقی: این ملاحظات باید در بخش روش‌ها اشاره گردد. اخذ رضایت‌نامه از کلیه افراد بالغ شرکت کننده در مطالعه ضروری است و در مورد کودکان و افراد تحت تکفل باید از ولی قانونی آنها اخذ شود. ذکر منع تأیید کننده ملاحظات اخلاقی مطالعه لازم است. هنگام استفاده از حیوانات آزمایشگاهی ذکر رعایت و مقررات استاندارد م بوت لازم است.

- تداخل منافع (Conflict of Interest): نویسنده یا نویسنده‌گان باید هر گونه ارتباط مالی مانند دریافت هزینه، حق‌الزحمه، مواد و تجهیزات از دانشگاه‌ها، سازمان‌ها، نهادها، شرکت‌ها و سایر منابع که انتشار یافته‌های مطالعه می‌تواند به آنها سود یا زیان برساند را اعلام نمایند.

هزینه انتشار:

محاسبه هزینه‌های دریافتی، براساس جدول زیر می‌باشد:

نوع مقاله	تعداد کلمات مجاز	هزینه دریافتی شامل کلیه بخش‌های مقاله، رفرنس‌ها، شکل‌ها و نمودارها (هر شکل برابر ۳۰۰ کلمه محاسبه می‌شود)	هزینه دریافتی *	هزینه دریافتی به ازای شامل کلیه بخش‌های مقاله، رفرنس‌ها، شکل‌ها و نمودارها (هر شکل برابر ۳۰۰ کلمه محاسبه می‌شود)
نامه به سردبیر	۴۰۰	-	-	هزینه دریافتی به ازای شامل کلیه بخش‌های مقاله، رفرنس‌ها، شکل‌ها و نمودارها (هر شکل برابر ۳۰۰ کلمه محاسبه می‌شود)
گزارش مورد	۱۰۰۰	۱۰۰	۱۰۰	هزینه دریافتی به ازای شامل کلیه بخش‌های مقاله، رفرنس‌ها، شکل‌ها و نمودارها (هر شکل برابر ۳۰۰ کلمه محاسبه می‌شود)
کوتاه	۱۰۰۰	۱۰۰	۱۰۰	هزینه دریافتی به ازای شامل کلیه بخش‌های مقاله، رفرنس‌ها، شکل‌ها و نمودارها (هر شکل برابر ۳۰۰ کلمه محاسبه می‌شود)
پژوهشی اصیل	۲۵۰۰	۲۰۰	۱۰۰	هزینه دریافتی به ازای شامل کلیه بخش‌های مقاله، رفرنس‌ها، شکل‌ها و نمودارها (هر شکل برابر ۳۰۰ کلمه محاسبه می‌شود)
پژوهشی اصیل (مطالعات کیفی)	۳۰۰۰	۲۰۰	۱۰۰	هزینه دریافتی به ازای شامل کلیه بخش‌های مقاله، رفرنس‌ها، شکل‌ها و نمودارها (هر شکل برابر ۳۰۰ کلمه محاسبه می‌شود)
مروری	۷۰۰۰	۲۰۰	۱۰۰	هزینه دریافتی به ازای شامل کلیه بخش‌های مقاله، رفرنس‌ها، شکل‌ها و نمودارها (هر شکل برابر ۳۰۰ کلمه محاسبه می‌شود)

نکته: هر تصویر و نمودار معادل ۳۰۰ کلمه محاسبه می‌گردد.

* هزینه‌های ستون سوم صرفاً برای مقالاتی که هم نویسنده اول و هم نویسنده مسؤول هر دو وابسته به دانشگاه علوم پزشکی اصفهان (UUMS) باشند، مشمول ۵٪ تخفیف خواهد بود.

- ۵۰ درصد کل هزینه در ابتدا و بعد از دریافت ایمیل شروع فرآیند به عنوان (Processing fee) به منظور شروع داوری دریافت می‌گردد. این هزینه غیر قابل بازگشت خواهد بود. فایل مربوط به تصویر اسکن شده فیش پرداختی فقط با نام نویسنده مسؤول از طریق سایت به دفتر مجله ارسال گردد. لازم به ذکر است تنظیم دست نوشته بر اساس فرمات مجله و پرداخت وجه فقط جهت فرآیند داوری می‌باشد و تمهیدی برای پذیرش مقاله ایجاد ننماید. ۵۰ درصد هزینه باقیمانده در صورت پذیرش نهایی مقاله به عنوان Acceptance fee دریافت خواهد شد.

نکته: درج نام نویسنده مسؤول، شماره مقاله و عنوان هزینه برای اخته و هزینه فرایند داوری با هزینه پذیرش، نهایه) در اسکر، فیشر، پرداخته، الگام، است.

- در صورت تقاضای "بررسی سریع" (Fast track) زمان بررسی مقاله تا تصمیم گیری نهایی به ۲۵-۲۰ روز تقلیل خواهد یافت. در این حالت کل هزینه به اضافه ۴۰ درصد هزینه "بررسی سریع" در اندیاف فرآیند دوری اخذ خواهد شد.

حق نسخه برداری (Copyright): تمامی محتویات مجله دانشکده پزشکی اصفهان تحت قانون حق نسخه برداری بین المللی قرار دارد. این مجله برای استفاده غیر تجاری در اختیار افراد قرار می‌گیرد. اصلاح، انتشار، انتقال و نمایش هر گونه محتویات مجله بدون ذکر نام این مجله ممنوع است.

- فرآیند مرور دقیق (Peer Review): تمام دستنوشته‌ها توسط داوران منتخب شورای نویسنده‌گان مجله مورد بررسی دقیق قرار می‌گیرد. نویسنده‌ی مسؤول در کوتاه‌ترین زمان در جریان تصمیم سردبیر در مورد رد، قبول یا اصلاحات مورد نظر داوران و هیأت تحریره‌ی قرار خواهد گرفت. در صورت پذیرش مقاله برای حاصل نامه بذریغه، به همراه اینما، برای نویسنده، مسؤول ارسال می‌شود و مقاله در نوبت حاصل قرار خواهد گرفت.

- مسؤولیت صحت یا سقم مطالب ارایه شده در مقاله بر عهده‌ی نویسنده یا نویسنده‌گان است.

فهرست مطالب

ارایه‌ی یک روش جدید و کارامد در تشخیص اتوماتیک سلول‌های لوسمی حاد لنفوئیدی (ALL) با استفاده از تلفیق شاخص‌های آشوب‌گونه، هندسی و آماری.....	۶۴۳
محمد رضا عباسی، سعید کرمانی، اردشیر طالبی	
بررسی تأثیر پره‌امتیو بلوك دو طرفه‌ی عصب اینفرا اریتال با استفاده از اینفلتراسیون مارکائین و پتیدین یا مارکائین و کتامین بر تسکین درد بعد از عمل جراحی شکاف لب شیرخواران تحت بیهوشی عمومی و مقایسه‌ی آن با گروه شاهد.....	۶۴۸
حمید حاجی غلام سریزدی، امیر شفا، فرزانه ناخداei	
ارزیابی درونتن ایمنی فیوژن پروتئین BR2-DT386 به عنوان یک کاندیدای دارویی ضد سرطان در مدل موشی.....	۶۵۵
فاطمه شفیعی، راضیه انتشاری، محمد ریانی، علی جهانیان نجف‌آبادی	
مقایسه‌ی دو روش جراحی پلاک لاکینگ ولار و پین‌گذاری از راه پوست بدون استفاده از اکسترناł فیکساتور در درمان شکستگی خارج مفصلی و ناپایدار دیستال رادیوس (UDRF): مطالعه‌ی بالینی تصادفی و کنترل شده‌ی یک سوکور.....	۶۶۲
محمد علی تحریریان، سید حمید موسوی، علی دهقان، سجاد بدیعی، علی عنانیب	
شناسایی وضعیت مبنای برای مطالعات سونوگرافیک فاشیای توراکولمبار زنان.....	۶۷۱
امیرحسین براتی، صدرالدین شجاع الدین، مهدی کرمی، محمدحسین پورغrib‌شاهی، مینا حقیقی	

ارایه‌ی یک روش جدید و کارامد در تشخیص اتوماتیک سلول‌های لوسمی حاد لنفوئیدی (ALL) با استفاده از تلفیق شاخص‌های آشوب‌گونه، هندسی و آماری

محمد رضا عباسی^۱, سعید کرمانی^۲, اردشیر طالبی^۳

مقاله پژوهشی

چکیده

مقدمه: لوسمی حاد لنفوئیدی (ALL) یکی از شایع‌ترین انواع سرطان خون در میان کودکان می‌باشد. با توجه به تعداد زیاد آزمایشگاه‌های تشخیص طبی، به نظر می‌رسد در آزمایشگاه‌هایی که فرد خبره‌ای به منظور تشخیص نهایی ALL حضور ندارد، نرمافزار می‌تواند ابزار مناسبی در جهت اهداف کمک تشخیصی باشد. هدف از انجام پژوهش حاضر، استفاده از خصوصیات هندسی و آماری هسته‌ها در ایجاد یک سیستم تشخیص اتوماتیک دقیق بود.

روش‌ها: در این مطالعه با استفاده از الگوریتم تقطیع اتوماتیک، هسته‌ی سلول‌های سرطانی از تصاویر موجود جدا شد. با توجه به این که ویژگی‌های آشوب‌گونه باعث تمایز معنی‌داری در الگوهای رشته‌ای و لبه‌ها می‌گردد، در مرحله‌ی بعد سه دسته ویژگی هندسی، آماری و آشوب‌گونه از سلول‌ها استخراج گردید. به منظور تشخیص و طبقه‌بندی، الگوریتم ماشین بردار پشتیبان (SVMs Support vector machines) برای طبقه‌بندی مورد استفاده قرار گرفت.

یافته‌ها: روش پیشنهادی بر روی ۳۱۲ تصویر میکروسکوپی شامل سلول‌های سالم و سرطانی مورد ارزیابی قرار گرفت. یافته‌ها، صحت بالای ۹۲ درصد و دقت بالای ۹۳ درصد در شش گروه سلول را نشان داد. بررسی سطح زیر منحنی (ROC Receiver operating characteristic) یا (ROC) نشان دهنده‌ی کارایی بالای ۹۱ درصد روش پیشنهادی بود.

نتیجه‌گیری: نتایج نشان دهنده‌ی کارامد بودن ویژگی‌های مذکور در طبقه‌بندی سلول‌های ALL است. از جمله امتیازات استفاده از ویژگی‌های آشوب‌گونه می‌توان به ایجاد تمایز در هسته‌ی سلول‌های سالم و سرطانی (که در اندازه و کروماتین تفاوت دارند) و استفاده از ویژگی‌های شکل ناهمگون سیتوپلاسم سلول‌های سالم اشاره نمود.

وازگان کلیدی: لوسمی حاد لنفوئیدی، آشوب، ماشین بردار پشتیبان، بازناخت الگو

ارجاع: عباسی محمد رضا، کرمانی سعید، طالبی اردشیر. ارایه‌ی یک روش جدید و کارامد در تشخیص اتوماتیک سلول‌های لوسمی حاد لنفوئیدی (ALL) با استفاده از تلفیق شاخص‌های آشوب‌گونه، هندسی و آماری. مجله دانشکده پزشکی اصفهان ۱۳۹۶؛ ۳۵(۴۳۳): ۶۴۳-۶۴۷.

به صورت چشمی توسط پژوهش تشخص داده می‌شود و برخی دیگر نیازمند پردازش‌های دقیق کامپیوتری است (۳). تشخیص افتراقی بین انواع مورفولوژیک ALL شامل L1، L2 و L3 از یک طرف و انواع واکنشی شامل لنفوسیت‌های Atopic، Normal و Reactive از طرف دیگر، توسط پژوهش و از طریق مشاهده‌ی نمونه‌ی لام خون محیطی در زیر میکروسکوپ انجام می‌گیرد. مشکلاتی همچون خستگی پژوهشک و کمبود فرد خبره در آزمایشگاه‌های تشخیص طبی، ایجاد سیستم طبقه‌بندی اتوماتیک قابل اعتماد را ضروری می‌نماید.

مقدمه

لوسمی حاد لنفوئیدی (ALL) یا Acute lymphocytic leukemia نوعی سرطان است که در آن مغز استخوان تعداد بسیار زیادی لنفوسیت (گونه‌ای گلبول سفید خونی) تولید می‌کند (۱). این بیماری شایع‌ترین نوع سرطان در میان اطفال می‌باشد که اگر به سرعت درمان نشود، رو به وخامت می‌گذارد (۲). استخراج ویژگی‌های مناسب از روی تصاویر این سلول‌ها بر روی لام نمونه‌های خون محیطی، نقش مهمی را در تشخیص این گونه بیماری‌ها ایفا می‌کند. برخی ویژگی‌ها

۱- دانشجوی کارشناسی ارشد، کمیته‌ی تحقیقات دانشجویی، گروه بیوالکتریک و مهندسی پژوهشکی، دانشکده‌ی فن‌آوری‌های نوین علوم پژوهشکی، دانشگاه علوم پژوهشکی اصفهان، اصفهان، ایران

۲- دانشیار، گروه بیوالکتریک و مهندسی پژوهشکی، دانشکده‌ی فن‌آوری‌های نوین علوم پژوهشکی، دانشگاه علوم پژوهشکی اصفهان، اصفهان، ایران

۳- دانشیار، گروه پاتولوژی، دانشکده‌ی پژوهشکی، دانشگاه علوم پژوهشکی اصفهان، اصفهان، ایران

نویسنده‌ی مسؤول: سعید کرمانی

Email: kermani@med.mui.ac.ir

از تصاویر استخراج گردید. در روش تقطیع اتوماتیک، پیش پردازش تصویر به منظور افزایش کیفیت ناحیه‌ی مورد نظر در تصویر از اهمیت ویژه‌ای برخوردار است. بنابراین، تصویر اخذ شده از فضای رنگ RGB (Red Green Blue) به فضای رنگ HIS (Hue Saturation Intensity) تبدیل و سپس بر روی باند شدت I یکنواخت‌سازی هیستوگرام انجام می‌شود (۴). در مرحله‌ی بعد، به تقطیع هسته‌ی سلول‌ها از تصاویر اصلی به وسیله‌ی الگوریتم K-Means مطابق روش پیشنهاد شده‌ی قبلی پرداخته شد (۴). به منظور استخراج سه دسته ویژگی هندسی، آماری و آشوب‌گونه از هسته‌های تقطیع شده‌ی مذکور، مطابق زیر عمل گردید.

ویژگی‌های هندسی: این ویژگی‌ها جزء ساده‌ترین انواع ویژگی منطبق با نظر هماتولوژیست‌ها می‌باشند و شامل مساحت، محیط، خروج از مرکز، استحکام و گستردگی است (۵).

ویژگی‌های آماری: این ویژگی‌ها اطلاعاتی را درباره‌ی نحوه توزیع شدت روشنایی در تصویر مورد مطالعه ارایه می‌دهد و شامل انرژی، آنتروپی، میانگین، انحراف معیار، کشیدگی و چولگی می‌باشد که در فضاهای رنگی Lab و HSV و RGB در روی هر سه باند رنگی در این فضاهای محاسبه می‌شوند و در مجموع ۵۴ ویژگی آماری حاصل می‌گردد (۵).

ویژگی‌های آشوب‌گونه: به منظور بررسی ناهمواری‌های موجود در بافت تصویر و همچنین، بررسی اشکالی که هندسه‌ی منظمی ندارند، از ویژگی‌های آشوب‌گونه استفاده می‌شود. برای محاسبه‌ی این ویژگی‌ها، ابتدا تصویر از فضای رنگی RGB به باینری و سپس صفحه‌ی تصویر به شبکه‌ای مربعی با طولی که به آن ضریب مقیاس گفته می‌شود، تبدیل می‌گردد. حداقل مقدار ضرایب مقیاس به اندازه‌ی طول یک پیکسل و حداً کثر آن به اندازه‌ی طول تصویر اصلی و مقدار آن توانی از دو است. در هر مرحله، لگاریتم مجموع تعداد مربعاتی که شامل حداقل یک پیکسل تصویر باینری هستند، به دست می‌آید (N) و بر لگاریتم ضریب مقیاس در آن مرحله (r) تقسیم می‌گردد (رابطه‌ی ۱). در نهایت، با رسم نمودار شبیه منحنی این نسبت، میانگین محل خطی شدن آن به عنوان بعد فرکتال در نظر گرفته می‌شود (۱۱).

به منظور بررسی همگن بودن بافت، از شاخصی به نام Lacunarity استفاده می‌شود (۱۲) که برابر نسبت واریانس به میانگین تصویر I، به ابعاد N^*M است (رابطه‌ی ۲). ترکیبات توده‌ای و جهت‌گیری‌های متفاوت در بافت‌های گوناگون ممکن است به بعد فرکتال یکسان منجر شود. بنابراین، تصویر اصلی به وسیله‌ی الگوریتم آستانه‌گذاری Otsu به چهار سطح روشنایی تقسیم می‌شود (۱۳).

مرادی امین و همکاران با استخراج ویژگی‌های هندسی و آماری جهت تشخیص سلول‌های لوسمی و طبقه‌بندي به وسیله‌ی طبقه‌بندي کننده‌ی ماشین بردار پشتیبانی (Support vector machines) یا SVMs، مطالعات متعددی را انجام دادند (۶-۷). قانع و همکاران سلول‌های Chronic myeloid leukemia (CML) را با استفاده از برخی ویژگی‌های هندسی هسته طبقه‌بندي نمودند (۷). سعیدی‌زاده و همکاران به منظور افتراق میان پلاسماسل طبیعی و میلواماسل، از ویژگی‌های آنتروپی و انحراف معیار استخراج شده از هسته و سلول استفاده کردند (۸). در کنار ویژگی‌های هندسی و آماری مذکور، به نظر می‌رسد که استفاده از نظریه‌ی آشوب و محاسبه‌ی شاخص‌های آشوب‌گونه جهت تشخیص سلول‌های لوسمی و طبقه‌بندي آن‌ها نقش مؤثری داشته باشد. مطابق این نظریه، بی‌نظمی‌های موجود در بافت سلول‌های سلطانی و مرز آن‌ها توسط بعد فرکتال بیان می‌شود. Mohapatra و همکاران در مطالعه‌ی خود با استخراج بعد فرکتال در کنار ویژگی‌های بافت و هندسی، موفق به تمایز سلول‌های سالم و سلطانی ALL شدند (۹). در پژوهش دیگری، Al-Kadi به منظور طبقه‌بندي تومور منتشریم نوع ۱، از بعد فرکتال به همراه تبدیل و بولت برای طبقه‌بندي چهار زیرگروه از این بیماری استفاده نمود (۱۰).

در مطالعه‌ی حاضر با ارایه یک روش جدید، شاخص‌های هندسی، آماری و آشوب‌گونه تلفیق گردید تا با اطمینان بیشتر الگوریتمی جهت طبقه‌بندي ALL ایجاد شود. در بخش روش این پژوهش، روش تقطیع سلول با استفاده از الگوریتم‌های K-Means و استخراج ویژگی‌های هندسی، آماری و آشوب‌گونه و Watershed طبقه‌بندي به روش SVMs توضیح داده شد. همچنین، یافته‌ها در قالب دو جدول شامل ارزیابی مقادیر حساسیت، صحت و ویژگی و عملکرد طبقه‌بندي کننده توسط شاخص سطح زیر منحنی نمودار Receiver operating characteristic (ROC) ارایه گردید. در بخش آخر نیز به مقایسه‌ی روش ارایه شده با مطالعات قبلی و جمع‌بندی پرداخته شد.

روش‌ها

در ابتدا از ۲۱ بیمار مبتلا به ALL، ۳۱۲ تصویر میکروسکوپی اخذ شد. این تصاویر شامل ۹۵۸ سلول در شش گروه L۳، L۲، L۱، L۰، Atopic و Reactive Normal بود. لامه‌ای استفاده شده در پژوهش، از نمونه‌های موجود در آزمایشگاه پاتولوژی بیمارستان‌های سیدالشیده (ع) و الزهرا (س) اصفهان تهیه شد. تمام تصاویر مورد استفاده نیز به وسیله‌ی دوربین Nikon 1 V1 و میکروسکوپ نوری Nikon Eclipse 50i با توان شیء ۱۰۰ و بزرگنمایی ۱۰۰۰ گرفته شد. در ادامه، با استفاده از الگوریتم تقطیع اتوماتیک، هسته‌ی سلول‌ها

جدول ۱. نتایج حاصل از تقطیع اتوماتیک هسته‌ی سلول‌ها

L1	دیگر سلول‌ها	L2	دیگر سلول‌ها	L3	دیگر سلول‌ها	Atopic	دیگر سلول‌ها	Normal	دیگر سلول‌ها	Reactive	دیگر سلول‌ها
۹۳/۸۹	۹۲/۹۵	۹۱/۹۰	۹۴/۴۸	۹۷/۶۱	۹۸/۹۲	۹۷/۴۲	۹۸/۶۱	۸۲/۸۰	۹۳/۸۳	۹۲/۴۴	۹۴/۵۷
۹۲/۹۵	۹۳/۸۹	۹۴/۴۸	۹۱/۹۰	۹۸/۹۲	۹۷/۶۱	۹۸/۶۱	۹۷/۴۲	۹۳/۸۳	۸۲/۸۰	۹۴/۵۷	۹۲/۴۴
۹۳/۲۲	۹۳/۲۲	۹۳/۹۰	۹۳/۹۰	۹۸/۷۱	۹۸/۷۱	۹۸/۴۰	۹۸/۴۰	۹۳/۲۵	۹۳/۲۵	۹۴/۳۶	۹۴/۳۶

جدول ۱ نتایج حاصل از طبقه‌بندی هسته‌های تقطیع اتوماتیک را نشان می‌دهد.

ارزیابی و بررسی عملکرد طبقه‌بندی کننده: جهت ارزیابی و بررسی کارایی الگوریتم طبقه‌بندی، از نمودار ROC که نسبت تعداد نمونه‌های تشخیص داده شده صحیح به تعداد نمونه‌های تشخیص داده غیر صحیح را در ازای آستانه‌گذاری‌های مختلف به صورت ROC نمودار نشان می‌دهد، استفاده شد (۱۵). سطح زیر منحنی ROC مطابق جدول ۲ می‌باشد. این جدول، دقت بالای ۹۱ درصد و توانایی الگوریتم در تشخیص موارد صحیح به ناصحیح در هر شش گروه سلول را نشان می‌دهد.

بحث

نتایج ارایه شده در مقایسه با روش مرادی امین و همکاران (۶-۴) بر روی داده‌های مشترک، مقادیر بالاتر پارامتر حساسیت را در شش گروه سلول تقطیع نشان می‌دهد و با توجه به جدول ۲، عملکرد طبقه‌بندی کننده به صورت محسوسی بهبود یافت. علاوه بر این، RGB مطالعه‌ی حاضر به ویژگی‌های تصویر اصلی هسته در فضای محدود شده است؛ در حالی که در پژوهش‌های پیشین از ویژگی‌های تصویر هسته و تصویر بهبود یافته‌ی آن بر روی باند ۷ در فضای رنگی HSV استفاده شد (۶-۴) که اغلب موجب افزایش فضای ویژگی ۱۱۳ ویژگی در مقابل ۷۷ ویژگی در این مطالعه، حجم و زمان محاسبات می‌گردد. Mohapatra و همکاران جهت طبقه‌بندی ۲۷۰ تصویر لنفوسيت، بعد فرکتال را در کنار ویژگی‌های مختلف بافت، هندسی و رنگی از تصاویر استخراج Naive Bayes نمودند. آن‌ها با ترکیب طبقه‌بنده‌هایی مانند Bayes (MLP) Multilayer perceptron، (KNN) K-nearest neighbor و Radial basis function neural network، سعی در بهینه کردن عملکرد طبقه‌بندی داشتند که منجر به پیچیدگی زیاد روش و زمان محاسباتی بالا گردید (۹).

تصویر مرز اطراف سلول به منظور بررسی تغییرات آن به دست می‌آید و به منظور بررسی دقیق‌تر، تصویر اصلی به چهار ناحیه مختصاتی تقسیم می‌گردد و در نهایت، دو شاخص بعد فرکتال و Lacunarity بر روی تصاویر مذکور محاسبه و در مجموع ۱۸ ویژگی حاصل می‌شود.

$$FD = \frac{\log N}{\log r} \quad \text{رابطه‌ی ۱}$$

$$\text{lacunarity} = \frac{1/MN \sum_{m=0}^{M-1} \sum_{n=0}^{N-1} I(m,n)^2}{(1/MN \sum_{k=0}^{M-1} \sum_{l=0}^{N-1} I(k,l))^2} - 1 \quad \text{رابطه‌ی ۲}$$

یافته‌ها

در پژوهش حاضر، از ۳۱۲ تصویر میکروسکوپی مربوط به سلول‌های ALL در شش گروه شامل ۲۷۷ سلول L1، ۲۱۵ سلول L2، ۱۵۱ سلول L3، ۱۷۱ سلول ۵۰ Atopic سلول Normal و ۹۴ سلول Reactive جهت طبقه‌بندی به صورت اتوماتیک استفاده شد. پس از اعمال الگوریتم تقطیع اتوماتیک پیشنهاد شده، هسته‌ی سلول‌ها از تصاویر اصلی جدا گردید. در مرحله‌ی بعد، سه گروه ویژگی هندسی، آماری و آشوب‌گونه از تصاویر سلول‌ها استخراج و سپس به وسیله‌ی الگوریتم SVMs (۱۴) هسته‌ها به صورت دو کلاسی (یک گروه باقیه) طبقه‌بندی شد. ارزیابی این طبقه‌بندی با استفاده از سه شاخص حساسیت، ویژگی و دقت می‌باشد که روابط آن‌ها در ادامه ارایه شده است (روابط ۳-۵).

$$\text{Sensitivity} = \frac{T_p}{T_p + F_N} \quad \text{رابطه‌ی ۳}$$

$$\text{Specificity} = \frac{T_N}{T_N + F_p} \quad \text{رابطه‌ی ۴}$$

$$\text{Accuracy} = \frac{T_p + T_N}{T_p + T_N + F_p + F_N} \quad \text{رابطه‌ی ۵}$$

در این روابط، T_p تعداد سلول‌های صحیح متعلق به گروه هدف، T_N تعداد سلول‌های صحیح متعلق به گروه‌های دیگر، F_p تعداد سلول‌های اشتباه متعلق به گروه هدف و F_N تعداد سلول‌های اشتباه متعلق به گروه‌های دیگر می‌باشد.

جدول ۲. بررسی عملکرد طبقه‌بندی کننده در شش گروه سلول تقطیع شده به وسیله‌ی سطح زیر نمودار

L1	L2	L3	Atopic	Normal	Reactive	سطح زیر نمودار
۰/۹۱۶۸	۰/۹۳۱۶	۰/۹۴۸۱	۰/۹۸۷۹	۰/۹۸۲۸	۰/۹۸۶۶	

نمودار ROC، دقت بالای ۹۱ درصد و توانایی الگوریتم در تشخیص موارد صحیح به ناصحیح در هر شش گروه سلول مشخص گردید. هدف اصلی از انجام پژوهش‌های آینده، اصلاح روش‌های استخراج ویژگی آشوب‌گونه به منظور استخراج ویژگی‌های مؤثرتر و انتخاب ویژگی‌های بهینه به منظور افزایش کارایی طبقه‌بندی کننده است.

تشکر و قدردانی

مطالعه‌ی حاضر برگرفته از طرح تحقیقاتی به شماره‌ی ۳۹۴۱۰۵۰ مصوب دانشگاه علوم پزشکی اصفهان می‌باشد. بدین وسیله از معاونت پژوهش و فن‌آوری دانشگاه علوم پزشکی اصفهان به جهت حمایت از این طرح پژوهشی و کارکنان بخش آزمایشگاه تشخیصی بیمارستان‌های سیدالشهدا(ع) و الزهرای(س) اصفهان جهت همکاری در تهیه‌ی داده‌های مورد نیاز، تشکر و قدردانی به عمل می‌آید.

بر اساس نتایج طبقه‌بندی در جدول ۱، بیشترین میزان حساسیت مربوط به سلول‌های L³ و Atopic و کمترین آن مربوط به سلول‌های Normal بود. هر سه گروه L¹ و L² سلول‌هایی با شکل هندسی کروی داشتند. استفاده از ویژگی بعد فرکتال در کنار اندازه‌ی محیط، توانایی مناسبی در تشخیص این نوع سلول‌ها ایجاد می‌کند. وجود واکوئل در گروه L³ که این گروه سلول را به نسبت دو گروه دیگر متمایزتر می‌کند، با استفاده از الگوریتم به صورت محسوس تری تشخیص داده می‌شود. اندازه‌ی هسته‌ای L² بزرگ‌تر از L¹ است. همچنین، کروماتین هسته‌ی آن‌ها ظریفتر، نوکلئول و سیتوپلاسم در آن‌ها واضح‌تر و هسته ناصاف‌تر می‌باشد. تمام موارد ذکر شده، نشان دهنده‌ی تأثیر استفاده از ویژگی‌های آشوب‌گونه در طبقه‌بندی این سلول‌ها بر اساس نتایج به دست آمده از الگوریتم طبقه‌بندی است. دقت بالای ۹۳ درصد بیانگر کارایی الگوریتم تقطیع و ویژگی‌های استخراج شده می‌باشد. بررسی کارایی الگوریتم طبقه‌بندی به وسیله‌ی

References

1. Bain BJ. A beginner's guide to blood cells. 2nd ed. Hoboken, NJ: Wiley-Blackwell; 2004. p. 64-5.
2. Hall JE. Guyton and Hall textbook of medical physiology. 13th ed. Philadelphia, PA: Saunders; 2015.
3. Haworth C, Heppleston AD, Morris Jones PH, Campbell RH, Evans DI, Palmer MK. Routine bone marrow examination in the management of acute lymphoblastic leukaemia of childhood. J Clin Pathol 1981; 34(5): 483-5.
4. Moradi Amin M, Kermani S, Talebi A, Oghli MG. Recognition of acute lymphoblastic leukemia cells in microscopic images using k-means clustering and support vector machine classifier. J Med Signals Sens 2015; 5(1): 49-58.
5. Moradi Amin M, Memari A, Samadzadehaghdam N, Kermani S, Talebi A. Computer aided detection and classification of acute lymphoblastic leukemia cell subtypes based on microscopic image analysis. Microsc Res Tech 2016; 79(10): 908-16.
6. Moradi Amin M, Samadzadehaghdam N, Kermani S, Talebi A. Enhanced recognition of acute lymphoblastic leukemia cells in microscopic images based on feature reduction using principle component analysis. Frontiers in Biomedical Technologies 2015; 2(3): 128-36.
7. Ghane N, Vard A, Talebi A, Nematollahy P. Classification of effective cells in diagnosis of chronic myeloid leukemia (CML) using semi-automatic image processing of microscopic images. J Isfahan Med Sch 2017; 34(405): 1304-10. [In Persian].
8. Saeedizadeh Z, Mehri DA, Talebi A, Rabbani H, Sarrafzadeh O, Vard A. Automatic recognition of myeloma cells in microscopic images using bottleneck algorithm, modified watershed and SVM classifier. J Microsc 2016; 261(1): 46-56.
9. Mohapatra S, Patra D, Satpathy S. An ensemble classifier system for early diagnosis of acute lymphoblastic leukemia in blood microscopic images. Neural Comput Appl 2014; 24(7): 1887-904.
10. Al-Kadi OS. A fractal dimension based optimal wavelet packet analysis technique for classification of meningioma brain tumours. Proceedings of the 16th IEEE International Conference on Image Processing (ICIP) 2009; 2009 Nov 7-10; Cairo, Egypt. p. 4177-80.
11. Napolitano A, Unganía S, Cannata V. Fractal Dimension estimation methods for biomedical images. INTECH Open Access Publisher; 2012.
12. Al-Kadi OS, Watson D. Texture analysis of aggressive and nonaggressive lung tumor CE CT images. IEEE Trans Biomed Eng 2008; 55(7): 1822-30.
13. Otsu N. A Threshold Selection Method from Gray-Level Histograms. IEEE Transactions on Systems, Man and Cybernetics 1979; 9(1): 62-6.
14. Suykens JAK, Vandewalle J. Least Squares Support Vector Machine Classifiers. Neural Process Lett 1999; 9(3): 293-300.
15. Fawcett T. ROC graphs: Notes and practical considerations for researchers. ReCALL 2004; 31(HPL-2003-4): 1-38.

A Novel and More Efficient Approach for Automatic Diagnosis of Acute Lymphoblastic Leukemic Cells based on Combining Geometrical and Statistical Features of Blood Cells

Mohamad Reza Abbasi¹, Saeed Kermani², Ardesir Talebi³

Original Article

Abstract

Background: Acute lymphoblastic leukemia (ALL) is one of the most common types of leukemia among children. Due to the large number of clinical laboratories, in those with no expert pathologist for diagnosis of leukemia, software can be a useful tool for diagnostic purposes. The aim of this study was to create an automatic detector to help diagnosis process.

Methods: Using automatic segmentation algorithm, the nucleus of blast and lymphocyte cells were separated from existing images. As the chaotic characteristic caused significant difference in edges and string patterns, three geometrical, statistical, and chaotic features were derived from cells. In order to diagnosis and classification, support vector machine algorithm was used and the accuracy of classification was investigated using receiver characteristic operating curves (ROC).

Findings: This study was conducted on 312 microscopic images including blast and lymphocyte cells. There was a specificity of more than 92% and an accuracy of more than 93% in six cell groups. In addition, checking out the area under the ROC curve represented more than 91% efficiency for suggested method.

Conclusion: The findings indicate the effectiveness of these features in classification. Differentiation of blast and lymphocyte cells, that are different only in size of chromatin, and also uneven shape of lymphocyte cytoplasm, are of the advantages of using chaotic features.

Keywords: Acute lymphoblastic leukemia (ALL), Chaos, Support vector machine, Pattern recognition

Citation: Abbasi MR, Kermani S, Talebi A. A Novel and More Efficient Approach for Automatic Diagnosis of Acute Lymphoblastic Leukemic Cells based on Combining Geometrical and Statistical Features of Blood Cells. J Isfahan Med Sch 2017; 35(433): 643-7.

1- MSc Student, Student Research Committee, Department of Bioelectric and Biomedical Engineering, School of Advanced Technologies in Medicine, Isfahan University of Medical Sciences, Isfahan, Iran

2- Associate Professor, Department of Bioelectric and Biomedical Engineering, School of Advanced Technologies in Medicine, Isfahan University of Medical Sciences, Isfahan, Iran

3- Associate Professor, Department of Pathology, School of Medicine, Isfahan University of Medical Sciences, Isfahan, Iran

Corresponding Author: Saeed Kermani, Email: kermani@med.mui.ac.ir

بورسی تأثیر پرهامتیو بلوك دو طرفه عصب اینفرا اریتال با استفاده از اینفیلتراسیون مارکائین و پتیدین یا مارکائین و کتامین بر تسکین درد بعد از عمل جراحی شکاف لب شیرخواران تحت بیهوشی عمومی و مقایسه‌ی آن با گروه شاهد

حمید حاجی غلام سریزدی^۱, امیر شفایی^۲, فرزانه ناخدا^{۳*}

مقاله پژوهشی

چکیده

مقدمه: این مطالعه، با هدف مقایسه‌ی اثر اضافه کردن پتیدین و کتامین به مارکائین در بلوك اینفرا اوریتال بر تسکین درد بعد از عمل جراحی شکاف لب شیرخواران انجام شد.

روشن‌ها: طی یک مطالعه‌ی کارآزمایی بالینی دو سو کور، ۶۰ بیمار کاندیدای عمل جراحی ترمیم شکاف لب به صورت تصادفی در سه گروه دریافت کننده‌ی مارکائین و کتامین، مارکائین و پتیدین و مارکائین به تنها (گروه شاهد) تقسیم شدند و پارامترهای همودینامیک و نمره‌ی درد در سه گروه اندازه‌گیری و مقایسه شد.

یافته‌ها: میانگین نمره‌ی درد و ضربان قلب و میانگین فشار خون شریانی در تمام زمان‌ها در گروه شاهد بیشتر از دو گروه دیگر بود ($P < 0.05$)، اما بین دو گروه مارکائین و کتامین و نیز مارکائین و پتیدین تفاوت معنی‌داری وجود نداشت.

نتیجه‌گیری: بنابر نتایج به دست آمده، استفاده از کتامین یا پتیدین در بلوك عصب اینفرا اوریتال، می‌تواند منجر به کاهش شدت درد بدون افزایش عوارض جانبی شود. از طرفی، بین اضافه کردن کتامین و یا پتیدین به مارکائین در کاهش درد بعد از عمل، تفاوت معنی‌داری وجود نداشت.

وازگان کلیدی: شکاف لب، بیهوشی اطفال، بلوك عصبی

ارجاع: حاجی غلام سریزدی حمید، شفایی امیر، ناخدا^۱ فرزانه، بورسی تأثیر پرهامتیو بلوك دو طرفه عصب اینفرا اریتال با استفاده از اینفیلتراسیون مارکائین و پتیدین یا مارکائین و کتامین بر تسکین درد بعد از عمل جراحی شکاف لب شیرخواران تحت بیهوشی عمومی و مقایسه‌ی آن با گروه شاهد. مجله دانشکده پزشکی اصفهان ۱۳۹۶؛ ۴۳۳(۳۵): ۶۴۸-۶۵۴

مقدمه

شکاف لب و شکاف کام، از شایع‌ترین بیماری‌های ماقزیلو فاشیال در اطفال می‌باشد که نیاز به ترمیم جراحی در اوایل دوران کودکی دارد. عمل جراحی ترمیم شکاف لب، به طور معمول از سه ماهگی تا یک سالگی انجام می‌شود.

از آن جایی که عمل ترمیم شکاف لب با درد محسوسی در گروه سنی اطفال همراه است، بی‌حسی پس از عمل در کودکان امری ضروری در مراقبت‌های پس از عمل است؛ چرا که کاهش مناسب درد نیاز به اکسیژن و همچنین بار قلبی- تنفسی را کم می‌کند و

بهبودی را سرعت می‌بخشد، اما تجویز وریدی مخدراها، پاسخ‌های غیر قابل پیش‌بینی در بی دارد که دلیل آن در اطفال، پاسخ متغیر فارماکوکینتیک و افزایش حساسیت به آن‌ها است. مخدراها، عامل دپرسیون تنفسی شدیدی پس از عوامل ترمیمی شکاف لب بوده‌اند. همین موضوع، باعث کاهش میل به استفاده از دزهای مؤثر آن‌ها، بی‌دردی ناکافی پس از عمل و عوارض مربوط شده است (۱).

بی‌حسی موضعی، نیاز به مواد بیهوشی وریدی و استنشاقی در حین عمل را کاهش می‌دهد، امکان بازگشت سریع به شرایط پیش از عمل را فراهم می‌آورد و با تخفیف درد پس از عمل، میزان

- ۱- دانشیار، گروه بیهوشی و مراقبت‌های ویژه، دانشکده پزشکی، دانشگاه علوم پزشکی اصفهان، اصفهان، ایران
- ۲- استادیار، گروه بیهوشی و مراقبت‌های ویژه، دانشکده پزشکی، دانشگاه علوم پزشکی اصفهان، اصفهان، ایران
- ۳- دانشجوی پزشکی، کمیته‌ی تحقیقات دانشجویی، دانشکده پزشکی، دانشگاه علوم پزشکی اصفهان، اصفهان، ایران

نویسنده‌ی مسؤول: فرزانه ناخدا

Email: affvmm@yahoo.com

خونريزی و طولانی شدن عمل جراحی (> 3 ساعت) بودند.

بيماران ابتدا تحت پيش داروي مشابه با ميدازولام وريسي ۵ ميلي گرم/كيلو گرم قرار گرفتند و سپس به آنake عمل منتقل شدند و با استفاده از تيوبيتال سديم ۵ ميلي گرم/كيلو گرم، فنتانيل ۱-۲ ميكرو گرم/كيلو گرم و آتراکوريوم ۰/۵ ميلي گرم/كيلو گرم تحت بيهوشی عمومی قرار گرفتند. پس از ايتوباسيون، جهت ادامه‌ی N₂O ۰/۲ درصد استفاده در بلوك اينفرا اوريبيتال می‌باشد. برای ۵۰ درصد- ۵۰ درصد استفاده شد. برای بيماران، دستگاه‌های مراقبت و پايش قلبی (ECG) و تنفسی (پالس اكسی متری و كاپنوجرام) تنظیم شد.

در مرحله‌ی بعد، متخصص بيهوشی بلوك دو طرفه‌ی عصب اينفرا اوريبيتال را با ۱ سی سی از محلول مارکائين و کاتامين (۱ سی سی از محلول ۰/۲۵ درصد مارکائين به اضافه‌ی ۱ ميلي گرم/كيلو گرم کاتامين) در گروه مارکائين و کاتامين و ۱ سی سی مارکائين و پتیدين (۱ سی سی از محلول ۰/۲۵ درصد مارکائين به اضافه‌ی ۰/۲۵ ميلي گرم/كيلو گرم پتیدين) در گروه مارکائين و پتیدين و در گروه شاهد، مارکائين به تنهائي (۱ سی سی از محلول ۰/۲۵ درصد مارکائين) انجام دادند. پس از بازگشت بيماران از بيهوشی عمومی، ميزان درد آنها ۰/۵، ۱، ۰/۵، ۱۲، ۶، ۴، ۲ و ۲۴ ساعت پس از عمل با استفاده از معيار Wong-Baker در سه گروه پيش‌گفته به صورت جداگانه اندازه‌گيري شد. در صورت وجود درد در ريکاوری و بخش، از شیاف استامینوف به ميزان ۱۰ ميلي گرم/كيلو گرم استفاده شد. همچنان، پaramترهای همودیناميک شامل فشار خون سیستول، دیاستول و متوسط، تعداد ضربان قلب، همه‌ی داروهای مصرفی و عوارض احتمالی آنها مانند تهوع و استفراغ، آپنه‌ی تنفسی (قطع تنفس)، دپرسیون تنفسی (تعداد تنفس کمتر از ۱۲ عدد در دقیقه)، بشورات پوستی و همچنان، زمان اولین دز مسكن اضافی در دو گروه ارزیابی و ثبت گردید. بيماران پس از هوشياری كامل، بر حسب Modified Aldrete score از ريکاوری مخصوص شدند. جمع آوري اطلاعات از طريق پرسش نامه انجام شد.

داده‌های به دست آمده از گروههای مورد مطالعه، جمع آوري شد و در نرم‌افزار SPSS نسخه‌ی ۲۰ (version 20, IBM Corporation, Armonk, NY) با استفاده از آزمون‌های Kolmogorov-Smirnov (جهت طبیعی بودن توزيع داده‌ها)، Levene's، Independent t و χ^2 و One-way ANOVA صورت طبیعی نبودن توزيع داده‌ها، از آزمون‌های ناپارامتریک معادل استفاده شد و گروه‌ها با يكديگر مقایسه شدند. در اين مطالعه، $P < ۰/۰۵$ به عنوان سطح معنی داري در نظر گرفته شد.

خواب آلودگی را نيز کاهش می‌دهند (۲-۵).

مؤثرترین بلوك عصبي برای جراحی شكاف لب، بلوك عصبي اينفرا اوريبيتال می‌باشد که به دو روش داخل دهانی و خارج دهانی انجام می‌شود. روش داخل دهانی، با توجه به عوارض کمتر و ساده‌تر بودن، مقبولیت بيشتری دارد.

مارکائين ۰/۲۵ درصد با توجه به اثر طولانی، بهترین داروي بيهوشی موضعی مورد استفاده در بلوك اينفرا اوريبيتال می‌باشد. برای افزایش کیفیت بلوك، می‌توان مخدراها و يا آگونیستها و يا کاتامین را به مارکائين اضافه کرد (۶-۹).

مارکائين، داروي بيهوشی موضعی از خانواده‌ی آمينوآميدها است که در بلوك اعصاب محیطی، سمپاتیک و اپیدورال کاربرد دارد. پتیدین نيز مخدري صناعی از خانواده‌ی فنیل پیپریدن است که اغلب برای تخفیف درد استفاده می‌شود. کاتامين، داروي تضعیف کننده‌ی سلسه اعصاب مرکزي و هوشبری است و با بلوك گیرنده‌های گلوتامات ناحیه‌ی تalamوس مغز، مانع انتقال پیام درد به سیستم لیمبیک می‌شود.

Jindal و همكاران، نشان دادند که اضافه کردن کلونیدین به بويپرواكائين، نياز به ساير داروهای بيهوشی را کاهش و به طور قابل ملاحظه‌ای، بي حسي پس از عمل را بدون عوارض جانبي افزایش می‌دهد (۷).

از آن جايي که مطالعه‌اي برای مقايسه‌ی بين اثر اضافه کردن پتیدین و کاتامين به مارکائين در بلوك اينفرا اوريبيتال انجام نشده بود، مطالعه‌ي حاضر، با هدف بررسی اثر اضافه شدن اين دو دارو به مارکائين در بلوك اينفرا اوريبيتال انجام شد.

روش‌ها

مطالعه‌ي حاضر، يك مطالعه‌ي کارآزمایي باليني دو سو کور بود که در بيمارستان امام حسین (ع) اصفهان در سال‌های ۱۳۹۴-۹۵ تعداد نمونه بر اساس فرمول نمونه‌گيري با سطح اطمینان ۹۵ درصد و ضریب توان ۸۰ درصد، معادل ۶۰ نفر تعیین شد. بيماران بر اساس جدول اعداد تصادفي در سه گروه ۲۰ نفره شامل مارکائين و کاتامين، مارکائين و پتیدين و نيز مارکائين به تهایي که از نظر سن و جنس تطبیق داشتند، تقسیم شدند.

معيارهای ورود به مطالعه، شامل سن يك ماه تا يك سال، دریافت رضایت آگاهانه و کامل از همراه بيمار، درجات I و II، نداشتن مشکل مغزی و تشنج، عدم استفاده از داروهایي که با پتیدین تداخل دارند، عدم استفاده از ساير مسكن و مخدراها، نداشتن سابقه‌ی اعتیاد در مادر بيمار بودند. معيارهای خروج از مطالعه، شامل

جدول ۱. توزيع فراوانی جنس شیرخواران در سه گروه

جنس	تعداد (درصد)	گروه مارکائین و کتابین		تعداد (درصد)	گروه شاهد (مارکائین)	مقدار P
		تعداد	گروه مارکائین و پتیدین			
دختر	۱۱ (۵۵)	۹ (۴۵)	۹ (۴۵)	۹ (۴۵)	۹ (۴۵)	> ۰/۷۷۰
	۹ (۴۵)	۱۱ (۵۵)	۱۱ (۵۵)	۹ (۴۵)	۱۱ (۵۵)	
	۲۰ (۱۰۰)	۲۰ (۱۰۰)	۲۰ (۱۰۰)	۲۰ (۱۰۰)	۲۰ (۱۰۰)	
پسر						
جمع						

آزمون One-way ANOVA نشان داد که میانگین فشار خون سیستول، ۰/۵ ساعت بعد از آغاز عمل جراحی بین سه گروه اختلاف معنی داری نداشت ($P = 0/100$)، اما در سایر زمان ها، در گروه شاهد به طور معنی داری بیشتر از دو گروه دیگر بود ($P < 0/050$). میانگین فشار خون دیاستول و متوسط فشار خون شریانی در تمام زمان های بعد از عمل در گروه شاهد به طور معنی داری از دو گروه دیگر بیشتر بود ($P < 0/050$)، اما بین دو گروه مارکائین و کتابین و نیز مارکائین و پتیدین و پتیدین در هیچ یک از زمان ها تفاوت معنی داری مشاهده نشد ($P > 0/050$).

آزمون One-way ANOVA نشان داد که میانگین اولین زمان تجویز مسکن ($P = 0/049$) و مدت زمان اقامت در ریکاوری ($P < 0/001$) در گروه شاهد به طور معنی داری کمتر از دو گروه دیگر بود، اما بین دو گروه مارکائین و کتابین و نیز مارکائین و پتیدین تفاوت معنی داری مشاهده نشد ($P > 0/050$). آزمون χ^2 نشان داد که توزيع فراوانی بروز استفراغ ($P = 0/670$) و سایر عوارض ($P = 0/440$) بین سه گروه تفاوت معنی داری نداشت (جدول ۵).

یافته ها

این تحقیق، به منظور بررسی تأثیر پرهاستیو بلسوک دو طرفهی عصب اینفرا اریتال با استفاده از اینفیلتراسیون مارکائین و پتیدین یا مارکائین و کتابین بر تسکین درد بعد از عمل جراحی شکاف لب شیرخواران تحت بیهوشی عمومی و مقایسهی آن با گروه شاهد در بیمارستان امام حسین (ع) اصفهان انجام شد.

میانگین سن گروه مارکائین و کتابین $۴/۴ \pm ۰/۳$ ماه، گروه مارکائین + پتیدین $۴/۳ \pm ۰/۳$ ماه و گروه شاهد $۴/۲ \pm ۰/۲$ ماه بود. آزمون One-way ANOVA نشان داد که میانگین سن بین سه گروه اختلاف معنی داری نداشت ($P = 0/930$). همچنین، آزمون χ^2 نشان داد که توزيع فراوانی جنس شیرخواران بین سه گروه تفاوت معنی داری نداشت ($P = 0/770$) (جدول ۱).

آزمون One-way ANOVA نشان داد که میانگین شدت درد و ضربان قلب در تمامی زمان ها در گروه شاهد به طور معنی داری بیشتر از دو گروه دیگر بود ($P < 0/050$)، اما بین دو گروه مارکائین و کتابین و نیز مارکائین و پتیدین، در هیچ یک از زمان ها تفاوت معنی داری مشاهده نشد ($P > 0/050$) (جدول ۲).

جدول ۲. مقایسهی میانگین شدت درد و ضربان قلب در زمان های مختلف بعد از عمل بین سه گروه

مقدار P	میانگین \pm انحراف معیار	گروه شاهد (مارکائین)		میانگین \pm انحراف معیار	زمان	متغیر
		مارکائین و پتیدین	مارکائین \pm انحراف معیار			
< 0/001	۵/۵ \pm ۰/۹	۴/۱ \pm ۰/۴	۴/۲ \pm ۰/۹	۰/۵ ساعت	شدت درد	
< 0/001	۵/۹ \pm ۱/۰	۴/۵ \pm ۰/۹	۴/۲ \pm ۰/۹	۱ ساعت		
< 0/001	۷/۰ \pm ۱/۴	۵/۴ \pm ۱/۱	۴/۲ \pm ۱/۱	۲ ساعت		
0/001	۶/۱ \pm ۱/۴	۴/۹ \pm ۱/۲	۴/۴ \pm ۱/۵	۴ ساعت		
0/001	۵/۱ \pm ۱/۰	۴/۳ \pm ۰/۹	۳/۸ \pm ۱/۱	۶ ساعت		
< 0/001	۴/۸ \pm ۱/۰	۳/۸ \pm ۱/۱	۲/۳ \pm ۱/۲	۱۲ ساعت		
< 0/001	۴/۴ \pm ۰/۸	۳/۳ \pm ۰/۹	۳/۲ \pm ۱/۰	۲۴ ساعت		
0/001	۱۳۴/۹ \pm ۱۳/۱	۱۱۹/۲ \pm ۱۰/۰	۱۲۲/۴ \pm ۱۵/۷	۰/۵ ساعت	ضربان قلب	
< 0/001	۱۳۷/۱ \pm ۱۴/۰	۱۱۸/۸ \pm ۹/۵	۱۲۱/۵ \pm ۱۴/۲	۱ ساعت		
< 0/001	۱۴۳/۱ \pm ۱۶/۱	۱۲۱/۱ \pm ۱۳/۷	۱۲۰/۷ \pm ۱۲/۵	۲ ساعت		
< 0/001	۱۴۰/۹ \pm ۱۳/۷	۱۲۱/۲ \pm ۱۱/۸	۱۲۱/۵ \pm ۱۳/۵	۴ ساعت		
< 0/001	۱۳۵/۰ \pm ۱۴/۲	۱۱۷/۷ \pm ۱۰/۴	۱۱۶/۷ \pm ۱۱/۱	۶ ساعت		
< 0/001	۱۳۲/۷ \pm ۱۲/۸	۱۱۴/۹ \pm ۱۰/۹	۱۱۳/۲ \pm ۱۱/۴	۱۲ ساعت		
< 0/001	۱۳۱/۶ \pm ۱۲/۵	۱۱۳/۲ \pm ۱۰/۷	۱۱۱/۵ \pm ۱۰/۴	۲۴ ساعت		

جدول ۳. مقایسه میانگین فشار خون سیستول، دیاستول و متوسط فشار خون شریانی در زمان‌های مختلف بعد از عمل بین سه گروه

متغیر	زمان	گروه مارکائین و کاتامین		گروه مارکائین و پتیدین		P
		میانگین ± انحراف معیار	میانگین ± انحراف معیار	میانگین ± انحراف معیار	میانگین ± انحراف معیار	
فشار خون سیستول	۰/۵ ساعت	۱۰۱/۸ ± ۶/۲	۹۸/۷ ± ۵/۶	۱۰۰/۷ ± ۷/۱	۹۸/۷ ± ۵/۶	۰/۱۰۰
	۱ ساعت	۱۰۱/۷ ± ۶/۵	۹۷/۵ ± ۵/۵	۹۸/۱ ± ۶/۶	۹۸/۱ ± ۶/۶	۰/۰۴۰
	۲ ساعت	۱۰۳/۰ ± ۵/۷	۹۸/۱ ± ۵/۵	۹۸/۷ ± ۶/۳	۹۸/۷ ± ۶/۳	۰/۰۲۰
	۴ ساعت	۱۰۳/۰ ± ۵/۱	۹۶/۷ ± ۴/۸	۹۷/۶ ± ۶/۷	۹۷/۶ ± ۶/۷	۰/۰۰۲
	۶ ساعت	۱۰۱/۰ ± ۴/۷	۹۵/۲ ± ۴/۴	۹۷/۱ ± ۵/۰۳	۹۷/۱ ± ۵/۰۳	۰/۰۰۱
	۱۲ ساعت	۱۰۰/۷ ± ۴/۵	۹۴/۲ ± ۳/۹	۹۵/۸ ± ۴/۶	۹۵/۸ ± ۴/۶	< ۰/۰۰۱
	۲۴ ساعت	۹۹/۹ ± ۴/۳	۹۴/۲ ± ۳/۸	۹۴/۹ ± ۲/۹	۹۴/۹ ± ۲/۹	< ۰/۰۰۱
فشار خون دیاستول	۰/۵ ساعت	۵۲/۶ ± ۳/۳	۴۹/۳ ± ۳/۳	۵۰/۱ ± ۵/۰۴	۴۹/۳ ± ۳/۳	۰/۰۳۰
	۱ ساعت	۵۱/۴ ± ۱/۷	۴۸/۶ ± ۳/۷	۴۸/۸ ± ۵/۱	۴۸/۸ ± ۵/۱	۰/۰۴۰
	۲ ساعت	۵۳/۲ ± ۳/۵	۴۹/۲ ± ۳/۱	۴۸/۲ ± ۴/۹	۴۸/۲ ± ۴/۹	< ۰/۰۰۱
	۴ ساعت	۵۲/۴ ± ۲/۹	۴۸/۵ ± ۳/۷	۴۷/۷ ± ۴/۴	۴۷/۷ ± ۴/۴	< ۰/۰۰۱
	۶ ساعت	۵۱/۳ ± ۳/۴	۴۶/۷ ± ۳/۲	۴۷/۴ ± ۲/۹	۴۷/۴ ± ۲/۹	< ۰/۰۰۱
	۱۲ ساعت	۵۰/۳ ± ۳/۶	۴۵/۹ ± ۲/۰۱	۴۶/۷ ± ۲/۶	۴۶/۷ ± ۲/۶	< ۰/۰۰۱
	۲۴ ساعت	۵۰/۰۲ ± ۳/۸	۴۵/۸ ± ۳/۳	۴۶/۴ ± ۲/۲	۴۶/۴ ± ۲/۲	< ۰/۰۰۱
متوسط فشار خون شریانی	نیم ساعت	۶۹/۰ ± ۳/۶	۶۵/۴ ± ۳/۶	۶۶/۹ ± ۵/۰۲	۶۶/۹ ± ۵/۰۲	۰/۰۳۰
	۱ ساعت	۶۸/۲ ± ۲/۸	۶۴/۶ ± ۳/۵	۶۵/۶ ± ۵/۲	۶۵/۶ ± ۵/۲	۰/۰۲۰
	۲ ساعت	۶۹/۸ ± ۳/۴	۶۵/۵ ± ۳/۲	۶۵/۱ ± ۵/۰۳	۶۵/۱ ± ۵/۰۳	< ۰/۰۰۱
	۴ ساعت	۶۹/۳ ± ۲/۹	۶۴/۶ ± ۳/۴	۶۴/۴ ± ۴/۸	۶۴/۴ ± ۴/۸	< ۰/۰۰۱
	۶ ساعت	۶۷/۹ ± ۳/۱	۶۲/۹ ± ۲/۶	۶۳/۹ ± ۲/۶	۶۳/۹ ± ۲/۶	< ۰/۰۰۱
	۱۲ ساعت	۶۷/۱ ± ۳/۲	۶۲/۱ ± ۲/۶	۶۳/۱ ± ۲/۴	۶۳/۱ ± ۲/۴	< ۰/۰۰۱
	۲۴ ساعت	۶۶/۸ ± ۳/۴	۶۱/۹ ± ۲/۸	۶۲/۶ ± ۲/۹	۶۲/۶ ± ۲/۹	< ۰/۰۰۱

انجام می‌شود. روش داخل دهانی، با توجه به عوارض کمتر و ساده‌تر بودن، مقبولیت بیشتری دارد. مارکائین ۰/۲۵ درصد با توجه به اثر طولانی، بهترین داروی بیهوشی موضعی مورد استفاده در بلوك اینفرا اریتال می‌باشد. برای افزایش کیفیت بلوك، می‌توان مخدراها و یا آگونیست‌ها و یا کاتامین را به مارکائین اضافه کرد. مارکائین، داروی بیهوشی موضعی از خانواده‌ی آمینوآمیدها است که در بلوك اعصاب محیطی، سمباتیک و اپیدورال کاربرد دارد و پتیدین، مخدري صناعي از خانواده‌ی فنیل‌پپریدن است که به طور عمده برای تخفیف درد استفاده می‌شود. کاتامین، داروی تضعیف کننده‌ی سلسه اعصاب مرکزی و هوشبری است و با بلوك گیرنده‌های گلوتامات ناچیه‌ی تalamوس مغز، مانع انتقال پیام درد به سیستم لیمبیک می‌شود.

بحث

شکاف لب و شکاف کام، از شایع ترین بیماری‌های ماگزیلو فاشیال در اطفال می‌باشند که نیاز به ترمیم جراحی در اوایل دوران کودکی دارند. عمل جراحی ترمیم شکاف لب، به طور معمول از سه ماهگی تا یک سالگی انجام می‌شود.

از آن جایی که عمل ترمیم شکاف لب با درد محسوسی در گروه سنی اطفال همراه است، بی‌حسی پس از عمل در کودکان، امری ضروری در مراقبت‌های پس از عمل است؛ چرا که کاهش مناسب درد نیاز به اکسیژن و همچنین، بار قلی - تنفسی را کاهش می‌دهد و بهبودی را سرعت می‌بخشد.

مؤثرترین بلوك عصبی برای جراحی شکاف لب، بلوك عصبی اینفرا اریتال می‌باشد که به دو روش داخل دهانی و خارج دهانی

جدول ۴. میانگین تعداد بروز استفراغ و مدت زمان اقامت در ریکاوری در سه گروه

متغیر	اولین زمان تجویز مسکن (ساعت)	گروه مارکائین و کاتامین		گروه مارکائین و پتیدین		P
		میانگین ± انحراف معیار	میانگین ± انحراف معیار	میانگین ± انحراف معیار	میانگین ± انحراف معیار	
اولین زمان اقامت در ریکاوری (دقیقه)	۲/۱ ± ۱/۷	۲/۶ ± ۱/۱	۱/۹ ± ۰/۹	۴۶/۶ ± ۷/۲	۵۸/۵ ± ۷/۸	۰/۰۴۹
مدت زمان اقامت در ریکاوری (دقیقه)	۵۵/۳ ± ۶/۳	۵۵/۳ ± ۶/۳	۵۸/۵ ± ۷/۸	۴۶/۶ ± ۷/۲	۱/۹ ± ۰/۹	< ۰/۰۰۱

جدول ۵. توزیع فراوانی بروز استفراغ و عوارض دیگر در سه گروه

مقدار P	گروه شاهد (مارکائین)	گروه مارکائین و کتامین	گروه مارکائین و پتیدین	عارضه
	تعداد	تعداد	تعداد	
۰/۶۷۰	۲ (۱۰)	۴ (۲)	۳ (۱۵)	استفراغ
۰/۴۴۰	۲ (۱۰)	۵ (۲۵)	۳ (۱۵)	سایر عوارض

تزریق فنتانیل IV در ۴۶ کودک با جراحی ترمیمی اولیه شکاف کام مقایسه شد. گروه فنتانیل، ۲ میکروگرم/کیلوگرم فنتانیل وریدی و بلوك عصب اینفرا اریتال با ۰/۵ میلی لیتر نرمال سالین در هر طرف، گروه بلوك عصب، بلوك دو طرفه عصب اینفرا اریتال با ۰/۵ میلی لیتر بوپیواکائین ۰/۲۵ درصد در هر طرف و ۰/۵ میلی لیتر ندشت که تفاوت معنی داری بین نمره درد در دو سالین وریدی داشتند، اما گروه وجود نداشت ($P = ۰/۹۸۰$). در این مطالعه، کودکان با بلوك دو طرفه مشکلات کمتری در تغذیه داشتند، اما تفاوتی بین حجم تغذیه و سایر پارامترهای تغذیه بین دو گروه دیده نشد (۳).

در مطالعه Mariano و همکاران، نشان داده شد که بین دو گروه که بلوك دو طرفه اینفرا اریتال با بوپیواکائین ۰/۵ درصد و نرمال سالین داشتند، تفاوت معنی داری در طول مدت ریکاوری وجود نداشت، اما گروه اول، درد کمتری در مقایسه با گروه دوم تجربه کردند (۴).

در مطالعه بوپیواکائین و همکاران، بلوك دو طرفه اینفرا اریتال با استفاده از بوپیواکائین و پتیدین ± بوپیواکائین مقایسه شد که نشان داد اضافه کردن پتیدین به بی حسی موضعی، به طور قابل ملاحظه ای طول مدت بی حسی پس از عمل را بدون عوارض جانبی افزایش می دهد (۶).

در مطالعه Mane و همکاران، کودک در سنین ۵-۶۰ ماه، با شکاف لب با بلوك دو طرفه ایتنا اورال عصب اینفرا اریتال در ۳ گروه شامل گروه بوپیواکائین ۰/۲۵ درصد، گروه بوپیواکائین ۰/۲۵ درصد + ۰/۰۵ میلی گرم/کیلوگرم پتیدین و نیز گروه بوپیواکائین ۰/۰۵ درصد + ۰/۰۲۵ میلی گرم/کیلوگرم فنتانیل) بررسی شدند. معیارهای آرامش بعد از ریکاوری، شدت درد پس از عمل و طول مدت بی حسی پس از عمل مقایسه شد که نشان داد، اضافه کردن فنتانیل یا پتیدین به بوپیواکائین، برای بلوك دو طرفه اینفرا اریتال، طول مدت بی حسی را بدون ایجاد عوارض افزایش می دهد و می تواند برای کودکان، اقدام ایمنی باشد (۸).

در مطالعه Jindal و همکاران بر روی ۵۰ بیمار با سن کمتر از ۲۴ ماه که تحت عمل جراحی شکاف لب قرار گرفتند، پارامترهای همودینامیک نیاز به داروی شل کننده عضلات و مسکن اضافی و Volatile anesthetic و درد در دو گروه با بلوك دو طرفه اینفرا اریتال با بوپیواکائین + ۱ میلی لیتر کلونیدین (گروه a) و نیز با

در مطالعهی حاضر، با توجه به این که اثر اضافه کردن پتیدین و کتامین به مارکائین در بلوك اینفرا اوربیتال در مطالعات قبل مقایسه نشده بود، تاثیر اضافه کردن این دو دارو بررسی و با یکدیگر و نیز با گروه شاهد مقایسه گردید. بنابر مطالعهی حاضر، اضافه کردن پتیدین یا کتامین به عنوان داروی بیهوشی موضعی کمکی به مارکائین،

می تواند شدت درد، ضربان قلب و میانگین فشار خون سیستول، دیاستول و متوسط فشار خون شریانی را در مقایسه با مارکائین به تنها بیانی، کاهش دهد، اما اثر این دو دارو با یکدیگر تفاوت معنی داری نداشتند. همچنین، زمان تجویز مسکن و مدت اقامت در ریکاوری در گروه شاهد کمتر از دو گروه پیش گفته بود، اما بروز استفراغ و سایر عوارض در بین سه گروه تفاوت معنی داری نداشت.

در مطالعه Rajamani و همکاران بر روی ۸۲ کودک سه ماهه تا ده ساله با ترمیم شکاف لب، کودکان به دو دسته بیانی بلوك دو طرفه عصب اینفرا اریتال و دریافت Intravenous (IV) فنتانیل تقسیم شدند. در گروه اول، ۱ میلی لیتر بوپیواکائین ۰/۲۵ درصد و ۲ میلی لیتر سالین جهت کترول و گروه دوم ۰/۵ میکروگرم/کیلوگرم فنتانیل IV و ۱ میلی لیتر سالین جهت کترول استفاده شد. در با استفاده از متغیرهایی مانند تاکی کارדי و پرفشاری خون و یا \leq Modified pain score ۴، زمان بیدار شدن، زمان اولین گریه و زمان شروع تغذیه بررسی شد. در این مطالعه، کودک در گروه اول (۸۲/۹ درصد) و ۱۵ کودک در گروه دوم (۳۶/۶ درصد) بی حسی مناسبی داشتند. اختلاف میان دو گروه معنی دار ($P < ۰/۰۱$) و حاکی از آن بود که بلوك دو طرفه عصب اینفرا اریتال، در مدت بیهوشی، زمان بیدار شدن و تغذیه، مؤثرتر از فنتانیل است (۱).

در مطالعه Eipe و همکاران بر روی ۲۰ کودک زیر ۱۲ سال با شکاف لب، بلوك اینفرا اریتال دو طرفه با استفاده از ۱۰ میلی لیتر لیدوکائین ۲ درصد و آدرنالین ۱/۲۰۰۰۰ و بوپیواکائین ۰/۵ درصد انجام شد. در این مطالعه، بلوك با موقوفیت انجام شد و عوارضی برای بیماران ایجاد نشد. جراحی بدون عارضهی مهمی انجام گرفت و بی حسی بعد از عمل جراحی بین ۶-۲۴ ساعت به طور میانگین ۱۶/۵ ± ۵/۱ بود و بلوك اینفرا اریتال به عنوان اساس بی حسی در ترمیم شکاف کام در بیماران نوجوان و بزرگ سال پیشنهاد شد؛ چرا که بعضی از بیماران نیازمند جراحی های ترمیمی می باشند (۲).

در مطالعه Simion و همکاران، بلوك عصب اینفرا اریتال و

در مجموع به نظر می‌رسد، با این‌که در زمینه‌ی عوامل مؤثر بر شدت درد پس از عمل مطالعات زیادی انجام شده است (۱۱-۱۳)، ولی به علت محدودیت‌های مطالعات و دیگر اختلافات هنوز نیاز به بررسی‌های زیادی در این راستا می‌باشد.

تعداد کم نمونه‌ها از محدودیت‌های مطالعه‌ی حاضر بود و پیشنهاد می‌شود مطالعه‌ای با تعداد نمونه‌ی بیشتر انجام شود. نتیجه‌گیری نهایی این که استفاده از کتامین یا پتیدین، می‌تواند منجر به کاهش شدت درد بدون افزایش عوارض جانبی شود.

تشکر و قدردانی

مقاله‌ی حاضر، حاصل پایان‌نامه‌ی دکتری حرفه‌ای پزشکی عمومی است که با شماره‌ی ۳۹۵۶۱۲ در حوزه‌ی معاونت پژوهشی دانشکده‌ی پزشکی تصویب شد و با حمایت‌های این معاونت به انجام رسید. از این‌رو، نویسنده‌گان مقاله‌ی از زحمات ایشان تقدير و تشکر می‌نمایند.

بوپیوکائین (گروه b) بررسی شد و نشان داد که اضافه کردن کلوبنیدین نیاز به سایر داروهای بیهوشی را کاهش و به طور قابل ملاحظه‌ای بی‌حسی پس از عمل را بدون عوارض جانبی افزایش می‌دهد (۷).

Clerc و همکاران، نشان دادند که افزودن کتامین و کترولاک Cekic فقط کمی اثرات ضد درد بوپیوکائین را بهبود می‌بخشد (۹). و همکاران، در مطالعه‌ی خود بر روی ۴۵ بیمار که تحت جراحی بینی قرار گرفته بودند، نشان دادند که افزودن ترامادول در بلوک دو طرفی عصب اینفرا اریتال، ایمن است (۵).

Feriani و همکاران، مطالعه‌ای مروری بر روی ۸ مطالعه شامل ۳۵۳ کودک که تحت جراحی شکاف لب قرار گرفته بودند، انجام دادند و درد پس از عمل در بلوک عصب اینفرا اریتال با بوپیوکائین یا لیگنوکائین و دارونما را ارزیابی نمودند. در یافته‌های آنان، شواهد کمی وجود داشت که بلوک عصب اینفرا اریتال با بوپیوکائین یا لیگنوکائین، بتواند درد پس از عمل را بیشتر از دارونما و بی‌حسی وریدی کاهش دهد (۱۰).

References

- Rajamani A, Kamat V, Rajavel VP, Murthy J, Hussain SA. A comparison of bilateral infraorbital nerve block with intravenous fentanyl for analgesia following cleft lip repair in children. *Paediatr Anaesth* 2007; 17(2): 133-9.
- Eipe N, Choudhrie A, Pillai AD, Choudhrie R. Regional anaesthesia for cleft lip repair: a preliminary study. *Cleft Palate Craniofac J* 2006; 43(2): 138-41.
- Simion C, Corcoran J, Iyer A, Suresh S. Postoperative pain control for primary cleft lip repair in infants: is there an advantage in performing peripheral nerve blocks? *Paediatr Anaesth* 2008; 18(11): 1060-5.
- Mariano ER, Watson D, Loland VJ, Chu LF, Cheng GS, Mehta SH, et al. Bilateral infraorbital nerve blocks decrease postoperative pain but do not reduce time to discharge following outpatient nasal surgery. *Can J Anaesth* 2009; 56(8): 584-9.
- Cekic B, Geze S, Erturk E, Akdogan A, Eroglu A. A comparison of levobupivacaine and levobupivacaine-tramadol combination in bilateral infraorbital nerve block for postoperative analgesia after nasal surgery. *Ann Plast Surg* 2013; 70(2): 131-4.
- Jonnavithula N, Durga P, Kulkarni DK, Ramachandran G. Bilateral intra-oral, infra-orbital nerve block for postoperative analgesia following cleft lip repair in paediatric patients: comparison of bupivacaine vs bupivacaine-pethidine combination. *Anaesthesia* 2007; 62(6): 581-5.
- Jindal P, Khurana G, Dvivedi S, Sharma JP. Intra and postoperative outcome of adding clonidine to bupivacaine in infraorbital nerve block for young children undergoing cleft lip surgery. *Saudi J Anaesth* 2011; 5(3): 289-94.
- Mane RS, Sanikop CS, Dhulkhed VK, Gupta T. Comparison of bupivacaine alone and in combination with fentanyl or pethidine for bilateral infraorbital nerve block for postoperative analgesia in paediatric patients for cleft lip repair: A prospective randomized double blind study. *J Anaesthesiol Clin Pharmacol* 2011; 27(1): 23-6.
- Clerc S, Vuilleumier H, Frascarolo P, Spahn DR, Gardaz JP. Is the effect of inguinal field block with 0.5% bupivacaine on postoperative pain after hernia repair enhanced by addition of ketorolac or S(+) ketamine? *Clin J Pain* 2005; 21(1): 101-5.
- Feriani G, Hatanaka E, Torloni MR, da Silva EM. Infraorbital nerve block for postoperative pain following cleft lip repair in children. *Cochrane Database Syst Rev* 2016; 4: CD011131.
- Moradi-Farsani D, Akrami F, Naghibi K, Alikiaii B, Nazemorroya B. The effect of age and sex on postoperative pain after deep vitrectomy. *J Isfahan Med Sch* 2017; 34(415): 1660-5. [In Persian].
- Moradi-Farsani D, Naghibi K, Taheri S, Ali-Kiaii B, Rahimi-Varposhti M. Effects of age and gender on acute postoperative pain after cataract surgery under topical anesthesia and sedation. *J Isfahan Med Sch* 2017; 34(414): 1627-33. [In Persian].
- Rahimi M, Farsani DM, Naghibi K, Alikiaii B. Preemptive morphine suppository for postoperative pain relief after laparoscopic cholecystectomy. *Adv Biomed Res* 2016; 5: 57.

Comparison between the Effect of Bupivacaine-Pethidine and Bupivacaine-Ketamine as Preemptive in Bilateral Infraorbital Nerve Block on Postoperative Pain Relief in Infants Undergoing Cleft Lip Repair, a Controlled Study

Hamid Hajigholam-Saryazdi¹, Amir Shafa², Farzaneh Nakhodaie³

Original Article

Abstract

Background: The aim of this study was to compare the effect of pethidine and ketamine, when added to bupivacaine, in infraorbital nerve block on postoperative pain relief in cleft lip repair surgery in infants.

Methods: In this double-blind clinical trial study, sixty candidates of cleft lip repair surgery were randomly allocated in three groups: bupivacaine + ketamine (a), bupivacaine + pethidine (b), and bupivacaine (c). Hemodynamic parameters and pain score were measured and compared among the three groups.

Findings: Mean pain score, heart rate, and mean arterial blood pressure were significantly higher in group c than the two other groups ($P < 0.05$); but, there was no significant difference between groups a and b ($P > 0.05$).

Conclusion: Based on the results of the present study, using ketamine or pethidine can reduce severity of pain in infraorbital nerve block with no complication. There was no difference between ketamine and pethidine, when added to bupivacaine, on postoperative pain relief.

Keywords: Cleft lip, Pediatric anesthesia, Nerve block

Citation: Hajigholam-Saryazdi H, Shafa A, Nakhodaie F. Comparison between the Effect of Bupivacaine-Pethidine and Bupivacaine-Ketamine as Preemptive in Bilateral Infraorbital Nerve Block on Postoperative Pain Relief in Infants Undergoing Cleft Lip Repair, a Controlled Study. J Isfahan Med Sch 2017; 35(433): 648-54.

1- Associate Professor, Department of Anesthesiology and Critical Care, School of Medicine, Isfahan University of Medical Sciences, Isfahan, Iran

2- Assistant Professor, Department of Anesthesiology and Critical Care, School of Medicine, Isfahan University of Medical Sciences, Isfahan, Iran

3- Student of Medicine, Student Research Committee, School of Medicine, Isfahan University of Medical Sciences, Isfahan, Iran

Corresponding Author: Farzaneh Nakhodaie, Email: affvmm@yahoo.com

ارزیابی درون تن اینمی فیوژن پروتئین DT386-BR2 به عنوان یک کاندیدای دارویی ضد سرطان در مدل موشی

فاطمه شفیعی^۱, راضیه انتشاری^۲, محمد ربانی^۳, علی جهانیان نجف‌آبادی^۴

مقاله پژوهشی

چکیده

مقدمه: سرطان یکی از بزرگ‌ترین مشکلات مرتبط با سلامتی می‌باشد و با توجه به گسترش روزافزون مقاومت‌های دارویی و عوارض جانبی درمان‌های شیمیایی فعلی، تولید داروهای هدفمند با عوارض جانبی محدود، موضوع تحقیقات بسیاری در علوم پزشکی می‌باشد. در مطالعات قبلی، فیوژن پروتئینی مرکب از بخش کاتالیتیک و داخل غشاء اسید سیتریک، به عنوان عامل کشنده و پپتید ضد میکروبی BR2 به عنوان عامل هدفمند کننده (DT386-BR2) تولید شد. مطالعات اولیه برون تن، اثرات ضد سرطانی انتخابی بر روی رده‌های سلولی سرطانی نشان داد. هدف از انجام مطالعه‌ی حاضر، ارزیابی درون تن سمیت ناشی از پروتئین DT386-BR2 بر روی موش‌های سفید سالم بود.

روش‌ها: در ابتدا، فیوژن پروتئین DT386-BR2 با استفاده از تکنولوژی DNA نوترکیب در باکتری Escherichia coli تولید و با استفاده از کروماتوگرافی بر پایه‌ی ستون نیکل خالص‌سازی گردید و سپس، با غلظت‌های مختلف (۰/۳۰، ۰/۳۰۰، ۰/۱۵۰، ۰/۱۵۰ و ۰/۷۵ میکروگرم/لروز) در موش‌های سفید سالم به صورت داخل صاقفی و به مدت ۵ روز متوالی تزریق گردید. هر گروه سه تایی از موش‌ها، از نظر وضعیت زندگانی، دمای بدن، میزان تغییرات وزن و میزان مصرف غذا برای دو هفته بعد از آخرین تزریق مورد ارزیابی قرار گرفتند. به گروه شاهد منفی نیز نرمال سالین تزریق شد.

یافته‌ها: هیچ تفاوت معنی‌داری بین میزان زندگانی، دمای بدن و میزان تغییرات وزن موش‌های مواجه شده با فیوژن پروتئین در غلظت‌های مختلف در مقایسه با شاهد منفی وجود نداشت ($P > ۰/۰۵$) و با افزایش غلظت پروتئین، هیچ گونه عوارض سویی در موش‌های سالم مشاهده نگردید.

نتیجه‌گیری: این فیوژن پروتئین، می‌تواند به عنوان یک کاندیدای دارویی مناسب در مطالعات درون تن پیش‌بالی به منظور تعیین ویژگی‌های فارماکوکینتیک و فارماکودینامیک آن در مدل موشی زنوگرافت مورد ارزیابی قرار گیرد.

وازگان کلیدی: اینمتوکسین، سم دیفتری، سمیت، اینمی، موش

ارجاع: شفیعی فاطمه، انتشاری راضیه، ربانی محمد، جهانیان نجف‌آبادی علی. ارزیابی درون تن اینمی فیوژن پروتئین DT386-BR2 به عنوان یک کاندیدای دارویی ضد سرطان در مدل موشی. مجله دانشکده پزشکی اصفهان ۱۳۹۶؛ ۴۳۳(۳۵): ۶۶۱-۶۵۵.

مقدمه

اینمتوکسین‌ها، پروتئین‌های نوترکیبی هستند که از دو جزء مختلف تشکیل یافته‌اند؛ جزء هدفمند کننده (Targeting moiety) که باعث شناسایی یک لیگاند خاص بر روی سلول‌های ویژه می‌شود و جزء سمی (Toxic moiety) که باعث از بین رفتن سلول‌های انتخاب شده می‌شود (۱). بوفرین (Buforin)، یک پپتید ضد میکروبی است

که با ایجاد منافذ موقتی در غشاء سلول‌های سرطانی به سلول وارد می‌شود، بدون این که روی سلول‌های طبیعی اثر سوئی اعمال کند و این باعث شده است که این پپتید، در طراحی اینمتوکسین‌های جدید مورد استفاده قرار گیرد (۲-۴). از طرف دیگر، توکسین دیفتری (DT) یا Diphtheria toxin (DT)، پرکاربردترین توکسین باکتریایی در طراحی و تولید اینمتوکسین‌ها به شمار می‌آید؛ به گونه‌ای که با

۱- متخصص بیوتکنولوژی دارویی، گروه بیوتکنولوژی دارویی، دانشکده داروسازی، دانشگاه علوم پزشکی اصفهان، اصفهان، ایران

۲- دانشجوی داروسازی، دانشکده داروسازی، دانشگاه علوم پزشکی اصفهان، اصفهان، ایران

۳- استاد، گروه بیوتکنولوژی دارویی، دانشکده داروسازی، دانشگاه علوم پزشکی اصفهان، اصفهان، ایران

۴- استادیار، گروه بیوتکنولوژی دارویی، دانشکده داروسازی و مرکز تحقیقات بیوانفورماتیک، دانشگاه علوم پزشکی اصفهان، اصفهان، ایران

نویسنده‌ی مسؤول: علی جهانیان نجف‌آبادی

Email: jahanian@pharm.mui.ac.ir

(SDS-PAGE) مورد ارزیابی قرار گرفت.

آماده سازی نمونه ها برای مطالعات درون تن: حذف لیپوپلی ساکارید از پروتئین خالص شده با استفاده از تکنیک تریتون X114 و ارزیابی کارایی این روش در حذف آن با استفاده از روش X114 با غلظت نهایی ۱ درصد به محلول پروتئینی اضافه گردید و پس از مخلوط شدن، به مدت ۳۰ دقیقه در دمای ۴ درجهی سانتی گراد، به مدت ۱۰ دقیقه در دمای ۳۷ درجهی سانتی گراد گرمگاری شد. در آخرین مرحله، سانتی فیوژن نمونه ها در دمای ۲۵ درجهی سانتی گراد برای مدت ۱۵ دقیقه و با دور ۸ g انجام گردید. کلیه این مراحل، ۳ مرتبه تکرار شد. در هر مرحله، بخش مایع که حاوی فیوژن پروتئین مورد نظر بود، جمع آوری شد و برای اضافه کردن مجدد تریتون X114 مورد استفاده قرار گرفت. بعد از اتمام این مراحل، عملیات تعویض بافر به وسیله دیالیز و با pH = ۷/۴ (PBS) Phosphate buffered saline نهایت، غلظت پروتئین با استفاده از معروف Bradford اندازه گیری شد (۹) و همچنین، نمونه ها جهت اندازه گیری مقدار اندو توکسین باقیمانده، به انسستیتو پاستور ایران ارسال گردید. در نهایت باقیمانده نمونه ها در دمای ۷۰-۷۰ درجهی سانتی گراد نگهداری گردید تا برای مراحل بعدی مطالعه مورد استفاده قرار گیرد.

ارزیابی سمیت غیر اختصاصی فیوژن پروتئین 2 DT386-BR2

به صورت درون تن: همه ای آزمایش های حیوانی توسط کمیته اخلاق دانشگاه علوم پزشکی اصفهان (Ethics Committee of Isfahan University of Medical Sciences) مورد ارزیابی قرار گرفت و بر طبق دستورالعمل مؤسسه ملی محافظت و استفاده از National Institute of Health Guide for (the Care and Use of Laboratory Animals DT386-BR2) (۱۰). به منظور تعیین سمیت غیراختصاصی فیوژن پروتئین 2 DT386-BR2، موش های سفید سالم مورد استفاده قرار گرفتند. برای این منظور، موش های مورد استفاده در دو گروه مورد و شاهد منفی تقسیم شدند و غلظت های مختلفی از فیوژن پروتئین (۱۵، ۳۰، ۶۰، ۷۵ و ۱۵۰ میکرو گرم ارزو) به صورت داخل صفاقی به موش های گروه مورد تزریق گردید. هر موش، برای ۵ روز متولی مورد تزریق غلظت مشخصی از فیوژن پروتئین قرار گرفت و برای ۱۵ روز از نظر دمای بدن، وضعیت زنده ماندن، میزان وزن و میزان مصرف غذا مورد ارزیابی قرار گرفت. موش های گروه شاهد منفی نیز با PBS مورد تزریق قرار گرفتند.

آنالیز های آماری: نرم افزار SPSS نسخه ۲۰ (version 20, IBM Corporation, Armonk, NY)

جایگزین کردن دمین متصل شونده به گیرنده ای این توکسین با موتیف های هدفمند کننده، می توان اینمتوکسین های مختلفی تولید کرد (۵). بر این اساس، در مطالعات قبلی فیوژن پروتئینی ایجاد گردید که حاوی BR2 (پیتیدی از مشتقات بوفورین که سلول های سلطانی را به صورت اختصاصی تر از بوفورین مورد هدف قرار می دهد) (۶)، دمین های کاتالیتیک (Catalytic domain) و ترانس ممبران (Trans-membrane) توکسین دیفتری (DT386) می باشد (۷).

مطالعات مرتبط با ارزیابی اثرات سمیت اختصاصی این فیوژن پروتئین بر روی رده های سلولی نشان داد که این پروتئین، دارای اثرات سیتو توکسیک معنی داری بر روی رده های سلولی سلطانی HeLa (MCF-7) Michigan cancer foundation-7 با ۵۰% IC50 یا در حدود ۲/۰۸ و ۰/۵۵ میکرو گرم بر میلی لیتر است؛ در حالی که روی رده های سلولی HUVEC Human umbilical vein endothelial cells و HEK 293 Human embryonic kidney 293 سیتو توکسیک معنی داری بود (۷). بنابراین، با توجه به نتایج امیدبخش مطالعات سلولی، به عنوان اولین قدم در انجام مطالعات پیش بالینی درون تن، در مطالعه های حاضر، ارزیابی اینمی و سمیت اختصاصی این فیوژن پروتئین بر روی مدل موشی سالم انجام شد تا بتوان از نتایج آن در طراحی مراحل بعدی مطالعات شامل تعیین ویژگی های فارماکوکیتیک و فارماکو دینامیک این ترکیب بهره برد.

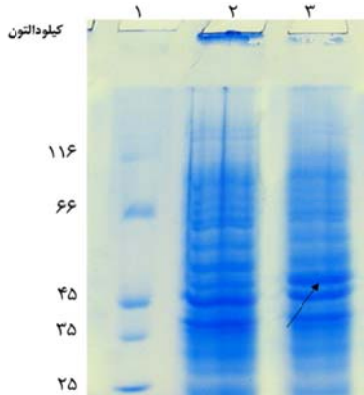
روش ها

مواد: فیوژن پروتئین 2 DT386-BR2 طی مطالعات قبلی تولید، خالص سازی و تعیین مقدار گردید که در زیر به صورت خلاصه ذکر گردیده است. موش های سفید نژاد آلبینو (Albino) که همگی نر و دارای محدوده وزنی ۲۰-۳۰ گرم بودند. از لانه هی حیوانات دانشکده داروسازی اصفهان تهیه شدند. مواد شیمیابی مختلف مورد استفاده در این طرح از شرکت های معتبر خریداری گردیدند.

تولید و خالص سازی فیوژن پروتئین 2 DT386-BR2

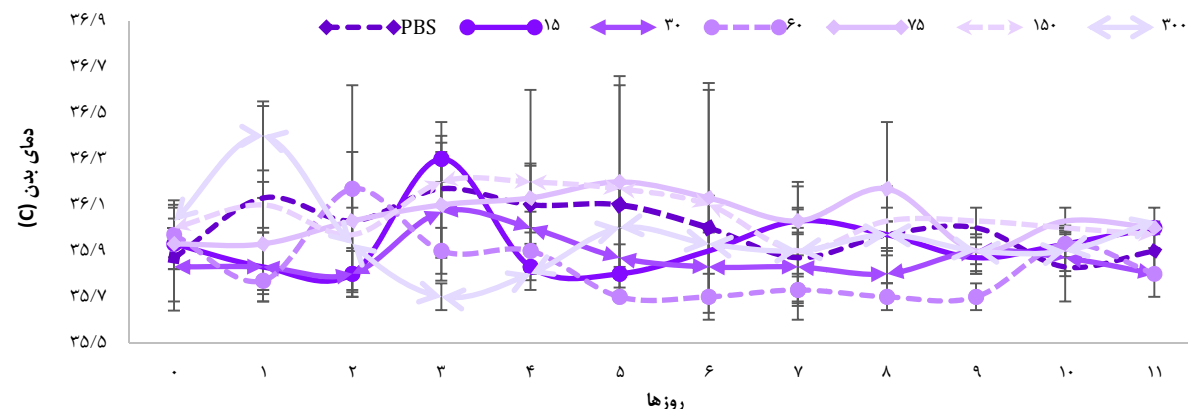
همان طوری که در مطالعات قبلی ذکر گردید (۷)، برای تولید پروتئین نوترکیب از باکتری های پذیرای Escherichia coli DT386-BR2 از BL21 استفاده گردید. برای این منظور پلامسید نوترکیب DE3 pET28-DT386-BR2 نیز به وسیله IPTG (IPTG) با غلظت ۱ میلی مolar انجام شد و در نهایت، خالص سازی این پروتئین با استفاده از کروماتوگرافی تمايلی بر پايه ستون نيكل صورت گرفت. در هر مرحله، تأييد بيان و خالص سازی با استفاده از تکنيک Sodium dodecyl sulfate-Polyacrylamide gel electrophoresis

شاهد منفی (به طور متوسط دمای ۳۶ درجه‌ی سانتی‌گراد) مشاهده نمی‌شود ($P > 0.05$).



شكل ۱. آنالیز ژل Sodium dodecyl sulfate-Polyacrylamide gel (SDS-PAGE) electrophoresis
پروتئین نوترکیب بیان شده.
خط ۱: نشانگر پروتئینی با وزن مولکولی مشخص. خط ۲: باکتری Escherichia coli BL21 (DE3)
حاوی وکتور نوترکیب pET28a-DT386-BR2
. (IPTG) Isopropyl β -D-1-thiogalactopyranoside
خط ۳: باکتری Escherichia coli BL21 (DE3) (DE3) حاوی وکتور IPTG
نوترکیب pET28a-DT386-BR2 بعد از القا به وسیلهٔ

همچنین، آنالیز داده‌های مربوط به وزن موش‌ها نشان داد که با افزایش غلظت فیوژن پروتئین تزریقی، هیچ کاهش وزن معنی‌داری در موش‌ها مشاهده نمی‌شود و ارزیابی موش‌هایی که با یک دز ثابت از فیوژن پروتئین مواجه شده بودند، نشان داد که در طول زمان، کاهش وزنی در این موش‌ها دیده نشد ($P > 0.05$) (شکل ۳).



شکل ۲. تأثیر تزریق داخل صفاتی غلظت‌های مختلف از فیوژن پروتئین DT386-BR2 بر روی دمای بدن موش‌ها. تغییر معنی‌داری روی دمای بدن موش‌هایی که با غلظت‌های مختلف از فیوژن پروتئین (۰، ۱۵، ۳۰، ۶۰، ۷۵، ۱۵۰ و ۳۰۰ میکروگرم لوز) مورد تزریق قرار گرفتند، در مقایسه با موش‌های گروه شاهد منفی مشاهده نشد ($P > 0.05$). داده‌ها مربوط به بعد از اولین تزریق تا یک هفته بعد از پنجمین تزریق می‌باشد. داده‌ها مربوط به میانگین دمای سه موش در هر گروه است.

داده‌ها مورد استفاده قرار گرفت. آزمون ANOVA و به دنبال آن آزمون Post hoc (Tukey) برای تعیین تفاوت معنی‌دار بین گروه‌ها استفاده شد و $P < 0.05$ به عنوان سطح معنی‌داری در نظر گرفته شد.

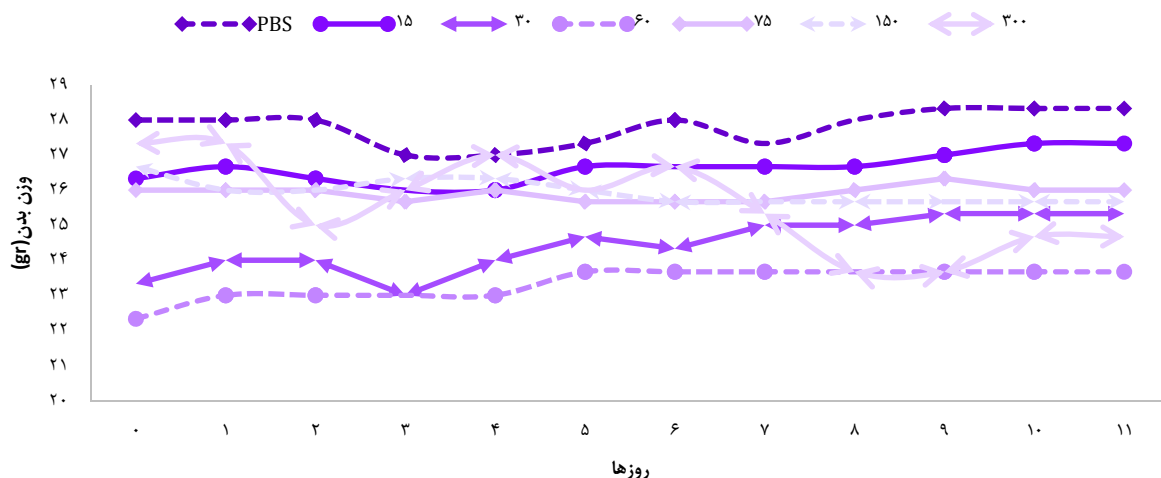
یافته‌ها

بیان و خالص‌سازی فیوژن پروتئین DT386-BR2 همان‌طور که در شکل ۱ آمده است، پروتئین ۲ DT386-BR2 به صورت موفقیت‌آمیزی بیان گردید که از روی حضور یک باند ۴۷ کیلولالتونی در ژل SDS-PAGE مورد ارزیابی قرار گرفت. حضور این باند در نمونه‌های خالص شده، نشان دهندهٔ موفقیت‌آمیز بودن مراحل تخلیص پروتئین نیز بود (داده‌ها نشان داده نشده است). بر اساس نتایج ارسالی از طرف انتستیتو پاستور ایران، مقدار لیپوپلی‌ساکارید باقی‌مانده در نمونه‌ها، کمتر از حدداشت مقدار مجاز [۵ Endotoxin unit (EU)] بود و بنابراین، نمونه‌ها جهت مطالعات حیوانی بعدی مورد استفاده قرار گرفت.

ارزیابی سمیت غیر اختصاصی فیوژن پروتئین DT386-BR2

آزمون‌های Tukey و ANOVA نشان دادند که تزریق فیوژن پروتئین در هیچ کدام از غلظت‌ها، منجر به بروز تب و افزایش دما در هیچ یک از گروه‌های مورد در مقایسه با گروه شاهد منفی نشد ($P > 0.05$) (شکل ۲).

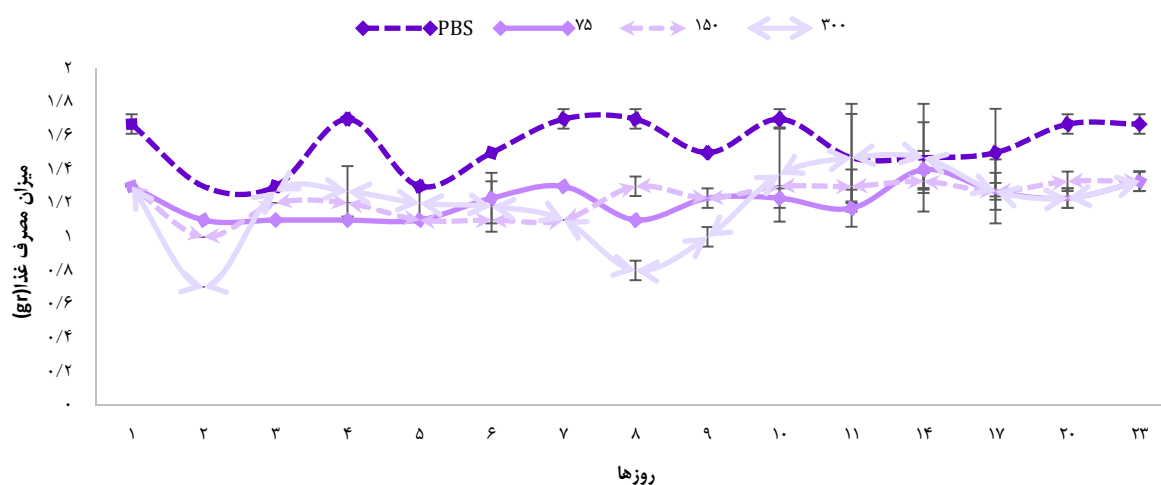
همچنین، ارزیابی روزانه‌ی موش‌هایی که مورد تزریق با دز ثابتی از فیوژن پروتئین قرار گرفته بودند، نشان داد که با گذشت زمان و استفاده از دزهای مکرر، هیچ افزایش دمایی در موش‌های گروه مورد (که تحت تزریق با بالاترین غلظت از فیوژن پروتئین قرار گرفتند و دمای متوسط بدن آن‌ها ۳۵/۹۶ درجه‌ی سانتی‌گراد بود) نسبت به



شکل ۳. تأثیر تزریق داخل صفاتی غلظت‌های مختلف از فیوژن پروتئین DT386-BR2 بر روی وزن بدن موش‌ها. تغییر معنی‌داری روی وزن بدن موش‌هایی که با غلظت‌های مختلف از فیوژن پروتئین (۱۵، ۳۰، ۶۰، ۷۵، ۱۵۰ و ۳۰۰ میکروگرم/روز) مورد تزریق قرار گرفتند، در مقایسه با موش‌های گروه شاهد منفی مشاهده نشد ($P > 0.05$). داده‌ها مربوط به بعد از اولین تزریق تا یک هفته بعد از پنجمین تزریق می‌باشد. داده‌ها مربوط به میانگین وزن سه موش در هر گروه است.

بیشتر بود. از طرفی، در موش‌هایی که دز ثابتی از فیوژن پروتئین را دریافت کرده بودند، در طول ۱۵ روز بررسی، میزان مصرف غذای موش‌ها کاهش معنی‌داری نشان نداد (شکل ۴). در مورد قابلیت بقای موش‌ها، مشاهدات حاکی از آن بود که با گذشت زمان و افزایش غلظت فیوژن پروتئین، هیچ کدام از موش‌ها دچار مرگ و میر نشدند. بنابراین، فیوژن پروتئین مورد بررسی، قادر سمتیغیر اختصاصی بر روی موش‌های سالم می‌باشد.

آنالیزهای داده‌های مربوط به میزان مصرف غذا در موش‌ها، نشان داد که با افزایش غلظت فیوژن پروتئین تزریقی به موش‌ها، میزان مصرف غذا نسبت به موش‌های گروه شاهد کاهش یافت ($P < 0.05$). در موش‌های گروه شاهد به طور متوسط مقدار مصرف غذا در طول زمان برابر با ۱/۵۴ گرم بود که در مقایسه با موش‌های دریافت کننده بالاترین غلظت از فیوژن پروتئین که میزان مصرف غذای روزانه‌ی آن‌ها به طور متوسط ۱/۲ گرم بود، به طور معنی‌داری



شکل ۴. تأثیر تزریق داخل صفاتی غلظت‌های مختلف از فیوژن پروتئین DT386-BR2 بر روی میزان مصرف غذای موش‌ها. همان‌طور که در نمودار نیز مشهود است، با افزایش غلظت پروتئین تزریقی به موش‌های گروه مورد، میزان مصرف غذا نسبت به گروه شاهد کاهش یافت. این در حالی است که میزان مصرف غذا در موش‌های یک گروه در طول زمان و با افزایش دزهای تزریقی، تغییر معنی‌داری نداشت ($P > 0.05$). داده‌ها مربوط به بعد از اولین تزریق تا دو هفته بعد از پنجمین تزریق می‌باشد. داده‌ها مربوط به میانگین مصرف غذای سه موش در هر گروه است.

افزایشی از فیوژن پروتئین DT386-BR2 دریافت کرد بودند، حتی در غلاظت ۳۰۰ میکروگرم در روز کم معاادل ۱۰ میلی گرم/کیلوگرم/روز بود نیز تغییری از نظر دمای بدن، وزن بدن و میزان مرگ و میر نشان ندادند. باید توجه نمود که دز ۱۰ میلی گرم/کیلوگرم/روز، بسیار بالاتر از دز قابل تحمل از توکسین دیفتری طبیعی در موش‌ها می‌باشد که برابر ۱۰۰ میکروگرم/کیلوگرم است (۱۴).

همچنین، با توجه به این که دز کشنده توکسین دیفتری طبیعی در انسان ۱۰۰ نانوگرم بر کیلوگرم است، می‌توان این فیوژن پروتئین هدفمند شده را با توجه به اینمی بالای آن در مراحل بعدی مطالعات پیش‌بالینی در مدل‌های حیوانی زنوگرافت و اجد تومورهای انسانی مورد بررسی قرار داد تا از جهت ریشه‌کن سازی سلول‌های سرطانی بدون تأثیر سوء بر روی سلول‌های سالم ارزیابی گردد.

نتیجه‌گیری نهایی این که این‌موش‌توکسین DT386-BR2 که اثرات ضد تکثیری آن بر روی سلول‌های سرطانی به اثبات رسیده و قادر مسائل اینمی بر روی موش‌های سفید سالم حساس به این پروتئین است، می‌تواند برای مطالعات بیشتر پیش‌بالینی و بالینی به عنوان یک کاندیدای مناسب دارویی هدفمند ضد سرطان مورد استفاده قرار گیرد.

تشکر و قدردانی

این مقاله برگفته از پایان‌نامه‌ی دکتری عمومی داروسازی به شماره‌ی طرح تحقیقاتی ۱۹۳۰۳۸ می‌باشد در دانشکده‌ی داروسازی تصویب و با حمایت مالی معاونت پژوهش و فن‌آوری دانشگاه علوم پزشکی اصفهان انجام شده است. نویسنده‌گان مقاله بر خود لازم می‌دانند از زحمات سرکار خانم فاطمه مؤذن کارشناس آزمایشگاه گروه بیوتکنولوژی دارویی به خاطر همکاری فنی ایشان قدردانی کنند.

References

- Reiter Y. Recombinant immunotoxins in targeted cancer cell therapy. *Adv Cancer Res* 2001; 81: 93-124.
- Bustillo ME. A Modular Approach to the characterization of histone H2A-derived antimicrobial peptides [Thesis]. Wellesley, MA: Wellesley College; 2013.
- Pavia KE, Spinella SA, Elmore DE. Novel histone-derived antimicrobial peptides use different antimicrobial mechanisms. *Biochim Biophys Acta* 2012; 1818(3): 869-76.
- Lee HS, Park CB, Kim JM, Jang SA, Park IY, Kim MS, et al. Mechanism of anticancer activity of buforin IIb, a histone H2A-derived peptide. *Cancer Lett* 2008; 271(1): 47-55.
- Shapira A, Benhar I. Toxin-based therapeutic approaches. *Toxins (Basel)* 2010; 2(11): 2519-83.
- Lim KJ, Sung BH, Shin JR, Lee YW, Kim DJ, Yang KS, et al. A cancer specific cell-penetrating peptide, BR2, for the efficient delivery of an scFv into cancer cells. *PLoS One* 2013; 8(6): e66084.
- Shafiee F, Rabbani M, Jahanian-Najafabadi A. Production and evaluation of cytotoxic effects of DT386-BR2 fusion protein as a novel anti-cancer agent. *J Microbiol Methods* 2016; 130: 100-5.
- Savar NS, Jahanian-Najafabadi A, Mahdavi M, Shokrgozar MA, Jafari A, Bouzari S. In silico and in vivo studies of truncated forms of flagellin (FliC) of enteroaggregative *Escherichia coli* fused to FimH from uropathogenic *Escherichia coli* as a vaccine candidate against urinary tract infections. *J Biotechnol* 2014; 175: 31-7.
- Bradford MM. A rapid and sensitive method for the quantitation of microgram quantities of protein

بحث

هدف از انجام این مطالعه، ارزیابی سمیت غیر اختصاصی و اینمی فیوژن پروتئین DT386-BR2 به عنوان یک داروی شیمی‌درمانی بر روی موش‌های سالم بود که به صورت هدفمند باعث مرگ سلول‌های سرطانی می‌شود.

سلول‌های موشی در حالت طبیعی نسبت به توکسین دیفتری حتی در غلاظت‌های بالاتر از ۱۰۰ میکروگرم بر کیلوگرم مقاوم هستند که این به دلیل عدم حضور گیرنده‌های توکسین دیفتری بر روی سلول‌های موشی می‌باشد (۱۱)؛ به گونه‌ای که در مطالعه‌ای، موش‌های ترانس‌ژنیک که در آن‌ها توانایی تولید نوترکیب گیرنده‌ی توکسین دیفتری القا شده بود، نسبت به توکسین دیفتری حساسیت بالایی کسب کردند تا حدی که این موش‌ها، در مواجهه با توکسین دیفتری با غلاظت ۱۰۰ نانوگرم بر کیلوگرم، دچار مرگ شدند (۱۲-۱۳). در حالی که این دز، با دز حساس برای انسان و سایر موجودات حساس به توکسین دیفتری، برابر است.

موش‌های ترانس‌ژنیک که به این صورت تولید شدند، بعداً به عنوان مدلی برای مطالعه‌ی جنبه‌های مختلف توکسین دیفتری مورد استفاده قرار گرفتند (۱۲)، اما در مطالعه‌ی حاضر با توجه به این که نفوذ فیوژن پروتئین DT386-BR2 به داخل سلول‌های سرطانی به حضور BR2 در این پروتئین نسبت داده می‌شود، از موش‌های سالم به عنوان حیوان آزمایشگاهی مناسب جهت ارزیابی سمیت غیر اختصاصی فیوژن پروتئین ذکر شده استفاده گردید؛ چرا که انتظار می‌رود این فیوژن پروتئین به داخل سلول‌های طبیعی قابلیت نفوذ نداشته باشد و ورود آن به صورت اختصاصی به داخل سلول‌های سرطانی و آن هم از طریق قسمت BR2 انجام شود.

نتایج مطالعه‌ی حاضر نشان داد که موش‌هایی که غلاظت‌های

- utilizing the principle of protein-dye binding. *Anal Biochem* 1976; 72: 248-54.
10. National Research Council. Guide for the care and use of laboratory animals. 7th ed. Washington, DC: The National Academies Press; 2010.
11. Cha JH, Brooke JS, Eidels L. Toxin binding site of the diphtheria toxin receptor: loss and gain of diphtheria toxin binding of monkey and mouse heparin-binding, epidermal growth factor-like growth factor precursors by reciprocal site-directed mutagenesis. *Mol Microbiol* 1998; 29(5): 1275-84.
12. Cha JH, Chang MY, Richardson JA, Eidels L. Transgenic mice expressing the diphtheria toxin receptor are sensitive to the toxin. *Mol Microbiol* 2003; 49(1): 235-40.
13. Saito M, Iwawaki T, Taya C, Yonekawa H, Noda M, Inui Y, et al. Diphtheria toxin receptor-mediated conditional and targeted cell ablation in transgenic mice. *Nat Biotechnol* 2001; 19(8): 746-50.
14. Holmes RK. Biology and molecular epidemiology of diphtheria toxin and the tox gene. *J Infect Dis* 2000; 181(Suppl 1): S156-S167.

In-vivo Evaluation of DT386-BR2, A Promising Anticancer Fusion Protein, in Mice Model

Fatemeh Shafiee¹, Razieh Enteshari², Mohammad Rabbani³, Ali Jahanian-Najafabadi⁴

Original Article

Abstract

Background: Cancer is one of the greatest health-related problems and due to increasing drug resistance and severe side effects of chemotherapeutic agents, production of targeted anticancer agents with lower side effects is under consideration. Previously, we produced a fusion protein consisted of catalytic and translocation domains of diphtheria toxin (DT386) fused to BR2, a cancer specific cell penetrating peptide. First steps of this study showed selective antiproliferative effects of DT386-BR2 on cancer cells but not on normal cell lines. The aim of the present study was evaluation of its in-vivo non-specific toxicity in healthy mice.

Methods: The fusion protein was produced and purified through recombinant DNA technology. Intraperitoneal injections with various concentrations of DT386-BR2 were done in healthy mice for five consecutive days and they observed for 14 days after the last injection inspecting their food consumption, body weight, body temperature, and finally being dead or alive. Negative controls were injected with normal saline solution.

Findings: There was not any significant effect on temperature, body weight, and viability of mice received various concentrations of DT386-BR2 ($P < 0.05$), and increasing the protein concentration did not show any adverse effects on mice.

Conclusion: DT386-BR2 can be used for further pre-clinical studies to determine its pharmacokinetics/pharmacodynamics profiles and evaluation of its anticancer efficacy in suitable xenograft animal models.

Keywords: Immunotoxins, Diphtheria toxin, Toxicity, Mice

Citation: Shafiee F, Enteshari R, Rabbani M, Jahanian-Najafabadi A. In-vivo Evaluation of DT386-BR2, A Promising Anticancer Fusion Protein, in Mice Model. J Isfahan Med Sch 2017; 35(433): 655-61.

1- Pharmaceutical Biotechnologist, Department of Pharmaceutical Biotechnology, School of Pharmacy and Pharmaceutical Sciences, Isfahan University of Medical Sciences, Isfahan, Iran

2- Student of Pharmacy, School of Pharmacy and Pharmaceutical Sciences, Isfahan University of Medical Sciences, Isfahan, Iran

3- Professor, Department of Pharmaceutical Biotechnology, School of Pharmacy and Pharmaceutical Sciences, Isfahan University of Medical Sciences, Isfahan, Iran

4- Assistant Professor, Department of Pharmaceutical Biotechnology AND Bioinformatics Research Center, School of Pharmacy and Pharmaceutical Sciences, Isfahan University of Medical Sciences, Isfahan, Iran

Corresponding Author: Ali Jahanian-Najafabadi, Email: jahanian@pharm.mui.ac.ir

مقایسه‌ی دو روش جراحی پلاک لاکینگ ولار و پین‌گذاری از راه پوست بدون استفاده از اکسترفال فیکساتور در درمان شکستگی خارج مفصلی و ناپایدار دیستال رادیوس (UDRF): مطالعه‌ی بالینی تصادفی و کنترل شده‌ی یک سوکور

محمد علی تحریریان^۱, سید حمید موسوی^۱, علی دهقان^۲, سجاد بدیعی^۳, علی عندیلیب^۱

مقاله پژوهشی

چکیده

مقدمه: یکی از شکستگی‌های شایع، شکستگی دیستال رادیوس می‌باشد و درمان‌های مختلفی برای آن پیشنهاد شده است. هدف از انجام مطالعه‌ی حاضر، مقایسه‌ی جالندازی باز و فیکساسیون داخلی (ORIF) با استفاده از یک پلاک لاکینگ ولار در مقایسه با پین‌گذاری از راه پوست و گچ‌گیری زیرآرنج در بیماران کمتر از ۶۰ سال با تراکم استخوان خوب که شکستگی دیستال رادیوس ناپایدار (UDRF) خارج مفصلی داشتند، بود.

روش‌ها: این مطالعه از نوع کارآزمایی بالینی یک سوکور بود. ۸۸ بیمار در طیف سنی ۱۸ تا ۶۰ سال، با شکستگی بسته و خارج مفصلی UDRF مورد بررسی قرار گرفتند. میزان درد [با استفاده از مقیاس آنالوگ دیداری (VAS یا Visual analog scale)] و نتایج عملکردی دو روش پین‌گذاری از راه پوست و پلاک‌گذاری، ۳ و ۱۲ ماه پس از عمل جراحی مقایسه گردید.

یافته‌ها: شدت درد ۳ و ۱۲ ماه پس از درمان در گروه پین‌گذاری بیشتر بود (به ترتیب $P = 0.001$ و $P = 0.001$). دامنه‌ی حرکات مفصل در گروه پلاک‌گذاری به طور قابل توجهی بهتر بود ($P < 0.001$). تفاوت معنی داری در توانایی انجام فعالیت‌های روزانه ۳ ماه پس از درمان بین دو گروه وجود داشت، اما محدودیت قابل توجهی در فعالیت‌های روزانه، ۱۲ ماه بعد از عمل جراحی در گروه پین‌گذاری مشاهده شد ($P = 0.004$).

نتیجه‌گیری: ثابت کردن شکستگی با پلاک را می‌توان روش مناسبتری برای درمان شکستگی دیستال رادیوس ناپایدار خارج مفصلی در مقایسه با پین‌گذاری از راه پوست از نظر میزان درد پس از عمل، دامنه‌ی حرکات مفصلی و عملکرد در بیماران کمتر از ۶۰ سال دانست.

وازگان کلیدی: تثبیت شکستگی، شکستگی رادیوس، روش‌های جراحی

ارجاع: تحریریان محمد علی، موسوی سید حمید، دهقان علی، بدیعی سجاد، عندیلیب علی. مقایسه‌ی دو روش جراحی پلاک لاکینگ ولار و پین‌گذاری از راه پوست بدون استفاده از اکسترفال فیکساتور در درمان شکستگی خارج مفصلی و ناپایدار دیستال رادیوس (UDRF): مطالعه‌ی بالینی تصادفی و کنترل شده‌ی یک سوکور. مجله دانشکده پزشکی اصفهان ۱۳۹۶؛ ۳۵ (۴۳۳): ۶۷۰-۶۶۲.

مج دست ناشی می‌شوند، درمان آن‌ها می‌تواند چالشی برای جراحان ارتوپدی باشد (۴-۵).

جراحان ممکن است ترجیح دهند تنها از یک روش خاص برای درمان شکستگی‌های دیستال رادیوس ناپایدار (UDRFs یا Unstable distal radius fractures) روش بسته و بی‌حرکتی با گچ، به عنوان یک درمان غیر جراحی نیز

مقدمه

یکی از شایع‌ترین انواع شکستگی‌ها در کلینیک‌های ارتوپدی، شکستگی دیستال رادیوس می‌باشد (۱). این نوع شکستگی در افراد جوان تر اغلب بعد از ترومای مازور رخ می‌دهد؛ در حالی که در افراد مسن بیشتر به دنبال جراحات جزیی مشاهده می‌شود (۲-۳). از آنجایی که این شکستگی‌ها از تنوع گستره‌ای از الگوهای آسیب در

- ۱- استادیار، گروه ارتوپدی، دانشکده‌ی پزشکی، دانشگاه علوم پزشکی اصفهان، اصفهان، ایران
- ۲- دستیار، گروه ارتوپدی، دانشکده‌ی پزشکی، دانشگاه علوم پزشکی اصفهان، اصفهان، ایران
- ۳- دانشجوی پزشکی، کمیته‌ی تحقیقات دانشجویی، دانشکده‌ی پزشکی، دانشگاه علوم پزشکی اصفهان، اصفهان، ایران

Email: ali_andalib@yahoo.com

نویسنده‌ی مسؤول: علی عندیلیب

انگولاسیون اولیه‌ی بیشتر از ۲۰ درجه، کوتاهی بیشتر از ۵ میلی‌متر، خردش‌دگی قابل توجه کورتکس خلفی دیستال رادیوس، عدم موفقتی در جالندازی بسته و بی حرکتی بود (۱۱-۱۲). بیماران به صورت تصادفی به دو گروه تقسیم شدند؛ گروه پین‌گذاری که برای آن‌ها جالندازی بسته و ثبیت با پین از راه پوست انجام شد و گروه پلاک‌گذاری که برای آن‌ها درمان اصلی ORIF با پلاک لاکینگ ولار انجام گرفت.

بیماران دارای UDRF بسته و ایزوله طی ۴۸ ساعت پس از آسیب دیدگی، بدون دخالت مفصلی به مطالعه وارد شدند. معیارهای خروج از مطالعه شامل شکستگی دیستال رادیوس باز، شکستگی داخل مفصلی (AO نوع B)، شکستگی‌های متعدد همزمان و صدمات، سابقه‌ی شکستگی قدیمی دیستال رادیوس، سابقه‌ی ابتلاء به بیماری‌های عصبی، آرتریت روماتوئید، بیماری استخوانی مانند پوکی استخوان، بیماری‌های متابولیک استخوان مانند نرمی استخوان و بیماری‌های بافت همبند هم‌زمان که در روند بهبودی مشکل ایجاد کند، بود. رادیوگرافی با نمای‌های قدامی-خلفی و جانبی از تمام بیماران گرفته شد و توسط یک رادیولوژیست مورد بررسی قرار گرفت. پوکی استخوان در بیماران مبتلا به مصرف مزمن کورتیکواستروئیدها، داروهای ضد تشنج، مهار کننده‌های پمپ پروتون (PPIs یا Proton-pump inhibitors)، مهار کننده‌های باز جذب (SSRIs یا Selective serotonin reuptake inhibitors) مدروكسی پروژسترون استات (Medroxyprogesterone acetate)، هپارین و آگونیست‌های GnRH (بررسی گردید (۱۳-۱۴)). جهت اندازه‌گیری توده‌ی استخوان، از جذب دوگانه‌ی انرژی اشعه‌ی X (DXA یا Dual-energy X-ray absorptiometry) یا غربالگری پوکی استخوان در افراد با خطر بالا استفاده شد. تراکم موادمعدنی استخوان با نمره‌ی T بیان گردید و نمره‌ی -۲/۵- که عنوان پوکی استخوان در نظر گرفته شد (۱۳-۱۴).

در شروع پژوهش، رضایت‌نامه‌ی کتبی آگاهانه از تمام بیماران اخذ گردید. پروتکل مطالعه توسط کمیته‌ی اخلاق و هیأت پژوهشی دانشگاه علوم پزشکی اصفهان تصویب شد (شماره‌ی ثبت در مرکز ثبت کارآزمایی‌های بالینی ایران: IRCT12782N10).

همه‌ی جراحی‌ها توسط سه جراح مدرس (سه نویسنده اول) و تحت بیهوشی عمومی صورت گرفت. یک گرم سفازولین (شرکت داروسازی اکسیر، بروجرد، ایران) ۳۰ دقیقه قبل از عمل جراحی به صورت وریدی به بیماران تزریق گردید. پس از آماده‌سازی به صورت استریل (Sterile preparation and drape)، یکی از دو روش جراحی انجام شد که در ادامه به تفصیل آمده است.

روش جالندازی بسته و پین‌گذاری از راه پوست: در این روش،

ممکن است برای شکستگی‌ها استفاده شود. دو روش اصلی جراحی که غالب برای درمان UDRFs استفاده می‌شود، شامل روش بسته و پین‌گذاری از راه پوست با یا بدون اکسترنال فیکساטור (۶-۷) و جالندازی باز و فیکساسیون داخلی (Open reduction and internal fixation) یا ORIF (ORIF) با پلاک ولار یا دورسال (۸) می‌باشد.

ویژگی بیومکانیکی پلاک لاکینگ ولار، منجر به ثبات قابل توجه بیشتری نسبت به پین‌گذاری از راه پوست در UDRFs می‌شود (۱)، اما ثابت کردن شکستگی با پلاک لاکینگ ولار می‌تواند با برخی عوارض مانند پارگی‌های تاندونی، مشکلات مربوط به جنس پلاک، عفونت، جابه‌جایی شکستگی، ستلدرم درد منطقه‌ای پیچیده (CRPS یا Complex regional pain syndrome) و اختلالات عصبی همراه باشد (۴). از سوی دیگر، پین‌گذاری از راه پوست ممکن است عوارض مانند شل شدگی پین، عفونت اطراف پین، بد جوش خوردن (Malunion)، سفتی مفاصل مچ دست، کاهش قدرت گرفتن دست و آسیب به عصب رادیال سطحی را به دنبال داشته باشد (۹). پین‌گذاری از راه پوست و گچ‌گیری مچ دست در موقعیت خنثی (Neutral position)، روش ساده و مؤثری برای حفظ محور آنatomیک استخوان پس از جالندازی UDRFs است که می‌تواند از سفتی مچ دست جلوگیری کند (۱۰).

بر اساس بررسی‌های صورت گرفته، هیچ کارآزمایی بالینی تصادفی برای مقایسه‌ی پین‌گذاری از راه پوست و گچ‌گیری با فیکساسیون با پلاک لاکینگ ولار بدون گچ‌گیری، در درمان خارج مفصلی انجام نشده است. با این حال، برخی از مطالعات پیامد بهتر و عوارض کمتری را به دنبال استفاده از پلاک لاکینگ ولار در مقایسه با استفاده‌ی هم‌زمان پین‌گذاری از راه پوست و اکسترنال فیکساتور در درمان UDRFs داخل مفصلی گزارش کرده‌اند (۱۰، ۵). هدف اصلی از انجام مطالعه‌ی حاضر، مقایسه‌ی ORIF با استفاده از یک پلاک لاکینگ ولار با سه پین از راه پوست و گچ‌گیری زیر آرنج، در بیماران دارای تراکم استخوان خوب که UDRF خارج مفصلی داشتند، بود.

روش‌ها

این مطالعه‌ی درمانی از نوع کارآزمایی بالینی یک سوکور، تصادفی و کترول شده بود. در مجموع، ۸۸ بیمار با طیف سنی ۱۸ تا ۶۰ سال در تحقیق شرکت نمودند. بیماران واجد شرایط، افرادی با UDRF بسته و خارج مفصلی بودند که برای درمان جراحی ارجاع شده بودند. مطالعه در یک بیمارستان آموزشی با سطح ارجاع سه، بین بهمن سال ۱۳۹۲ تا بهمن سال ۱۳۹۳ انجام شد. معیار ورود به پژوهش شامل بی‌ثباتی شکستگی بر اساس متغیرهای رادیولوژیک از جمله دورسال

حرکت مفصل مج، بیماران به چهار گروه تقسیم‌بندی شدند.

گروه ۱ (نتیجه‌ی عالی): حرکت طبیعی و محدودیت حرکت کمتر از ۱۰ درجه، کوتاهی رادیوس کمتر از ۵ میلی‌متر و بدون درد

گروه ۲ (نتیجه‌ی خوب): محدودیت حرکت کمتر از ۲۰ درجه، کوتاهی رادیوس کمتر از ۱۰ میلی‌متر و بدون درد

گروه ۳ (نتیجه‌ی به نسبت خوب): محدودیت حرکت ۲۰ تا ۳۰ درجه، کوتاهی رادیوس در حدود ۱۰ میلی‌متر و درد به دنبال فعالیت

گروه ۴ (نتیجه‌ی بد): محدودیت حرکت بیشتر از ۳۰ درجه، کوتاهی رادیوس بیشتر از یک سانتی‌متر و دردناک

پیامد اولیه‌ی مطالعه‌ی حاضر، بررسی دامنه‌ی حرکت مفصل مج دست بعد از عمل جراحی بود که توسط یکی از محققان، ۳ و ۱۲ ماه بعد از عمل جراحی مورد بررسی قرار گرفت. پیامدهای ثانویه شامل شاخص‌های رادیولوژیک و سایر معیارهای عملکردی از جمله شدت درد و توانایی در فعالیت‌های روزانه ۳ و ۱۲ ماه بعد از عمل بود.

با توجه به مطالعات مشابه و محاسبات آماری (۵-۹، ۱۶)، حجم نمونه با استفاده از فرمول‌های آماری و با توجه به $\alpha = 0.05$ و $\beta = 0.2$ و انتظار حداقل ۵ درجه تفاوت در دامنه‌ی حرکت بین دو گروه، محاسبه شد. با این ورودی، حجم نمونه ۴۴ نفر در هر گروه برآورد گردید.

بیماران واجد شرایط به شیوه‌ی نمونه‌گیری تصادفی مسدود شده از شروع مطالعه، به هر یک از افراد گروه‌ها (پین‌گذاری و پلاک‌گذاری) عددی از ۱ تا ۸۸ به صورت تصادفی اختصاص داده شد. بدین ترتیب که توسط یکی از همکاران مطالعه (که در جراحی‌ها و یا مراقبت از بیمار در گیر نمی‌شد)، به بیماران به ترتیب پذیرش به بخش جراحی ارتقیابی، یک عدد داده شد (از ۱ تا ۸۸).

هیچ بیماری از هدف مطالعه آگاهی نداشت؛ در حالی که جراحان آگاه بودند، اما هیچ اثر مخدوش کننده‌ای در نتایج نداشت.

متغیرهای کیفی با استفاده از آزمون t مقایسه شدند. متغیرهای کمی با استفاده از آزمون Paired t میزانهای کمی توزیع نرمال داشتند و به صورت میانگین \pm انحراف معیار ارایه گردید. در نهایت، داده‌ها در نرم‌افزار SPSS نسخه ۲۰ (IBM Corporation, Armonk, NY) تحلیل قرار گرفت. $P < 0.05$ به عنوان سطح معنی‌داری داده‌ها در نظر گرفته شد.

یافته‌ها

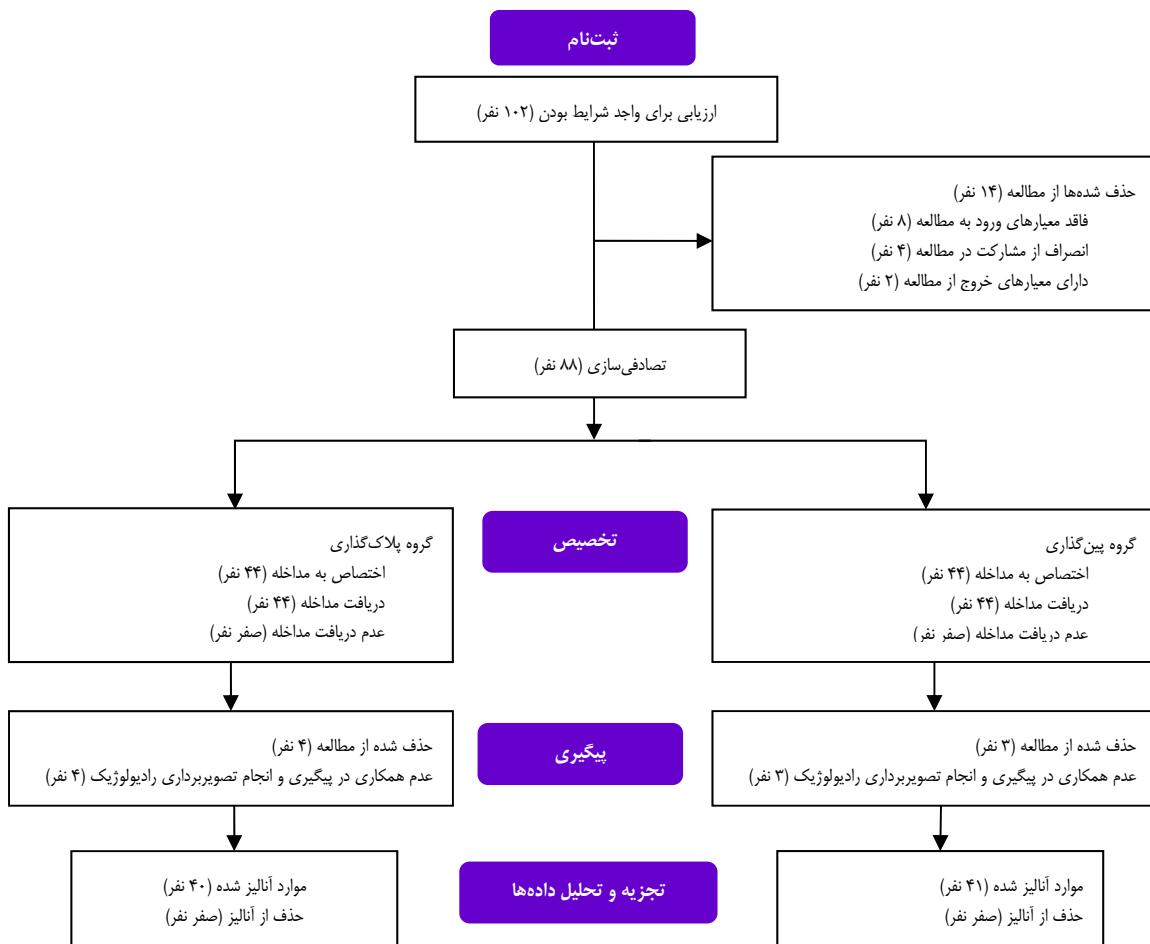
در مطالعه‌ی حاضر، ۱۰۲ بیمار با UDRF جهت مطابقت با معیارهای ورود به پژوهش مورد بررسی قرار گرفتند. از میان آن‌ها، ۸۸ نفر واجد شرایط بودند و انتخاب شدند.

انگشت‌های شست و اشاره در گیره‌ی انگشت (Finger traps) قرار داده شد. برای تثبیت، دو پین صاف ۱/۶ میلی‌متری از طریق زایده‌ی استیلوئید، داخل استخوان رادیوس قرار گرفت. پین دیگر از سطح پشتی در سمت اولnar استخوان رادیوس و تحت کترل فلوروسکوپی، وارد استخوان گردید. سپس اندام از زیر آرنج به مدت ۶ هفته با گچ ثابت شد. پس از آن، گچ و پین برداشته شد و فیزیوتراپی برای تمام بیماران انجام گرفت.

ORIF با پلاک لاکینگ ولار: در این روش، برش طولی بین عضله‌ی براکیورادیالیس همراه با شریان رادیال در سمت لترال و عضله‌ی فلکسور کارپی رادیالیس همراه با عصب مدیان در سمت ميديال انجام شد. پس از جاندزاژی، پلاک T شکل (اسوهی آسیا، مشهد، ایران) به طور مستقیم بر روی دیستال استخوان رادیوس قرار گرفت. موقعیت پلاک و عدم آسیب به مفصل رادیوکارپال با استفاده از C-arm تأیید گردید. به منظور اجتناب از محدودیت در حرکت، فیزیوتراپی پس از هفته‌ی اول انجام گرفت.

دو گروه برای ارزیابی پاسخ به درمان، ۳ و ۱۲ ماه بعد از عمل جراحی مورد بررسی قرار گرفتند. در هر معاینه، اطلاعات در مورد توانایی انجام فعالیت‌های روزانه، توانایی مچ دست و دامنه‌ی حرکت ثبت گردید. شدت درد در هر دیدار با استفاده از نمره‌ی درد بر اساس Visual analog scale (VAS) با نمره‌گذاری از ۱ تا ۱۰، اندازه‌گیری شد (۶). فعالیت‌های روزانه در سه درجه‌ی «کاملاً مانند قبل، نسبتاً مانند قبل و کاهش یافته» طبقه‌بندی گردید. معیارهای رادیولوژیک پذیرفته شده برای ارزیابی تغییرات دژنراتیو در ارزیابی مانند کاهش فضای مفصلی، استئوفیت (خار استخوانی)، اسکلرولز سابکندرال، کیست اسکلرولز سابکندرال و اجسام شل (Loose body) نیز توسط همکاران متخصص رادیولوژیست ثبت گردید.

برای ارزیابی کمی پاسخ به درمان و عملکرد بیماران، سیستم نمره‌دهی Mayo score (Mayo score) هر بار مورد استفاده قرار گرفت (۳، ۱۵). در این سیستم، میزان درد، دامنه‌ی حرکت نسبت به سمت سالم، وضعیت عملکردی، انحراف مچ دست و قدرت مشت کردن دست با استفاده از دینامومتر توسط یک فیزیوتراپیست بررسی گردید. بدین ترتیب، نمرات بیماران به صورت ۹۰-۱۰۰ عالی، ۹۰-۸۰ خوب، ۷۰-۸۰ رضایت‌بخش و کمتر از ۷۰ ضعیف طبقه‌بندی شد (۱۵). علاوه بر این، عوارضی مانند عفونت سطحی، عفونت مسیر پین، اختلال حسی و حرکتی در اعصاب، سفتی و محدودیت حرکت در مفاصل مچ دست، عدم ترمیم استخوان، پارگی تاندون باز کننده‌ی بلند انگشت شست و جابه‌جایی بخش‌های شکسته‌ی استخوان، در پرسشنامه‌ی هر بیمار ثبت گردید. با توجه به دامنه‌ی



شكل ١. مراحل انجام مطالعه

بین دو گروه وجود نداشت ($P = 0.530$). ۲۶ زن در گروه پلاک گذاری و ۲۳ زن در گروه پین گذاری ($P = 0.561$) درصد شرکت کردند که تفاوت معنی داری بین گروه ها مشاهده نشد ($P = 0.500$).

توزیع عالیم بیماران ۳ و ۱۲ ماه بعد از عمل جراحی به طور
جداگانه برای هر دو گروه در جدول ۱ ارایه شده است.

در طول دوره مطالعه، ۷ بیمار به دلیل عدم همکاری برای پیگیری و تصویربرداری رادیولوژی (۴ نفر از گروه پلاک گذاری و سه نفر از گروه پین گذاری) از مطالعه حذف شدند. در شکل ۱ نحوه دود بیماران به مطالعه نشان داده شده است.

میانگین سنی گروههای پلاک گذاری و پین گذاری به ترتیب 52 ± 5.6 و 46.6 ± 5.0 سال بود و تفاوت معنی داری $18/22$

جدول ۱. توزیع عالیم کلینیکی ۳ و ۱۲ ماه پس از عمل جراحی در دو گروه

۱۲ ماه بعد از عمل جراحی						۳ ماه بعد از عمل جراحی						متغیرها
P	گروه بین گذاری	گروه پلاک گذاری	P	گروه بین گذاری	گروه پلاک گذاری							
۰/۰۴۰	۱/۲±۱/۲	۱/۳±۰/۹	۰/۰۰۱	۲/۶±۱/۰	۲/۷±۱/۳	شدت درد (بر اساس معیار VAS) (میانگین ± انحراف معیار)						
<۰/۰۰۱	۵۰/۰±۹/۳	۵۶/۰±۷/۰	<۰/۰۰۱	۴۵/۰±۹/۱	۵۳/۰±۶/۰	اکستشن مچ دست (درجه) (میانگین ± انحراف معیار)						
<۰/۰۰۱	۵۸/۰±۹/۸	۶۵/۰±۵/۶	<۰/۰۰۱	۵۳/۰±۱۳/۰	۶۳/۰±۶/۰	فلکشن مچ دست (درجه) (میانگین ± انحراف معیار)						
	۵ (۱۲)	۱۸ (۴۵)		۱۴ (۳۴)	۱۶ (۴۰)	کاملاً مطابق با قبل از شکستگی	توانایی انجام					
۰/۰۰۴	۲۶ (۶۴)	۱۷ (۴۳)	۰/۰۲۰	۱۴ (۳۴)	۱۸ (۴۵)	تا حدودی مطابق با قبل از شکستگی	فعالیت‌های روزانه					
	۱۰ (۲۴)	۵ (۱۲)		۱۳ (۳۲)	۶ (۱۵)	کاهش یافته	[تعداد (درصد)]					

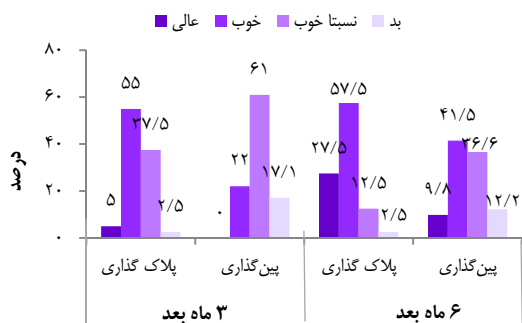
VAS: Visual analog scale

جدول ۲. متغیرهای رادیولوژیک ۳ و ۱۲ ماه پس از عمل جراحی در دو گروه

متغیرها	۱۲ ماه بعد از عمل جراحی						۳ ماه بعد از عمل جراحی					
	P	گروه پلاک‌گذاری	گروه پین‌گذاری	P	گروه پلاک‌گذاری	گروه پین‌گذاری	P	گروه پلاک‌گذاری	گروه پین‌گذاری	P	گروه پلاک‌گذاری	گروه پین‌گذاری
زاویه‌ی ولار (میانگین \pm انحراف معیار)	< ۰/۰۰۱	۶/۴ \pm ۵/۱	۳/۶ \pm ۲/۶	< ۰/۰۰۱	۲/۳ \pm ۰/۶	۵/۷ \pm ۴/۷						
کوتاهی رادیال (میانگین \pm انحراف معیار)	۰/۰۰۲	۳/۲ \pm ۲/۴	۵/۰ \pm ۲/۸	۰/۰۰۱	۵/۸ \pm ۲/۴	۴/۰ \pm ۲/۵						
واریانس اولنار (میانگین \pm انحراف معیار)	۰/۴۸۰	۲/۳ \pm ۱/۴	۲/۶ \pm ۱/۹	۰/۱۶۰	۳/۷ \pm ۱/۸	۳/۲ \pm ۱/۷						
انحراف به سمت رادیال (میانگین \pm انحراف معیار)	< ۰/۰۰۱	۱۲/۰ \pm ۴/۱	۸/۰ \pm ۳/۶	۰/۰۰۱	۷/۴ \pm ۳/۱	۹/۹ \pm ۳/۶						
تغییرات دُنراتیو [تعداد (درصد)]	۰/۷۲۰	بله	۳۷ (۹۳)	۰/۳۱۰	۳۳ (۸۳)	۳۷ (۹۰)						
		خیر	۳ (۷)		۷ (۱۷)	۴ (۱۰)						

همچنین، آسیب شاخه‌ی سطحی عصب رادیال در ۱ بیمار گروه پین‌گذاری مشاهده شد که خود به خود در پیگیری بهبود یافت.

شدت درد ۳ و ۱۲ ماه پس از درمان در گروه پین‌گذاری بیشتر بود (به ترتیب $P = ۰/۰۰۱$ و $P = ۰/۳۹۰$). دامنه‌ی فلکشن و اکستنشن مفصل در گروه پلاک‌گذاری به طور قابل توجهی بهتر بود ($P < ۰/۰۰۱$).



شکل ۲. مقایسه‌ی توزیع فراوانی بهبود علایم ۳ و ۱۲ ماه پس از عمل جراحی در دو گروه

بحث

در کارآزمایی تصادفی کترسل شده‌ی حاضر، نتایج عملکردی و رادیولوژیک حاصل از پین‌گذاری با سه پین از راه پوست و گچ‌گیری بعد از عمل با جراحی به کمک پلاک لاکینگ ولار بدون گچ‌گیری در درمان UDRF بسته و خارج مفصلی مورد مقایسه و بررسی قرار گرفت. یافته‌ی اصلی مطالعه‌ی حاضر نشان داد که کاربرد پلاک لاکینگ ولار برای درمان UDRF بسته و خارج مفصلی به وضوح بهتر بود.

پلاک لاکینگ ولار به عنوان یک روش خوب برای ثابت کردن از طریق جراحی در UDRF استفاده می‌شود. علاوه بر این، ثابت کردن شکستگی با پین‌گذاری از راه پوست اغلب در بسیاری از مراکز درمانی استفاده می‌شود (۵). انتخاب یکی از این دو روش جراحی، از جمله موضوعات مهم در عملکرد بالینی می‌باشد. اکسترنال فیکساتور نقش مهمی در درمان UDRF دارد (۵). همچنین، به ثبات شکستگی کمک می‌نماید (۱۷) و از خط تراز

بررسی توانایی انجام فعالیت‌های روزانه ۳ ماه پس از درمان، تفاوت معنی‌داری را بین دو گروه نشان نداد. کاهش فعالیت‌های روزانه در ۱۵/۰ درصد بیماران گروه پلاک‌گذاری و ۳۱/۷ درصد بیماران گروه پین‌گذاری مشاهده شد ($P = ۰/۲۳۰$). با این حال، محدودیت در انجام فعالیت‌های روزانه، ۱۲ ماه بعد از عمل در گروه پین‌گذاری به طور قابل توجهی بیشتر بود ($P = ۰/۰۰۴$). تفاوت معنی‌داری از نظر تغییرات رادیولوژیک دُنراتیو ۳ ماه ($P = ۰/۰۷۰$) و ۱۲ ماه ($P = ۰/۳۱۰$) بعد از عمل جراحی بین دو گروه وجود نداشت. از شاخص Mayo جهت اندازه‌گیری کیفیت زندگی در بیماران استفاده شد. میانگین نمرات در گروه پلاک‌گذاری و پین‌گذاری به ترتیب $۰/۰۰۱$ و $۰/۰۷۰$ بود ($P < ۰/۰۰۱$).

متغیرهای رادیولوژیک در جدول ۲ ارایه شده است.

تفاوت معنی‌داری بین میانگین نمرات تمام متغیرهای رادیولوژیک در دو گروه مشاهده شد. مقادیر تیلت در سطح ولار (Volar tilt) در گروه پلاک‌گذاری به طور قابل توجهی بیشتر از گروه پین‌گذاری در ۳ و ۱۲ ماه بعد از عمل بود ($P < ۰/۰۰۱$). برای هر دو بار پیگیری (براساس یافته‌ها، وضعیت بهبودی در ۲ نفر (۵ درصد) از گروه پلاک‌گذاری عالی بود. همچنین، وضعیت بهبودی در ۲۲ بیمار (۹ درصد) تحت پلاک‌گذاری و ۹ بیمار (۴ درصد) تحت پین‌گذاری خوب گزارش گردید. وضعیت بهبودی در گروه پلاک‌گذاری نسبت به گروه پین‌گذاری بهتر بود ($P < ۰/۰۰۱$). برای دو بار پیگیری ۳ و ۱۲ ماهه (شکل ۲).

اعونت سطحی در ۲ بیمار گروه پلاک‌گذاری و ۱ بیمار گروه پین‌گذاری مشاهده گردید که با آنتی‌بیوتیک خوارکی (سفالکسین) با دوز ۲ گرم در روز به مدت ۱۰ روز) در هر دو گروه درمان شد.

نتایج تحقیق Dario و همکاران حاکی از آن بود که استفاده از پلاک لاکینگ ولار، موجب بهبود کامل دامنه‌ی حرکت در بیماران مبتلا به UDRF یک‌طرفه، بسته و خارج مفصلی می‌شود (۲۳). در مطالعه‌ی حاضر، دامنه‌ی حرکت ارزیابی شد و نشان داد که دامنه‌ی فلکشن و اکستنشن برای مج دست بعد از تعییه‌ی پلاک لاکینگ ولار به طور قابل ملاحظه‌ای بهتر بود. همچنین، انحراف مج دست ارزیابی Mayo گردید، اما ابداکشن و اکستنشن در سیستم نمره‌دهی Mayo اندازه‌گیری نشد.

عملکرد مناسب مج دست، فعالیت مج دست، بهبود قابل قبول از راستای رادیوگرافی و عوارض، عوامل مهمی جهت انتخاب یک روش جراحی برای درمان UDRF می‌باشند (۲۲). سیستم نمره‌دهی Mayo، ابزار مهمی برای ارزیابی نتیجه‌ی عملکرد مفصل است. قدرت گرفتن، مسؤول ۲۵ درصد از نمره‌ی کل در نمرات مج دست Mayo و یک پیش‌بینی کننده‌ی غالب در نتیجه‌ی عملکرد مفصل به شمار می‌رود (۱۵). رابطه‌ی مستقیمه بین نتایج نهایی و جاندازی آناتومیک اندازه‌گیری شده با استفاده از شاخص‌های رادیوگرافی وجود دارد (۲۴). عدم ریداکشن آناتومیک، منجر به تغییر شکل، ضعف و درد در مج دست می‌شود (۲۵)؛ در حالی که پلاک لاکینگ ولار قدرت و ثبات ساختار را فراهم و بهبود زودتر حرکت مج دست کمک می‌کند (۲۶). بیشتر مطالعات قبلی از واریانس اولنار، شب رادیوس (Radial inclination)، جابه‌جایی داخل مفصلی (Step) و شکاف داخل مفصلی (Gap) به عنوان شاخص‌های رادیوگرافی یاد کرده‌اند (۹). رابطه‌ی بین این ترمیم رادیوگرافی و بهبود دامنه‌ی حرکت، مطلب مهمی در مطالعات پیشین است (۲۷، ۲۲، ۵). در میان شاخص‌های رادیوگرافی، بازگرداندن واریانس اولنار و تیلت ولار (Ulnar variance and volar tilt) برای به دست آوردن نتیجه‌ی عملکردی خوب در UDRF ضروری است (۲۳). واریانس اولنار و تیلت ولار به طور قابل توجهی پس از تعییه‌ی پلاک لاکینگ ولار برای درمان شکستگی خارج مفصلی و داخل مفصلی دیستال رادیوس اصلاح شد. با این وجود، نتایج برخی مطالعات نشان می‌دهد که بازگشت به فعالیت مج دست به دنبال جاندازی بسته و تثبیت با پین بیشتر است (۲۳). در پژوهش حاضر، مقایسه‌ی واریانس اولنار نشان داد که استفاده از روش تثبیت شکستگی با پلاک لاکینگ ولار نسبت به پین‌گذاری از راه پوست ارجحیت ندارد. در کل، به نظر می‌رسد نتایج عملکردی و شاخص‌های رادیوگرافی در هر دو روش قابل قبول است.

مطالعات مختلف عوارض پس از درمان‌های جراحی این دو روش را ارزیابی کرده‌اند. اغلب مطالعات قبلی، میزان پایین‌تر عوارض در روش پلاک لاکینگ ولار را گزارش نمودند. شایع ترین عارضه، درد پس از عمل است که در برخی از مطالعات در روش پلاک

استخوان رادیوس حمایت می‌کند، اما استفاده از آن می‌تواند با عوارض جزئی همراه باشد که این عوارض در برخی مطالعات قبلی تعیین شده‌اند و از آن جمله می‌توان به جابه‌جایی، غفونت سیستم پین‌گذاری و نوروپاتی عصب مدیان و رادیال اشاره نمود (۱۸-۱۹). نتایج تحقیقی نشان داد که جاندازی به روش بسته و گچ‌گیری بدون پین‌گذاری از راه پوست، نتیجه‌ی مرضی رضایت‌بخشی در هم تراز کردن طول استخوان رادیوس نداشته است (۲۰). Das و همکاران در مطالعه‌ی خود، استفاده از پین‌گذاری از راه پوست و بی‌حرکتی از طریق گچ‌گیری را در ۳۲ بیمار طیف سنی ۱۸ تا ۷۰ سال با شکستگی دیستال رادیوس خارج مفصلی بررسی نمودند. نتایج تحقیق آنان نشان داد که در ۶۵/۶ درصد بیماران، شکستگی با بازسازی خیلی خوب ساختار آناتومی بهمود پیدا کرد (۱۰). بنابراین، در کاربرد اکسترنال فیکساتور و یا گچ‌گیری پس از پین‌گذاری از طریق پوست، اختلاف نظر وجود دارد (۷، ۵) که در پژوهش حاضر از روش گچ‌گیری استفاده گردید.

نتایج عملکرد مج دست، یکی از مهم‌ترین عوامل برای ارزیابی مزایای استفاده از یک روش جراحی است. دامنه‌ی حرکت در مفصل مج دست به طور معمول برای تعیین عملکرد مفاصل بعد از عمل جراحی استفاده می‌شود (۵، ۷، ۹). در دو کارآزمایی بالینی انجام شده‌ی قبلی، طیف وسیعی از حرکت و قدرت گرفتن دست مشاهده شد و تفاوت معنی‌داری بین استفاده از پلاک لاکینگ ولار در مقایسه با استفاده از پین‌گذاری از راه پوست و اکسترنال فیکساتور در درمان شکستگی داخل و خارج مفصلی دیستال رادیوس وجود داشت (۲۱-۲۲).

McFadyen و همکاران در یک کارآزمایی بالینی تصادفی، اثربخشی پلاک لاکینگ ولار را با تعییه‌ی سه پین از راه پوست در بیماران مبتلا به UDRF یک‌طرفه، بسته و خارج مفصلی مقایسه و بررسی نمودند. آن‌ها از گچ‌گیری زیر آرنج در دو روش به مدت ۶ هفته بعد از عمل جراحی استفاده کردند؛ در حالی که در مطالعه‌ی حاضر فقط در بیماران تحت پین‌گذاری از راه پوست، بی‌حرکتی با گچ‌گیری انجام شد. در واقع، آن‌ها اثرات مثبت اکسترنال فیکساتور و گچ‌گیری را حذف کردند. همچنین، McFadyen و همکاران از دو نوع پلاک استفاده کردند؛ در حالی که در بررسی حاضر فقط از یک نوع پلاک استفاده شد. آن‌ها بیماران را در طول ۶ ماه بعد از عمل پیگیری نمودند و برای بررسی نتایج عملکردی، از نمرات Gartland Disabilities of the Arm, Shoulder and Hand و Werley و DASH (استفاده کردند که عملکرد مج دست در گروه پلاک‌گذاری نسبت به گروه پین‌گذاری، ۳ و ۶ ماه پس از عمل جراحی به طور قابل توجهی بهتر بود. نتایج مطالعه‌ی آن‌ها نشان داد که جاندازی فوری بعد از عمل تعییه‌ی پین نسبت به پلاک‌گذاری بهتر بود (۹).

تشکر و قدردانی

مطالعه‌ی حاضر با شماره‌ی طرح ۳۹۳۷۵۷، در کمیته‌ی اخلاق و هیأت پژوهشی دانشگاه علوم پزشکی اصفهان به تصویب رسید. بدین وسیله نویسنده‌گان از کلیه‌ی پرستاران و کارکنان اتاق عمل بیمارستان آیت‌الله کاشانی که در اجرای این پروژه همکاری نمودند، تقدیر و تشکر به عمل می‌آورند.

لاکینگ ولار کمتر مشاهده شد (۴، ۵، ۹). در مطالعه‌ی حاضر بروز عوارض در دو گروه تفاوت معنی‌داری نداشت. بر اساس پیگیری‌های ۳ و ۱۲ ماهه پس از عمل جراحی، نویسنده‌گان مطالعه معتقد هستند که روش ORIF از جمله پلاک UDRF لار، روش مناسبی در بیماران کمتر از ۶۰ سال با است. اگرچه نتایج حاصل از پین‌گذاری نیز قابل قبول می‌باشد.

References

- Knox J, Ambrose H, McCallister W, Trumble T. Percutaneous pins versus volar plates for unstable distal radius fractures: a biomechanic study using a cadaver model. *J Hand Surg Am* 2007; 32(6): 813-7.
- Lindau TR, Aspenberg P, Arner M, Redlund-Johnell I, Hagberg L. Fractures of the distal forearm in young adults. An epidemiologic description of 341 patients. *Acta Orthop Scand* 1999; 70(2): 124-8.
- Singer BR, McLauchlan GJ, Robinson CM, Christie J. Epidemiology of fractures in 15,000 adults: the influence of age and gender. *J Bone Joint Surg Br* 1998; 80(2): 243-8.
- Johnson NA, Cutler L, Dias JJ, Ullah AS, Wildin CJ, Bhowal B. Complications after volar locking plate fixation of distal radius fractures. *Injury* 2014; 45(3): 528-33.
- Rizzo M, Katt BA, Carothers JT. Comparison of locked volar plating versus pinning and external fixation in the treatment of unstable intraarticular distal radius fractures. *Hand (NY)* 2008; 3(2): 111-7.
- Fanuele J, Koval KJ, Lurie J, Zhou W, Tosteson A, Ring D. Distal radial fracture treatment: what you get may depend on your age and address. *J Bone Joint Surg Am* 2009; 91(6): 1313-9.
- Hutchinson DT, Strenz GO, Cautilli RA. Pins and plaster vs external fixation in the treatment of unstable distal radial fractures. A randomized prospective study. *J Hand Surg Br* 1995; 20(3): 365-72.
- Rozental TD, Beredjiklian PK, Bozentka DJ. Functional outcome and complications following two types of dorsal plating for unstable fractures of the distal part of the radius. *J Bone Joint Surg Am* 2003; 85-A(10): 1956-60.
- McFadyen I, Field J, McCann P, Ward J, Nicol S, Curwen C. Should unstable extra-articular distal radial fractures be treated with fixed-angle volar-locked plates or percutaneous Kirschner wires? A prospective randomised controlled trial. *Injury* 2011; 42(2): 162-6.
- Das AK, Sundaram N, Prasad TG, Thanhavelu SK. Percutaneous pinning for non-committed extra-articular fractures of distal radius. *Indian J Orthop* 2011; 45(5): 422-6.
- Tahirian MA, Javdan M, Nouraei MH, Dehghani M. Evaluation of instability factors in distal radius fractures. *J Res Med Sci* 2013; 18(10): 892-6.
- Weber ER. A rational approach for the recognition and treatment of Colles' fracture. *Hand Clin* 1987; 3(1): 13-21.
- Mirza F, Canalis E. Management of endocrine disease: Secondary osteoporosis: pathophysiology and management. *Eur J Endocrinol* 2015; 173(3): R131-R151.
- Crabtree NJ, Arabi A, Bachrach LK, Fewtrell M, El-Hajj FG, Kecskemethy HH, et al. Dual-energy X-ray absorptiometry interpretation and reporting in children and adolescents: the revised 2013 ISCD Pediatric Official Positions. *J Clin Densitom* 2014; 17(2): 225-42.
- Souer JS, Lozano-Calderon SA, Ring D. Predictors of wrist function and health status after operative treatment of fractures of the distal radius. *J Hand Surg Am* 2008; 33(2): 157-63.
- Rozental TD, Blazar PE. Functional outcome and complications after volar plating for dorsally displaced, unstable fractures of the distal radius. *J Hand Surg Am* 2006; 31(3): 359-65.
- Dicpinigaitis P, Wolinsky P, Hiebert R, Egol K, Koval K, Tejwani N. Can external fixation maintain reduction after distal radius fractures? *J Trauma* 2004; 57(4): 845-50.
- Strauss EJ, Banerjee D, Kummer FJ, Tejwani NC. Evaluation of a novel, nonspanning external fixator for treatment of unstable extra-articular fractures of the distal radius: biomechanical comparison with a volar locking plate. *J Trauma* 2008; 64(4): 975-81.
- Dienst M, Wozasek GE, Seligson D. Dynamic external fixation for distal radius fractures. *Clin Orthop Relat Res* 1997; (338): 160-71.
- Scaglione M, Fabbri L, Dell' Omo D, Goffi A, Guido G. The role of external fixation in the treatment of humeral shaft fractures: a retrospective case study review on 85 humeral fractures. *Injury* 2015; 46(2): 265-9.
- Grewal R, MacDermid JC, King GJ, Faber KJ. Open reduction internal fixation versus percutaneous pinning with external fixation of distal radius fractures: a prospective, randomized clinical trial. *J Hand Surg Am* 2011; 36(12): 1899-906.
- Karantana A, Downing ND, Forward DP, Hatton M, Taylor AM, Scammell BE, et al. Surgical treatment of distal radial fractures with a volar locking plate versus conventional percutaneous methods: a randomized controlled trial. *J Bone Joint Surg Am* 2013; 95(19): 1737-44.
- Dario P, Matteo G, Carolina C, Marco G, Cristina D, Daniele F, et al. Is it really necessary to restore radial anatomic parameters after distal radius fractures? *Injury* 2014; 45(Suppl 6): S21-S26.
- McQueen MM, Simpson D, Court-Brown CM. Use of the Hoffman 2 compact external fixator in the

- treatment of redisplaced unstable distal radial fractures. *J Orthop Trauma* 1999; 13(7): 501-5.
25. Franck WM, Dahlen C, Amlang M, Friese F, Zwipp H. Distal radius fracture--is non-bridging articular external fixator a therapeutic alternative? A prospective randomized study. *Unfallchirurg* 2000; 103(10): 826-33. [In German].
26. Ruch DS, Lumsden BC, Papadonikolakis A. Distal radius fractures: a comparison of tension band wiring versus ulnar outrigger external fixation for the management of distal radioulnar instability. *J Hand Surg Am* 2005; 30(5): 969-77.
27. Kreder HJ, Hanel DP, Agel J, McKee M, Schemitsch EH, Trumble TE, et al. Indirect reduction and percutaneous fixation versus open reduction and internal fixation for displaced intra-articular fractures of the distal radius: a randomised, controlled trial. *J Bone Joint Surg Br* 2005; 87(6): 829-36.

Comparison of Locked Volar Plating and Percutaneous Pinning without External Fixation in the Treatment of Unstable Extra-articular Distal Radius Fractures: A Single-Blind Randomized Controlled Trial

Mohammad Ali Tahririan¹, Seyed Hamid Mousavi¹, Ali Dehghan², Sajad Badiei³, Ali Andalib¹

Original Article

Abstract

Background: Distal radius fracture is one of the most common fractures with different treatment options. This study compared closed reduction and percutaneous pinning with cast immobilization to open reduction and locked volar plating in the treatment of adult patients aged 60 years or younger with isolated, unstable, closed extra-articular, distal radius fractures.

Methods: In a single-blind controlled study, eighty eight patients were randomly divided into two groups; namely, the plating and pinning groups. Primary outcome was the severity of pain in the wrist joint which was measured via visual analog scale (VAS). The wrist range of movement, radiologic parameters, and ability in daily activities were also recorded as secondary outcomes and evaluated 3 and 12 months after the surgery.

Findings: The severity of pain was significantly lower in plating group after 3 ($P = 0.001$) and 12 ($P = 0.040$) months. The range of movements was significantly better in the plating group after 3 ($P = 0.001$) and 12 ($P = 0.001$) months. No significant difference was observed in the ability to perform daily activities between the two groups 3 months after the treatment. Twelve months after the surgery, limitations in daily activities were significantly higher in the pinning group.

Conclusion: Bone fixation, using locked volar plating, can be a better modality with regard to postsurgical pain and also the wrist range of motion than percutaneous pinning with cast immobilization in patients younger than 60 years sustaining unstable, closed extra-articular, distal radius fractures.

Keywords: Fracture fixation, Radius fractures, Surgical procedures

Citation: Tahririan MA, Mousavi SH, Dehghan A, Badiei S, Andalib A. Comparison of Locked Volar Plating and Percutaneous Pinning without External Fixation in the Treatment of Unstable Extra-articular Distal Radius Fractures: A Single-Blind Randomized Controlled Trial. J Isfahan Med Sch 2017; 35(433): 662-70.

1- Assistant Professor, Department of Orthopedic Surgery, School of Medicine, Isfahan University of Medical Sciences, Isfahan, Iran

2- Resident, Department of Orthopedic Surgery, School of Medicine, Isfahan University of Medical Sciences, Isfahan, Iran

3- Student of Medicine, School of Medicine, Student Research Committee, Isfahan University of Medical Sciences, Isfahan, Iran

Corresponding Author: Ali Andalib, Email: ali_andalib@yahoo.com

شناسایی وضعیت مبنای برای مطالعات سونوگرافیک فاشیای توراکولمبار زنان

امیرحسین براتی^۱, صدرالدین شجاع الدین^۲, مهدی کرمی^۳, محمدمحسن پورغribشاهی^۴, مینا حقیقی^۵

مقاله پژوهشی

چکیده

مقدمه: فاشیا، بافت فیبری کلازنی است که قسمتی از سیستم گستردگی انتقال نیروی بدن را شکل می‌دهد. برای شناخت دقیق نقش این عامل غیر انقضایی و سیار گستردگی و تأمین کننده ثبات و غنی از گیرنده‌های عمیق، مطالعات زیادی مورد نیاز است. مطالعاتی که به بررسی فاشیای توراکولمبار موجود زنده پرداخته‌اند، به طور معمول از تکنیک‌های سونوگرافی بهره برده‌اند. با توجه به تنوع وضعیت‌های مورد مطالعه، مطالعه‌ی حاضر با هدف ارایه‌ی وضعیت مبنای برای انجام این مطالعات انجام شد.

روش‌ها: ۵۳ آزمودنی سالم به صورت داوطلبانه با اعلام رضایت کتبی در این مطالعه شرکت داده شدند. سپس، با علامت‌گذاری ۲ سانتی‌متری مهره‌ی L₂-L₃ و در وضعیت‌های دمر، نشسته و چهار دست و پا و در انتهای دم و بازدم در سمت راست و چپ ضخامت فاشیای توراکولمبار با استفاده از روش سونوگرافی ثبت شد.

یافته‌ها: یافته‌های سونوگرافی در دو وضعیت دمر و نشسته نشان داد که ضخامت فاشیا در انتهای دم به طور معنی‌داری بیشتر از انتهای بازدم بود و این رابطه در هر دو طرف راست و چپ برقرار بود، اما در وضعیت چهار دست و پا، این رابطه معکوس شد؛ به گونه‌ای که ضخامت بافت فاشیا در انتهای بازدم، بیشتر از انتهای دم بود. از این رو، عامل تنفس بر ضخامت فاشیا و عامل وضعیت نیز بر تغییرات ضخامت فاشیا تأثیرگذار است.

نتیجه‌گیری: یافته‌ها نشان می‌دهد که رفتار فاشیای توراکولمبار در وضعیت‌های مختلف، متفاوت است. از طرفی تنفس نیز تعیین کننده رفتار فاشیا می‌باشد. از این روا، پیشنهاد می‌شود با اصلاح وضعیت و انجام تمرینات تنفسی، احتمال می‌رود در بلند مدت، تغییراتی در فاشیای توراکولمبار مشاهده گردد. همچنین، در انجام مطالعات سونوگرافیک، به طور حتمی باید به این دو عامل توجه ویژه‌ای شود. این مطالعه، وضعیت نشسته‌ی سمت راست و انتهای بازدم را به عنوان وضعیت مبنای سونوگرافیک Thoracolumbar fascia (TLF) معرفی می‌نماید.

وازگان کلیدی: وضعیت مبنای فاشیای توراکولمبار، اولتراسوند

ارجاع: براتی امیرحسین، شجاع الدین صدرالدین، کرمی مهدی، پورغribشاهی محمدمحسن، حقیقی مینا. شناسایی وضعیت مبنای برای مطالعات سونوگرافیک فاشیای توراکولمبار زنان. مجله دانشکده پزشکی اصفهان ۱۳۹۶؛ ۳۵(۴۳۳): ۶۷۱-۶۷۶

بافت فاشیای توراکولمبار، دارای اعصاب حسی با گیرنده‌های کوچکی است که می‌تواند با تحریکات مکانیکی فعال شود (۳-۵). با وجود کم توجهی محققین به نقش فاشیا در ثبات مفاصل، هماهنگی حرکات و اختلالات اسکلتی- عضلانی (۶-۷) نشان داده شده است که در افراد مبتلا به کمر درد (LBP Low back pain) یا فاشیا دچار افزایش در ضخامت و کاهش تحرک بافت می‌شود (۸)، کاهش فشار در ستون فقرات نیاز به فاشیای توراکولمبار سالم دارد که توسط لوردوزیز کنترل می‌شود. از دست دادن عملکرد فاشیا،

مقدمه

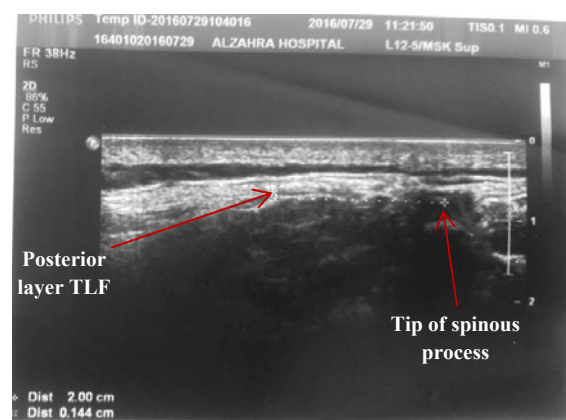
فاشیا، بافت فیبری- کلازنی است که قسمتی از سیستم گستردگی انتقال نیروی بدن را تشکیل می‌دهد (۱). فاشیای توراکولمبار Thoracolumbar fascia (TLF) در ناحیه‌ی خلفی کمر بافت بسیار قابل توجهی است که با داشتن گیرنده‌های عمقی فراوان و آناتومی ویژه در ایجاد ثبات ناحیه‌ی مرکزی بدن نقش قابل توجهی دارد. این ساختار چند لایه‌ای و گستردگی، از آپونوروژی ساخته شده است که تحمل بار قابل توجهی دارد (۲). تحقیقات نشان داده‌اند که

- ۱- دانشیار، گروه آسیب‌شناسی ورزشی، دانشکده تربیت بدنی، دانشگاه شهید بهشتی، تهران، ایران
 - ۲- دانشیار، گروه آسیب‌شناسی و بیومکانیک ورزشی، دانشکده تربیت بدنی، دانشگاه خوارزمی، تهران، ایران
 - ۳- دانشیار، رادیولوژی، دانشکده پزشکی، دانشگاه علوم پزشکی اصفهان، اصفهان، ایران
 - ۴- دانشیار، گروه پزشکی ورزشی، دانشکده توانبخشی، دانشگاه علوم پزشکی تهران، تهران، ایران
 - ۵- دانشجوی دکتری، گروه آسیب‌شناسی و بیومکانیک ورزشی، دانشکده تربیت بدنی، دانشگاه خوارزمی، تهران، ایران
- نویسنده‌ی مسؤول: مهدی کرمی

Email: m_karami@med.mui.ac.ir

سونوگرافی برای اندازه‌گیری ضخامت فاشیا انجام شد. در نهایت، ۵۳ نفر روند مطالعه را تکمیل نمودند.

نحوه انجام سونوگرافی: اندازه‌گیری‌ها با دستگاه Philips EU22 و با پرتاب خطی (Linear probe) ۷–۱۲ Mگاهرتز انجام شد. ابتدا، T₁₂ مشخص و علامت گذاری شد و سپس، L₁-L₃ مشخص شدند و در فاصله‌ی ۲ سانتی‌متری از خط میانی L₂-L₃ یک مربع ۲ سانتی‌متری در دو سمت راست و چپ رسم گردید. از آزمودنی خواسته شد تا هر بار در وضعیت خواسته شده بدون حرکت و با حفظ وضعیت طبیعی ستون فقرات باقی بماند. در وضعیت دمر، دست‌ها کنار بدن و سر به یک سمت چرخانده شده قرار داشت و تا انتهای اندازه‌گیری در همان وضعیت باقی ماند. در وضعیت نشسته، فرد به حالت زانو زده، به طوری که ناحیه‌ی گلوتال روى پاشنه قرار بگیرد، نشسته و رویه‌رو را نگاه می‌کرد. در وضعیت چهار دست و پا، آزمودنی وزن را به طور مساوی روی دست و پاها تقسیم می‌کرد و زاویه‌ی دست‌ها و پاها با تنها ۹۰ درجه بود. هر بار از آزمودنی خواسته شد تا ابتدا بازدم داشته باشد و سپس، یک دم عمیق بکشد و نگه دارد و اندازه‌گیری در انتهای دم انجام شد. سپس، از آزمودنی خواسته شد پس از یک دم به نسبت عمیق، یک بازدم عمیق انجام دهد و اندازه‌گیری در انتهای بازدم انجام شد. پرتاب خطی روی مربع رسم شده ثبیت شد و پس از مشخص شدن بافت هدف، از رأس اسپینوس پراسس فاصله‌ی ۲ سانتی‌متری اندازه زده شد و در آن فاصله، قطر بافت فاشیا در لایه‌ی خلفی فاشیا (Posterior layer of thoracolumbar fascia) در سه وضعیت خوابیده به شکم، نشسته و چهار دست و پا در سمت راست و چپ و در انتهای دم و بازدم اندازه‌گیری انجام شد. پس از یافتن سر اسپینوس پراسس، فاصله‌ی ۲ سانتی‌متری آن مشخص و در آن قسمت ضخامت فاشیا اندازه زده شد (شکل ۱).



شکل ۱. نحوه اندازه‌گیری لایه‌ی خلفی فاشیای توراکولمبار در

سونوگرافی

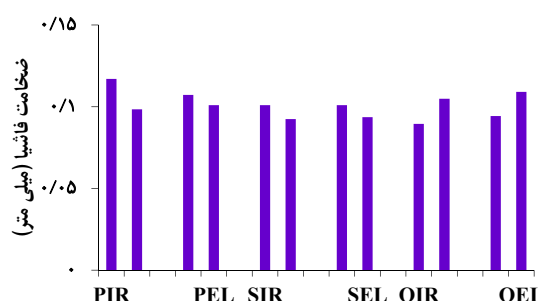
یکپارچگی مکانیکی ستون فقرات را تضعیف خواهد کرد، از دست دادن عملکرد مکانیکی تنه، مفاصل بین مهره‌ای را در معرض خطر آسیب ناشی از فشرده‌سازی و پیچ خورده‌گی قرار می‌دهد (۹). بنابراین، مطالعه‌ی بافت فاشیا از اهمیت بسیار زیادی برخوردار است. از طرفی، بیشتر مطالعاتی که به بررسی ویژگی‌های فاشیا پرداخته‌اند، از نمونه‌های حیوانی یا جسد برهه بردۀ‌اند (۱۰-۱۱، ۱۵). حیوانات مورد استفاده در مطالعات شامل موش، گربه و خوک می‌شوند که همه‌ی آن‌ها در وضعیت چهار دست و پا قرار دارند. با توجه به تفاوت بارز در وضعیت قرارگیری انسان با این حیوانات و الگوی تحمل بار متفاوت، به نظر می‌رسد مطالعه‌ی نمونه‌های انسانی زنده، از اهمیت بیشتری برخوردار است. برای مطالعه‌ی بافت انسانی، روش‌های غیر تهاجمی نظیر سونوگرافی لازم است. سونوگرافی، روشی ارزان، در دسترس، قابل تکرار و قابل اعتماد است که در چند مطالعه نیز از آن استفاده شده است (۸، ۱۲-۱۴)، اما در این مطالعات، آزمودنی در وضعیت دمر و در یک مطالعه در حین فلکشن غیر فعال تنہ بررسی شده‌اند. چنانچه می‌دانیم در وضعیت دمر قوس لمبار تحت اثر جاذبه‌ی زمین افزایش می‌یابد، از این رو، احتمال می‌رود که فاشیا تحت تأثیر قرار گیرد. بیشتر مطالعاتی که به بررسی ناحیه‌ی مرکزی پرداخته‌اند، وضعیت چهار دست و پا را اتخاذ کرده‌اند. در این وضعیت نیز قوس لمبار معکوس می‌شود و وضعیت طبیعی بنابراین، به نظر می‌رسد در وضعیت نشسته، قوس لمبار وضعیت طبیعی خود را دارد و تحت تأثیر جاذبه نیز می‌باشد. از طرفی، با توجه به اتصالات عضلانی فاشیا، تنفس نیز بر ضخامت آن تأثیر احتمالی دارد. با توجه به مطالعات گسترده‌ای که با رویکرد فاشیا انجام می‌شود و در روند درمان و اصلاح وضعیت، مورد توجه زیادی قرار گرفته است، شناسایی رفتار آن از اهمیت قابل توجهی برخوردار است. همچنین، ضروری به نظر می‌رسد تا یک وضعیت به عنوان مبنای انجام مطالعات معرفی شود تا در نتایج هم‌گرایی وجود داشته باشد. از این رو، مطالعه‌ی حاضر با هدف بررسی وضعیت نشسته در نمونه‌ی انسانی علاوه بر دو وضعیت قبلی (دم و بازدم) و در دو سمت چپ و راست نظر گرفتن عامل تنفس (دم و بازدم) و در دو سمت چپ و راست انجام شد. در اینجا سؤال این است که کدام یک از عوامل پیش‌گفته بر ضخامت فاشیا تأثیرگذار استند؟

روش‌ها

داوطلبان مشارکت در مطالعه پس از کسب آگاهی کامل و امضا رضایت‌نامه به تحقیق وارد شدند. قد و وزن آزمودنی‌ها (برای برآورد Body mass index یا BMI) اندازه‌گیری چربی تحت جلدی با فرمول سه نقطه‌ای (ایلیاک کرست، ابدومینال و پشت بازو) و

مطالعه با توجه به تفاوت در تکنیک اندازه‌گیری، در همین دامنه قرار دارند. همچنین، مطالعه‌ی دیگری که با تکنیک سونوگرافی انجام شد، ضخامت میانگین برای لایه‌ی خلفی فاشیا را بین $1/5 \pm 0/4$ تا $1/3 \pm 0/4$ میلی‌متر گزارش کردند (۱۳) که نشان می‌دهد میانگین اندازه‌ی به دست آمده، هم پوشانی کاملی دارد.

چنانچه مشاهده می‌شود، ضخامت فاشیا در وضعیت‌های خوابیده و نشسته در هر دو گروه در انتهای دم بیشتر از بازدم می‌باشد، اما این روند در وضعیت چهار دست و پا، معکوس می‌شود (شکل ۲). چنانچه می‌دانیم، در وضعیت چهار دست و پا، عضلات پاراسپینال در کشیده‌ترین حالت قرار دارند (۱۶). به همین ترتیب، TLF نیز در کشیده‌ترین حالت قرار می‌گیرد. از طرفی، احتمال می‌رود ارتباط فاشیای توراکولمبار با عضله‌ی مربع کمری و عضلات تنفسی، در ضخامت آن تأثیرگذار باشد. Adams و Dolan دریافتند که فاشیا در وضعیت به نسبت صاف کمر، نسبت به کاهش قوس لومبار، قوی‌ترین حالت را دارد و در وضعیت چهار دست و پا، فاشیا صاف‌ترین حالت ممکن را دارد.



شکل ۲. میانگین ضخامت فاشیای توراکولمبار در وضعیت‌های مختلف؛ وضعیت‌ها به این شرح می‌باشد: PIR: دم، دم، راست؛ PER: دم، بازدم، راست؛ PIL: دم، دم، چپ؛ PEL: دم، بازدم، چپ؛ SIR: نشسته، دم، نشسته، دم، راست؛ SER: نشسته، بازدم، راست؛ SIL: نشسته، دم، چپ؛ SEL: نشسته، بازدم، چپ؛ QIR: چهار دست و پا، دم، راست؛ QER: چهار دست و پا، بازدم، راست؛ QIL: چهار دست و پا، دم، چپ؛ QEL: چهار دست و پا، بازدم، چپ

آنالیز آماری: برای بررسی تعامل عوامل مورد مطالعه از آزمون (GLM General linear model) Repeated measures ANOVA با مدل $2 \times 2 \times 3$ استفاده شد. همچنین برای بررسی همبستگی بین عوامل، آزمون Pearson در سطح $P < 0/05$ به کار برده شد.

یافته‌ها

یافته‌های توصیفی دو گروه در جدول ۱ آمده است.

جدول ۱. مشخصات کلی آزمودنی‌ها

عامل مورد اندازه‌گیری	میانگین \pm انحراف معیار
قد (سانتی‌متر)	$161/34 \pm 5/08$
وزن (کیلوگرم)	$69/82 \pm 10/82$
BMI	$26/81 \pm 3/97$
درصد چربی تحت جلدی	$30/97 \pm 3/67$
سن (سال)	$33/25 \pm 4/13$

BMI: Body mass index

آزمون آماری GLM تعامل وضعیت و تنفس را معنی‌دار نشان داد ($P < 0/001$).

میانگین ضخامت فاشیا در وضعیت‌های مختلف در جدول ۲ آمده است.

ضخامت فاشیا در وضعیت نشسته در انتهای دم و سمت راست ارتباط معنی‌داری با BMI داشت. برای کنترل دقیق‌تر درصد چربی تحت جلدی نیز تخمین زده شد که درصد چربی تحت جلدی، با تمام حالت‌هایی که در آن‌ها سونوگرافی انجام شده بود، ارتباط قوی داشته باشد.

بحث

میانگین ضخامت فاشیا در این مطالعه، $1/44 \pm 0/063$ به دست آمد. Schleip و همکاران، در مطالعه‌ای با جدا کردن بافت فاشیا از نمونه‌ی آزمایشگاهی، ضخامت لایه‌ی خلفی TLF را برای افراد زیر ۳۲ سال، $0/128 \pm 0/051$ سانتی‌متر ذکر کردند (۱۵) که یافته‌های این

جدول ۲. میانگین ضخامت فاشیای توراکولمبار (سانتی‌متر)

جهت	نهایی بازدم	نهایی دم	وضعیت قرار گیری
راست	$1/13 \pm 0/032$	$1/146 \pm 0/042$	خوابیده دم
چپ	$1/135 \pm 0/033$	$1/142 \pm 0/037$	خوابیده دم
راست	$1/125 \pm 0/036$	$1/135 \pm 0/040$	نشسته
چپ	$1/130 \pm 0/035$	$1/132 \pm 0/037$	نشسته
راست	$1/132 \pm 0/035$	$1/147 \pm 0/040$	چهار دست و پا
چپ	$1/136 \pm 0/033$	$1/117 \pm 0/033$	چهار دست و پا

به وضعیت کشیده شدهی خود می‌رود و در مقابل در انتهای دم، به وضعیت استراحتی خود باز می‌گردد.

یافته‌ی قابل توجه دیگر، تعامل مثبت بین وضعیت و تنفس است که پیشنهاد می‌شود در مطالعات آتی به طور حتمی این دو عامل در نظر گرفته شود. در وضعیت نشسته و انتهای بازدم در سمت راست، کمترین ضخامت ($1/25$ میلی‌متر) مشاهده گردید. این یافته، پیشنهاد می‌کند که در این وضعیت، بافت بهترین قابلیت کشیده شدن را دارد و برای مطالعات در زمینه‌ی کشش پذیری فاشیا، بهتر است از این وضعیت استفاده شود؛ چرا که در وضعیت چهار دست و پا، انتهای دم و سمت چپ، کمترین ضخامت مشاهده شد، اما چنانچه بحث شد، این وضعیت طبیعی نمی‌باشد و از این رو، داده‌های آن قبل اعتماد نیستند.

از طرفی، بین دو وضعیت نشسته و خوابیده دم، باید در نظر داشت که در وضعیت دم، قوس لمبار افزایش یافته است و همچنین، اعمال نیروی جاذبه نیز طبیعی نمی‌باشد. بنابراین، وضعیت نشسته قابل اعتمادترین وضعیت است. با تعامل مثبت بین وضعیت و تنفس، پیشنهاد می‌شود با تغییر در وضعیت و انجام تمرینات تنفسی، به احتمال زیاد در بلندمدت، تغییراتی در فاشیای توراکولمبار مشاهده گردد. همچنین، لازم است در انجام مطالعات سونوگرافیک، به این دو عامل توجه ویژه‌ای شود.

این مطالعه، پیشنهاد می‌کند که در مطالعات آتی در زمینه‌ی فاشیای توراکولمبار، وضعیت قرارگیری آزمودنی مدنظر قرار گیرد و وضعیت نشسته به عنوان بهترین وضعیت معروفی می‌شود. همچنین، با توجه به تغییرات فاشیا پس از دم و بازدم و تأثیر آن بر کشش پذیری بافت فاشیا، این عامل نیز باید لحاظ شود، اما سمت راست و چپ، تفاوتی را بر رفتار فاشیا اعمال نمی‌کند؛ از این رو، توجه به این عامل ضروری به نظر نمی‌رسد.

تشکر و قدردانی

نویسنده‌گان این مقاله بر خود لازم می‌دانند از بخش رادیولوژی بیمارستان الزهرا (س) اصفهان و جناب آقای دکتر محمدرضا رضایی به سبب همکاری صمیمانه در اجرای این مطالعه، تقدیر و تشکر به عمل آورند.

از طرفی، در این حالت نسبت به وضعیت نشسته، نیروی جاذبه، عمود بر فاشیا است و فرد برای نگهداری وضعیت مربوط نیاز به فعالیت عضلانی دارد (۱۷).

از طرفی، لایه‌ی خلفی فاشیای توراکولمبار در ناحیه‌ی مورد بررسی از روی عضله‌ی ارکتوراسپین عبور می‌کند. در وضعیت چهار دست و پا و با معکوس شدن قوس لمبار، این عضله در کشیدگی عملکردی (Passive insufficiency) قرار می‌گیرد که به احتمال زیاد در این وضعیت، رفتار فاشیا با توجه به عضله‌ی مجاور تغییر می‌کند. کاربرد دیگر این یافته، از این جهت است که احتمال می‌رود نیروهای وارد بر فاشیا در وضعیت چهار دست و پا و خوابیده و نشسته متفاوت است. بنابراین، وضعیت چهار دست و پا، وضعیت قابل اعتمادی نیست و بهتر است برای مطالعات بعدی از انجام مطالعه در این وضعیت صرف نظر گردد. همچنین، پیشنهاد می‌شود در مطالعاتی که بر روی نمونه‌ی حیوانی مانند موش یا خوک کار کرده‌اند، به دلیل این که این حیوانات تمام نیروها را در این وضعیت دریافت می‌کنند (۱۰، ۱)، مورد بازبینی قرار گیرد.

ارتباط معنی دار BMI با ضخامت فاشیا در وضعیت نشسته در انتهای دم و سمت راست و ارتباط قری درصد چربی تحت جلدی با اندازه‌ی ضخامت فاشیا در تمام حالت‌های مورد مطالعه، نشان می‌دهد که برای مطالعات بعدی، به طور حتم باید BMI افراد به عنوان یک عامل تعیین کننده در نظر گرفته شود و وضعیت پیش‌گفته، به عنوان وضعیت مبنا در نظر گرفته شود.

به طور کلی، باید توجه کنیم که هر گاه ضخامت فاشیا کم می‌شود، در واقع طول و گستردگی آن زیاد شده است و بافت، تحت کشش قرار گرفته است. در مقابل، با کاهش طول و گسترش بافت، افزایش در ضخامت فاشیا مشاهده می‌شود (۳). بنابراین، فاشیا وارد مرحله‌ی استراحتی خود می‌شود (۱۸). بر اساس یافته‌های این مطالعه در وضعیت نشسته و خوابیده در انتهای دم، بیشترین ضخامت دیده می‌شود که پیشنهاد می‌کند بافت فاشیا، در حالت استراحت و بدون کشش قرار دارد. در مقابل، در این دو وضعیت پس از بازدم و تخلیه‌ی ریه، فاشیا تحت کشش قرار می‌گیرد، اما در وضعیت چهار دست و پا، معادلات معکوس می‌شود. در واقع، فاشیا در انتهای بازدم،

References

1. Schleip R, Duerselen L, Vleeming A, Naylor IL, Lehmann-Horn F, Zorn A, et al. Strain hardening of fascia: static stretching of dense fibrous connective tissues can induce a temporary stiffness increase accompanied by enhanced matrix hydration. *J Bodyw Mov Ther* 2012; 16(1): 94-100.
2. Willard FH, Vleeming A, Schuenke MD, Danneels L, Schleip R. The thoracolumbar fascia: Anatomy, function and clinical considerations. *J Anat* 2012; 221(6): 507-36.
3. Yahia L, Rhalmi S, Newman N, Isler M. Sensory innervation of human thoracolumbar fascia. An immunohistochemical study. *Acta Orthop Scand* 1992; 63(2): 195-7.

4. Tesarz J, Hoheisel U, Wiedenhofer B, Mense S. Sensory innervation of the thoracolumbar fascia in rats and humans. *Neuroscience* 2011; 194: 302-8.
5. Corey SM, Vizzard MA, Badger GJ, Langevin HM. Sensory innervation of the nonspecialized connective tissues in the low back of the rat. *Cells Tissues Organs* 2011; 194(6): 521-30.
6. Schleip R. Fascial plasticity- a new neurobiological explanation: Part 1. *J Bodyw Mov Ther* 2003; 7(1): 11-9.
7. Findley TW, Schleip R. Fascia research, basic science and implications for conventional and complementary health care. Munich, Germany: Elsevier GmbH, Urban and Fischer; 2007. p. 85-90.
8. Langevin HM, Fox JR, Koptiuch C, Badger GJ, Greenan-Naumann AC, Bouffard NA, et al. Reduced thoracolumbar fascia shear strain in human chronic low back pain. *BMC Musculoskelet Disord* 2011; 12: 203.
9. Gracovetsky S. Is the lumbodorsal fascia necessary? *J Bodyw Mov Ther* 2008; 12(3): 194-7.
10. Bishop JH, Fox JR, Maple R, Loretan C, Badger GJ, Henry SM, et al. Ultrasound evaluation of the combined effects of thoracolumbar fascia injury and movement restriction in a porcine model. *PLoS One* 2016; 11(1): e0147393.
11. Cao DY, Pickar JG. Thoracolumbar fascia does not influence proprioceptive signaling from lumbar paraspinal muscle spindles in the cat. *J Anat* 2009; 215(4): 417-24.
12. Blanquet M, Domingo T, Ortiz JC. Ultrasound study of thoracolumbar fascia and surrounding tissues in chronic low back pain before and after spinal manipulative therapy. *Proceedings of the 7th Interdisciplinary World Congress on Low Back and Pelvic Pain*; 2010 Nov 9-12; Los Angeles, CA.
13. Carslake R. An experimental study to assess the potential of ultrasound to explore the mechanical role of the thoracolumbar fascia in spinal function [Thesis]. London, UK: British School of Osteopathy; 2010. p. 15-20.
14. Langevin HM, Stevens-Tuttle D, Fox JR, Badger GJ, Bouffard NA, Krag MH, et al. Ultrasound evidence of altered lumbar connective tissue structure in human subjects with chronic low back pain. *BMC Musculoskelet Disord* 2009; 10: 151.
15. Schleip R, Klingler W, Lehmann-Horn F. Active contraction of the thoracolumbar fascia - Indications of a new factor in low back pain research with implications for manual therapy. *Proceedings of the 5th interdisciplinary world congress on low back and pelvic pain*; 2014 Nov 10-13; Melbourne, Australia.
16. Gracovetsky S, Farfan HF, Lamy C. The mechanism of the lumbar spine. *Spine (Phila Pa 1976)* 1981; 6(3): 249-62.
17. Adams MA, Dolan P. How to use the spine, pelvis, and legs effectively in lifting A2 - Vleeming, Andry. In: Mooney V, Stoeckart R, Wilson P, editors. *Movement, stability and lumbopelvic pain*. 2th ed. Edinburgh, Scotland: Churchill Livingstone; 2007. p. 167-83.
18. Schleip R, Jager H, Klingler W. What is 'fascia'? A review of different nomenclatures. *J Bodyw Mov Ther* 2012; 16(4): 496-502.

Identifying Base Position for Women's Thoracolumbar Fascia Ultrasound

Amir Hussein Barati¹, Sadr Aldin Shoja'Aldin², Mahdi Karami³,
Mohammad Hussein Pourgharib-Shahi⁴, Mina Haghghi⁵

Original Article

Abstract

Background: The role of noncontractile and wide elements of thoracolumbar fascia is miserable. Studies that examine the thoracolumbar fascia in living beings have often been used ultrasound techniques. Because of the variety of positions, we tried to identify base position to carry out these studies.

Methods: Fifty three volunteers entered the study. Then we did sonography in prone, sitting, and quadruped positions, after inspiration and respiration and at both sides at L₃ level.

Findings: Sonography findings showed that thoracolumbar fascia thickness at the end of inspiration was significantly more than thickness at the end of respiration at prone and sitting positions despite quadruped position at both sides. Therefore, breathing and position factors affected the fascia thickness. Lordosis angle in any of the studied states did not show significant and strong correlation with fascia thickness.

Conclusion: The findings show that thoracolumbar fascia behavior is different in various positions; in addition, breathing determines different fascia behaviors. So, ultrasound studies should have particular attention to these two factors. Besides, we suggest that thoracolumbar fascia may have changes by breathing exercises and posture correction at long time. This study introduces the end of exhalation, sitting position, and right side as base position in thoracolumbar fascia ultrasonic evaluation.

Keywords: Basic position, Thoracolumbar fascia, Ultrasound

Citation: Barati AH, Shoja'Aldin S, Karami M, Pourgharib-Shahi MH, Haghghi M. **Identifying Base Position for Women's Thoracolumbar Fascia Ultrasound.** J Isfahan Med Sch 2017; 35(433): 671-6.

1- Associate Professor, Department of Sport Injury, School of Sport Sciences, Shahid Beheshti University, Tehran, Iran
2- Associate Professor, Department of Sport Injury and Sport Biomechanics, School of Sport Sciences, Kharazmi University, Tehran, Iran

3- Associate Professor, Department of Radiology, School of Medicine, Isfahan University of Medical Sciences, Isfahan, Iran
4- Associate Professor, Department of Sport Medicine, School of Rehabilitation, Tehran University of Medical Sciences, Iran
5- PhD Student, Department of Sport Injury, School of Sport Sciences, Kharazmi University, Tehran, Iran

Corresponding Author: Mahdi Karami, Email: m_karami@med.mui.ac.ir

Editorial Board (In alphabetical order)

1. **Khosrow Adeli** PhD, Professor of Clinical Biochemistry, University of Toronto, Toronto, Canada
2. **Ali Akhavan** MD, Assistant Professor of Radiotherapy, Isfahan University of Medical Sciences, Isfahan, Iran
3. **Mohammadreza Akhlaghi** MD, Associate Professor of Otolaryngology, Isfahan University of Medical Sciences, Isfahan, Iran
4. **Reza Amin** MD, Professor of Pediatrics, Shiraz University of Medical Sciences, Shiraz, Iran
5. **Babak Amra** MD, Professor of Pulmonology, Isfahan University of Medical Sciences, Isfahan, Iran
6. **Saeid Andalib Jortani** MD, Professor of Pathology, Leuis Weil University, USA
7. **Reza Bagherian-Sararoudi** PhD, Associate Professor of Psychiatry, Isfahan University of Medical Sciences, Isfahan, Iran
8. **Majid Barekatain** MD, Professor of Psychiatry, Isfahan University of Medical Sciences, Isfahan, Iran
9. **Ken Bassett** MD, Professor of Dermatology, Dermatology and Leshmaniosis Research Center, Canada
10. **Ahmad Chitsaz** MD, Professor of Neurology, Isfahan University of Medical Sciences, Isfahan, Iran
11. **Afsoon Emami** MD, Associate Professor of Nephrology, Isfahan University of Medical Sciences, Isfahan, Iran
12. **Shahin Emami** Department of Biochemistry, Saint Antoine Hospital, Paris, France
13. **Ebrahim Esfandiary** MD, PhD, Professor of Medical Anatomy, Isfahan University of Medical Sciences, Isfahan, Iran
14. **Faramarz Esmaeilbeigi** MD, Professor of Endocrinology, School of Medicine, California, USA
15. **Ahmad Esmaeilzadeh** PhD, Professor of Nutrition, Tehran University of Medical Sciences, Tehran, Iran
16. **Ziba Farajzadegan** MD, Professor of Community Medicine, Isfahan University of Medical Sciences, Isfahan, Iran
17. **Aziz Gahari** MD, Professor of Dermatology, Dermatology and Leshmaniosis Research Center, Canada
18. **Jafar Golshahi** MD, Associate Professor of Cardiology, Isfahan University of Medical Sciences, Isfahan, Iran
19. **Mostafa Hashemi** MD, Associate Professor of Otolaryngology, Tehran University of Medical Sciences, Tehran, Iran
20. **Saied Morteza Heidari** MD, Professor of Anesthesiology, Isfahan University of Medical Sciences, Isfahan, Iran
21. **Ali Hekmatnia** MD, Professor of Radiology, Isfahan University of Medical Sciences, Isfahan, Iran
22. **Fariba Iraji** MD, Professor of Dermatology, Isfahan University of Medical Sciences, Isfahan, Iran
23. **Roya Kelishadi** MD, Professor of Pediatrics, Isfahan University of Medical Sciences, Isfahan, Iran
24. **Behnaz Khani** MD, Associate Professor of Obstetrics & Gynecology, Isfahan University of Medical Sciences, Isfahan, Iran
25. **Majid Kheirollahi** PhD, Associate Professor of Genetics and Molecular Biology, Isfahan University of Medical Sciences, Isfahan, Iran
26. **Parvin Mahzooni** MD, Professor of Pathology, Isfahan University of Medical Sciences, Isfahan, Iran
27. **Marjan Mansourian** PhD, Assistant Professor of Epidemiology and Biostatistics, Isfahan University of Medical Sciences, Isfahan, Iran
28. **Mohammad Mardani** MD, Professor of Medical Anatomy, Isfahan University of Medical Sciences, Isfahan, Iran
29. **Mehdi Modares** MD, Professor of Ophthalmology, Tehran University of Medical Sciences, Tehran, Iran
30. **Etiye Moghisi** MD, Professor of Endocrinology, Endocrine and Metabolism Research Center, USA
31. **Mohammadreza Nourbakhsh** PhD, Professor of Physiotherapy, Georgia, USA
32. **Farzin Pourfarzad** PhD, Department of Cell Biology and Genetics, Erasmus University MC Rotterdam, The Netherlands
33. **Masoud Pourmoghaddas** MD, Professor of Cardiology, Isfahan University of Medical Sciences, Isfahan, Iran
34. **Maryam Radahmadi** PhD, Assistant Professor of Physiology, Isfahan University of Medical Sciences, Isfahan, Iran
35. **Hassan Razmjoo** MD, Professor of Ophthalmology, Isfahan University of Medical Sciences, Isfahan, Iran
36. **Reza Rouzbahani** MD, Assistant Professor of Community Medicine, Isfahan University of Medical Sciences, Isfahan, Iran
37. **Masih Saboori** MD, Professor of Neurosurgery, Isfahan University of Medical Sciences, Isfahan, Iran
38. **Mohammad Reza Safavi** MD, Associate Professor of Anesthesiology, Isfahan University of Medical Sciences, Isfahan, Iran
39. **Rasoul Salehi** PhD, Assistant Professor of Genetics, Isfahan University of Medical Sciences, Isfahan, Iran
40. **Mansour Sholevar** MD, Professor of Cardiology, Isfahan University of Medical Sciences, Isfahan, Iran
41. **Mohammadreza Sharifi** MD, PhD, Professor of Physiology, Isfahan University of Medical Sciences, Isfahan, Iran
42. **Masoud Soheilian.** MD, Professor of Ophthalmology, Shahid Beheshti University of Medical Sciences, Tehran, Iran



JOURNAL OF ISFAHAN MEDICAL SCHOOL

Vol. 35, No. 433, 1st Week August 2017

Isfahan University of Medical Sciences

Chairman: **Mansour Sholehvar MD** Emerita Editor-in-Chief: **Roya Kelishadi MD**

Editor-in-Chief: **Majid Barekatain MD**

Associate Editor: **Maryam Radahmadi PhD**

Published by:

Isfahan University of Medical Sciences

Email: publications@mui.ac.ir

Office:

P.O. Box 81744-176, Isfahan, I.R. IRAN

Tel/fax: +98 31 37922291

Email: jims@med.mui.ac.ir

Website: <http://jims.mui.ac.ir>

Executive Manager: Ali Moradi, Office Secretary: Golnaz Rajabi

**Copy Edit, Layout Edit, Proof Reading,
Design, Print and Online Support:**

FaRa Publishing House (Farzanegan Radandish)

Email: farapublications@gmail.com

<http://farapub.com>

Tel/fax: +98 31 32224382

Circulation: 500

This journal is indexed in the following international indexers

- Scopus
- Chemical Abstracts
- Islamic World Science Citation Center (ISC)
- Academic Search Complete EBSCO Publishing databases
- WHO/EMRO/Index Medicus
- Google Scholar
- Index Copernicus
- Directory of Open Access Journal (DOAJ)
- Index Academicus
- Scientific Information Database (www.sid.ir)
- www.iranmedex.com

The online version is available in; IUMS website (www.journals.mui.ac.ir/jims), Iran Publications database (www.magiran.com), Scientific Information Database website (www.sid.ir) and in Health Researchers website (www.iranmedex.com).

Copyright: All rights reserved, no part may be reproduced without the prior permission of the publisher.